

### هیأت تحریریه:

پژوهشگاه مواد و انرژی	دکتر علیرضا آقایی
دانشگاه تبریز	دکتر محمد رضوانی
دانشگاه تربیت مدرس	دکتر رسول صراف ماموری
دانشگاه تربیت مدرس	دکتر پروین علیزاده
شرکت ایرانا	دکتر حسین مولایی
دانشگاه علم و صنعت ایران	دکتر علیرضا میرحیبی
دانشگاه علم و صنعت ایران	دکتر رحیم نقی زاده
دانشگاه تهران	دکتر علی محمد هادیان
شرکت لاعاب مشهد	دکتر عباس یوسفی

### گروه مشاوران:

پژوهشگاه مواد و انرژی	دکتر علی اصغر بهنام قادر
فرآورده‌های دیرگلاز مهر آریان فارس	مهندس نادر خلیلی
مهندسه سیروس روشنفکر فلاخ	مهندسه سیروس روشنفکر فلاخ
انجمن تولید کنندگان کاشی و سرامیک کشور	مهندسه محمد روشنفکر فلاخ
مهندسه میر حسام الدین داعی نیاکی	شرکت گل سرخ گستر آمل
انجمن صنفی کارفرمایی صنعت مواد نسوز	مهندسه علی زاویه
انجمن صنفی صنعت شیشه	مهندسه حسین زجاجی
شرکت آرمیتاژ	مهندسه محمود سالاریه
دانشگاه بین الملل امام خمینی	دکتر ارمان صدقی
دانشگاه ایالتی نیوجرسی	دکتر احمد صفری
صنعت سیمان	مهندسه حسین عزیزان
شرکت اشکان پارت آفرین	دکتر مهران غفاری
سازمان زمین شناسی کشور	دکتر عباس فاضلی
دانشگاه امیرکبیر	دکتر کاوهس فلامکی
شرکت چنی زرین ایران	مهندسه عباسی قصاعی
دانشگاه علم و صنعت ایران	مهندسه حسین قصاعی
پژوهشگاه علوم و فناوری رنگ	دکتر ابراهیم قاسمی
دانشگاه شفیلد انگلستان	دکتر کاظم قنبری
دانشگاه بریتیش کلمبیا	دکتر مهرداد کشمیری
شرکت معدنی و صنعتی سوراوجین عقیق	دکتر علیرضا گنجی
شرکت لایران	دکتر حمیدرضا نعمتی
دانشگاه آزاد	دکتر امیر عباس نوربخش



سال دهم، شماره پنجم و هفتم

بهار ۱۳۹۸

ISSN: ۱۷۳۵-۳۳۵۱

«با درجه علمی ترویجی»

صاحب امتیاز: انجمن سرامیک ایران

مدیر مسئول: دکتر مسعود محبی

سردیبیر: دکتر علیرضا سوری

مدیر اجرایی: سعیده علیشاھی

گردآوری مطالب: محبوبه پیریانی

نشانی: تهران، نارمک، دانشگاه علم و صنعت ایران، دانشکده

مهندسی مواد و متالورژی، دفتر انجمن سرامیک ایران

صندوق پستی: تهران، ۱۱۱-۱۶۸۴۵

تلفن: ۷۷۸۹۹۳۹۹

دورنگار: ۷۷۸۹۹۳۹۹

پست الکترونیکی: info@jicers.ir

نشانی سایت اینترنتی: www.jicers.ir

طراحی، گرافیک و صفحه‌آرایی: تمام طرح ۷۷۲۰۹۲۲۸

اصلاح و خلاصه کردن مطالب با نظر مترجمان و نویسندهان انجام

می‌شود. مسئولیت محتوای مقالات به عهده نویسندهان و مترجمان

است. مطالب ارسالی برگردانده نمی‌شود.

## فهرست مطالب:

		تاژه‌ها
۱		خبر انجمن سرامیک ایران
۱		گزارش دوازدهمین کنگره سرامیک ایران
۱		خبر شرکت‌ها و مراکز پژوهشی
۳۱		استفاده از فناوری ایرانی برای ارتقاء پوشش‌های تزئینی کاشی و سرامیک
۳۲		افزایش ظرفیت تولید نانوغشاوهای سرامیکی برای پاسخ به نیاز بازار
۳۳		خط جدید تولید کاشی «سرام نگار» ساوه بهزودی راهاندازی می‌شود ...
۳۳		گلایه برخی صنعتگران یزد از فرایند بازگشت ارز به کشور
۳۴		جبران رشد قیمت کاشی و سرامیک با افزایش نرخ فروش ساختمان
۳۶		اخبار علمی
۳۶		افزایش مقاومت خوردگی قطعات با دستگاه‌های لایه‌نشانی بومی/کاربرد ...
۳۷		تصفیه آب خاکستری با غشاوهای سرامیکی نانوساختار وارد «فهرست بها» شد.
۳۷		اسپری آبگریز کننده کاشی و سرامیک به بازار رسید.
۳۸		صلاحیت تایید شده سرامیک در جایگزینی مفاصل
۳۸		Arthroplasty زانو بدون فلز (مفاصل سرامیکی)
۳۹		سامسونگ galaxy s10+ نوع سرامیکی
۳۹		ماده جدید دو بعدی (2D) با استفاده از نور به سرعت و با اطمینان آب را تصفیه می‌کند.
۴۱		مقالات پژوهشی
۴۱		بررسی تأثیر نانو ذرات $TiO_2$ بر رفتار سینتر فاز مایع $SiC-Al_2O_3-Y_2O_3$
۵۳		مقالات مروری
۵۳		بررسی روش‌های سنتز و خواص نانوذرات $Li_4Ti_5O_{12}$ (LTO)
۶۱		مروری بر پوشش‌های سرامیکی سخت مورد استفاده در اصلاح سطح ایمپلنت‌های فلزی
۶۹		سنتز و اصلاح نانو لوله‌ی $TiO_2$ به عنوان الکترود ابر خازن
۷۶		بررسی ویژگی‌های قالب‌های سرامیکی پرده‌های توریین تک کریستال و پلی کریستال ...
۸۷		معرفی پایان‌نامه‌های تحصیلات تكمیلی
۸۹		لیست اعضای حقوقی انجمن سرامیک ایران
۹۷		تقویم رویدادهای سرامیک

# اخبار انجمن سرامیک ایران

**گزارش دوازدهمین کنگره سرامیک ایران**

**۱۰ و ۱۱ اردیبهشت ۹۸**

**دانشگاه علم و صنعت ایران**

دوازدهمین کنگره سرامیک ایران در تاریخ ۱۰ و ۱۱ اردیبهشت ماه ۱۳۹۸ در دانشگاه علم و صنعت ایران برگزار گردید. مهندس محمد روشنفکر به عنوان دبیر کنگره، دکتر جوادپور به عنوان دبیر علمی، دکتر افتخاری به عنوان دبیر اجرایی و خانم سعیده علیشاھی به عنوان مدیر اجرایی کنگره، با مشاکت و همکاری اعضای هیات مدیره انجمن مسئولیت برگزاری کنگره را بر عهده داشتند.

دوازدهمین کنگره سرامیک به عنوان بزرگترین رویداد در حوزه سرامیک کشور، هر دو سال یک بار با هدف آشنایی بیشتر با دستاوردهای علمی و صنعتی در سال‌های اخیر و همچنین ترسیم فعالیتهای آتی با نگاهی به آینده با حضور استادی، صنعتگران، پژوهشگران و دانشجویان فعال در این حوزه برگزار می‌گردد.

قابل ذکر می‌باشد در این کنگره، از مجموع مقالات دریافتی (بیش از ۱۵۰ مقاله) پس از دو مرحله داوری و بررسی در جلسات کمیته علمی، حدود ۹۰ مقاله مورد پذیرش نهایی قرار گرفتند که ۳۵ مقاله جهت ارائه در بخش پوستر و ۵۵ مقاله در بخش ارائه شفاهی انتخاب گردید. در میان پوسترها ارائه شده، ۴ پوستر به عنوان پوستر برتر برگزیده شد و از ارائه دهندهان آن‌ها در مراسم اختتامیه تقدیر به عمل آمد. همچنین تعداد ۶ مقاله توسط سخنرانان ویژه داخلی و ۴ مقاله در بخش کارگاه‌های آموزشی، توسط استادی ارائه شد.

از جمله محورهای اصلی کنگره می‌توان به موارد زیر اشاره کرد:

- کاشی، چینی، لعاب، رنگدانه و جوهر
- شیشه و شیشه سرامیک
- مواد دیرگذار
- سرامیک‌ها در محیط زیست و انرژی
- سرامیک‌های زیست سازگار و زیست فعال
- سرامیک‌های الکتریکی، نوری و مغناطیسی
- روش‌های نوین تولید پودر و قطعات سرامیکی
- سرامیک‌های سازه‌ای اکسیدی و غیراکسیدی

حامیان کنگره



**حامیان دوازدهمین کنگره سرامیک ایران**



وزارت علوم و تحقیقات  
جمهوری اسلامی ایران



امانه علمی و فناوری  
جمهوری اسلامی ایران



ISC  
Iranian Water Science Council

**حامی اصلی**



امانه اسناد و نوآوری‌های علمی- فناور  
جمهوری اسلامی ایران

**حامیان طلایی**



SACMI

**حامیان ویژه**

**کاشی ایفا**



**حامیان نقره ای**



**حامیان برنزی**



**حامیان مطبوعاتی**



## افتتاحیه

مراسم افتتاحیه در روز سه شنبه ساعت ۸:۳۰ صبح، در سالن امام خمینی دانشگاه علم و صنعت ایران با حضور استادان، پژوهشگران و پیش کسوتان علم و صنعت سرامیک ایران، کارشناسان صنعت و دانشجویان برگزار شد. در این مراسم، پس از تلاوت آیات قرآن کریم و پخش سرود ملی، آقای دکتر نقی زاده، ریاست دانشکده مهندسی مواد دانشگاه علم و صنعت ایران، ضمن خوشآمدگویی به شرکت کنندگان، در رابطه با لزوم ایجاد ارتباط بین صنعت و دانشگاه سخنانی ارائه کردند. سپس آقای مهندس محمد روشنفکر، مدیر کنگره و ریاست انجمن سرامیک، پس از خیر مقدم به حضار، گزارشی اجمالی از روند برگزاری کنگره و فعالیت های انجمن ارائه نمودند. ایشان خاطر نشان کردند هدف از برگزاری این کنگره توجه به صنعت سرامیک، اهمیت به پژوهش و پر کردن جای خالی علم در صنایع با هدف ارتباط صنعت با دانشگاه می باشد.



آقای دکتر نقی زاده ریاست دانشکده مهندسی مواد دانشگاه علم و صنعت ایران



آقای مهندس روشنفکر دبیر کنگره

در ادامه، سخنرانی راهبردی در مورد چالش‌های روبه‌رو در حوزه علم و صنعت سرامیک توسط سخنرانان ویژه از جمله جناب آقای دکتر مارقوسیان، آقای حاج ابراهیم عسگریان، مهندس محمد روشنفکر و مهندس سیروس روشنفکر ارائه گردید. عنوانین سخنرانی‌های سخنرانان ویژه به شرح زیر می‌باشد:

---

دکتر واهاک مارقوسیان	مروری بر گذشته، حال و آینده رشته مهندسی و علم سرامیک ایران
----------------------	--

---

حاج ابراهیم عسگریان	چالش‌های فراروی صنعت ایران
---------------------	----------------------------

---

محمد روشنفکر	بازخوانی صنعت کاشی و سرامیک و نقش این صنعت در توسعه پایدار و رسیدن به اقتصاد نوظهور
--------------	---

---

سیروس روشنفکر	چه باید کرد؟
---------------	--------------

---



در ابتدا جناب آقای دکتر مارقوسیان، بنیان گذار علم سرامیک در ایران، پس از تشکر از عوامل اجرایی کنگره، سخنرانی خود را با موضوع "مروری بر تاریخچه علم و صنعت سرامیک در ایران" آغاز نمودند. ایشان ضمن تاکید بر اهمیت ارتباط صنعت و دانشگاه، به مقایسه شرایط آموزش و پژوهش در رشته سرامیک در دوران قبل و بعد از انقلاب اسلامی پرداختند. طبق سخنان

ایشان در دوران قبل از انقلاب، آموزش و پژوهشی در رشته سرامیک وجود نداشت اما با ایجاد سیاست‌هایی مبنی بر تخصصی شدن رشته‌های فنی و تاسیس رشته سرامیک در دانشگاه علم و صنعت ایران و همچنین تالیف پایان نامه‌ها و مقالات متعدد در این زمینه، مشکلات موجود تا حد زیادی حل شد و در حال حاضر بالغ بر ۲۰ دانشگاه و مراکز آموزشی رشته سرامیک را دارا می‌باشد. همچنین ایشان ضمن اظهار امیدواری در رابطه با کیفیت بالای تولیدات سرامیک در کشور در زمینه‌های کاشی، چینی، شیشه، به مشکلات موجود در صنعت سرامیک نیز اشاره نموده و راه حل رفع این مشکلات را توسعه ملی و ایجاد برنامه‌های راهبردی دانستند که این هدف، با ایجاد تعامل میان صنعت و دانشگاه تا حد زیادی قابل دستیابی می‌باشد.



در ادامه، جناب آقا عسگریان، بیان گذار گروه صنعتی کاوه، با موضوع سخنرانی "چالش‌های فراروی صنعت ایران"، سخنانی در رابطه با وضعیت فعلی صنعت شیشه در ایران و راه حل‌های مناسب جهت مبارزه با چالش‌های پیش رو ارائه نمودند. طبق گفته ایشان، ایران ایران از نظر تولید و صادرات محصولات متنوع شیشه از جمله شیشه‌های فلوت، بطری، شیشه‌های اتمیبل، شیشه‌های مشجری و ... در جایگاه مناسبی قرار داشته و همچنان در حال توسعه می‌باشد. ایشان به نقش نیروهای متخصص و جوان در توسعه صنایع در کشور تاکید ویژه‌ای داشتند.



پس از آقای عسگریان، سخنرانی آقای مهندس محمد روشنفکر، ریاست انجمن صنعتی تولیدکنندگان کاشی و سرامیک کشور و ریاست انجمن سرامیک ایران، با عنوان "بازخوانی صنعت کاشی و سرامیک و نقش این صنعت در توسعه پایدار و رسیدن به اقتصاد نوظهور" انجام شد. ایشان در ایتدا با انجام مقایسه‌های آماری، اطلاعاتی در مورد ۱۰ کشور برتر تولیدکننده کاشی و سرامیک، ۱۰ کشور برتر مصرف کننده کاشی و سرامیک و ۱۰ کشور اول صادرکننده کاشی و سرامیک در جهان ارائه نمودند که در همه این موارد، کشور چین جایگاه اول را داشت در حالی که برای کشور ایران جایگاه قابل قبول مشاهده نمی‌شد که بنا به گفته ایشان، علل اصلی این موضوع، مواردی از قبیل سیاست گذاری‌های غلط، فاصله چشمگیر میان ظرفیت نصب شده و تولید واقعی، افزایش قیمت‌ها و نرخ ارز می‌باشد. ایشان خاطر نشان کردند یکی دیگر از مشکلات جدی که در کشور ما در صنعت کاشی و سرامیک وجود دارد این است که تنها بازار هدف کشور ایران در صنعت کاشی و سرامیک کشور عراق می‌باشد. این امر به معنای عدم وجود توازن و نفوذپذیری در بازارهای مختلف جهانی می‌باشد. لذا لازم است با کشورهای بازار هدف، تعرفه‌های ترجیحی داشته باشیم تا در یک بازار خاص مرکز نباشیم. ایشان ضمن ابراز تاسف در رابطه با عدم وجود سیاست گذاری ملی و عدم هماهنگی بین نهادها معتقد بودند که راه حل این مشکلات، شنیده شدن صدای نهادهای مردم نهاد و انجمن‌های علمی و صنعتی و نزدیک شده صنعت و دانشگاه به یکدیگر می‌باشد. در پایان ایشان اشاره نمودند از جمله چالش‌های موجود در صنایع، مدیریت بهینه کردن انرژی در واحدهای تولیدی و همچنین ساختار زیست محیطی موجود در صنایع می‌باشد. از این رو لازم است بهینه سازی زیرساخت‌های زیست محیطی انجام گیرد. این فاکتورها پیش نیاز توسعه پایدار و رسیدن به اقتصاد نوظهور می‌باشند.



در بخش پایانی مربوط به سخنرانی‌های کلیدی، آقای مهندس سیروس روشنفکر سخنرانی تحت عنوان "چه باید کرد" ارائه نمودند. ایشان سخنان خود را در مورد اهمیت صنعت نسوز در زندگی روزمره آغاز نمودند و سپس در مورد مشکلات موجود در صنعت دیرگداز ایران و راه حل‌های آن‌ها نکاتی مطرح نمودند. بنا به گفته ایشان، عوامل تعیین کننده آینده دیرگداز مواردی از جمله انرژی، مواد اولیه و سیاست‌ها می‌باشند که راهکارهای مورد نظر، تولید مواد اولیه جایگزین و تولید محصولات جدید و تغییر الگوی مصرف (استفاده از مونولیتیک‌ها) می‌باشد. لذا برای انجام این ۳ راهکار، لازم است بین تولیدکننده مواد اولیه، مصرف کننده و تولیدکننده دیرگداز یک تعامل برقرار گردد که این عوامل نیازمند علم و به کارگیری دانش می‌باشند.

افتتاحیه نمایشگاه نیز صبح روز سه شنبه ۱۰ اردیبهشت ماه پس از مراسم افتتاحیه با حضور شرکت کنندگان و مدعوین انجام شد. در نمایشگاه دوازدهمین کنگره سرامیک حدود ۳۰ غرفه متعدد از شرکت‌های فعال در زمینه تولید کاشی و سرامیک، نسوز و مواد دیرگذار، شیشه و شیشه سرامیک و ... حضور داشتند که اسامی آن‌ها به شرح زیر می‌باشد:

انجمن صنفی تولیدکنندگان کاشی و سرامیک کشور	
سیمان سپاهان	کاشی ایفا
کاشی الوند	ساکمی ایران
کیمیا رازی	فرآورده‌های دیرگذار مهر آریان فارس
شیشه قزوین	کاشی کسری
شیشه لیا	سیناکاشی
یافته‌های سرامیکی پیشرفته	تهیه و تولید مواد نسوز کشور
لعاد مشهد	کاشی تکسرام
صنایع الکترونیک شیراز	کاشی نایین
شرکت پژوهشی الکترون	فرآورده‌های نسوز مهرگذار
فصلنامه الماس	کاشی فخار رفسنجان
نشریه سرامیک و ساختمان	پویا همراه سرام
مرکز سرامیک ایران	لیمون چینی آراد
	پژوهشگاه رنگ
	پژوهشگاه مواد و انرژی
	دانشگاه علم و صنعت ایران









در روز سه شنبه بعد از ظهر، ارائه مقالات شفاهی توسط دانشجویان و استادی در حوزه موضوعات کاشی، چینی، لعب، رنگدانه و جوهر، سرامیک در محیط زیست و انرژی، مواد دیرگذار، شیشه و شیشه سرامیک و سرامیک‌های سازه‌ای اکسیدی و غیراکسیدی به صورت همزمان در سالن امام خمینی و سالن‌های جانبی دانشکده علوم پایه دانشگاه علم و صنعت ایران انجام شد.





همچنین مقالات پذیرفته شده در بخش پوستر نیز توسط ارائه دهنده‌گان در مکان‌های تعیین شده جهت ارائه نصب شد.



صبح روز چهارشنبه از ساعت ۰۸:۰۰ ادامه مقالات توسط اساتید و دانشجویان در حوزه‌های سرامیک‌های الکتریکی، نوری و مغناطیسی، سرامیک‌های زیست سازگار و زیست فعال و روش‌های نوین تولید پودر و قطعات سرامیکی در تالار دکتر حسنی و سالن ۱ به صورت شفاهی ارائه شد. در سالن امام خمینی نیز به صورت همزمان، کارگاه‌های آموزشی با حضور اساتید در حال برگزاری بود. عناوین کارگاه‌های آموزشی ارائه شده و اساتید ارائه دهنده به شرح زیر می‌باشد:

بررسی کاربرد و خواص پوشش‌های با ساختار شیشه‌ای و شیشه-سرامیکی در صنایع (گذشته، حال و آینده)	دکتر عباس یوسفی
روش‌های اجرایی و علمی موثر در کاهش هزینه‌ها	مهندس سیروس ارجمند نیا
اصول حاکم بر طراحی لعاب‌های شیشه - سرامیک	دکتر بیژن افتخاری یکتا
نگاهی بر چالش‌های جهانی شدن کاشی سنتی ایرانی	دکتر مهدی قهاری - دکتر امیر مسعود اعرابی







روز چهارشنبه ساعت ۹ تا ۱۰ صبح، داوری مقالات پذیرفته شده به صورت پوستر، توسط تعدادی از اساتید همراه با مطرح کردن سوالاتی از ارائه دهنگان انجام گرفت. پس از آن از شرکت کنندگان در نمایشگاه دوازدهمین کنگره سرامیک ایران، در حضور دبیران کنگره و اعضای هیات مدیره انجمن سرامیک، با اهدا لوح تقدیر بعمل آمد.

















### مراسم اختتامیه

مراسم اختتامیه کنگره، بعد از ظهر روز چهارشنبه ۱۱ اردیبهشت ماه در سالن امام خمینی برگزار شد. در این مراسم، پس از سخنرانی آقای دکتر جوادپور در مورد نحوه ارزیابی مقالات ارائه شده به صورت پوستر، برگزیدگان در بخش پوستر برتر مورد تقدیر قرار گرفتند. اسامی برگزیدگان و عنوانین پوسترها برتر به شرح زیر می‌باشد:

---

**سنتر و مشخصه‌یابی نانو رنگدانه  $\text{Co}_{0.5}\text{Zn}_{0.5}\text{Al}_2\text{O}_4$  به روش ژل پلی اکریل آمید**

بررسی اثر نوع سوخت بر سنتر متابیتانات لیتیوم به روش حورا کاس پور، احمد رضا عباسیان، مهدی شفیعی آفارانی احتراقی محلول

بررسی شرایط فرآیندی مناسب و بهینه برای فلش سینتر با سیاوش محمد علیزاده، سید محمد میرکاظمی، حامد محبی روش شبیه سازی

---

تأثیر انواع میدان الکترومغناطیسی (DC و AC) بر خواص فیزیکی و ریزساختار بدنه‌های زیرکونیابی  $3\text{YSZ}$  تهیه شده به روش فلش زینترینگ





سپس آقای دکتر افتخاری گزارشی از نحوه داوری و تعیین برگزیدگان مسابقه جایزه علمی دکتر مارقوسیان ارائه نمودند.

**جایزه علمی دکتر مارقوسیان**

**هدایت داوری** با ورسی درخواستها و در عذر گرفتن  
دادرک، رله تخصصی، انتقال ملات، ضرب تابو و دیگر  
مورد منتهی موقدهای در روزه، فرد برگزیده را انتخاب و  
برای دریافت جایزه هنری خواهد بود.

**هزینه ارسال دادرک** نا ۲۰ هیلین یار (۱۳۹۷)

در مراسم اختتامیه شکر، به فرد برگزیده لوح تقدیر.  
جایزه ای ارزشی و همدمی از ۵ سال مخصوص  
را ایرانیان سلامیک ایران اهداء خواهد شد.

**هدایت کم موردنیاز**

- نام درخواست
- درجه و مدد
- کم شناسایی و کارت ملی
- کمی دادرک تخصصی و مدل
- ملکه های مرتبط در زمینه سلامیک
- توصیه های ای انتخاب بروزگشته
- دادکنی ای انتخاب بروزگشته
- پذیرفته در انجمن سلامیک ایران

**شاید شرکت در مسابقه**

- دادکنی نا کاریخ ارسال دادرک ۲۵ میل
- دارای بودن دادرک دانشگاهی در رشته سلامیک
- دارای بودن محصولات بروزگشته در حوزه هندسه سلامیک
- داشتن توصیه های متفاوت از طرف ۳ نفر از استادان
- دادکنی ای انتخاب بروزگشته از ارسال دادرک ۳ سال
- تقدیرت در انجمن سلامیک ایران

**جایزه علمی دکتر مارقوسیان** هر دو سال یک بار همزمان با  
برگزاری کنفرانس سلامیک ایران از عین داشت  
آموختهای دانشگاهی داخل کشور به یک نفر بروزگشته  
جوان برگزیده در حوزه سلامیک اعطا می شود. بروزگشته  
جوان در صورت دارای بودن شاید لازم می تواند در این  
مسابقه شرکت نمایند.

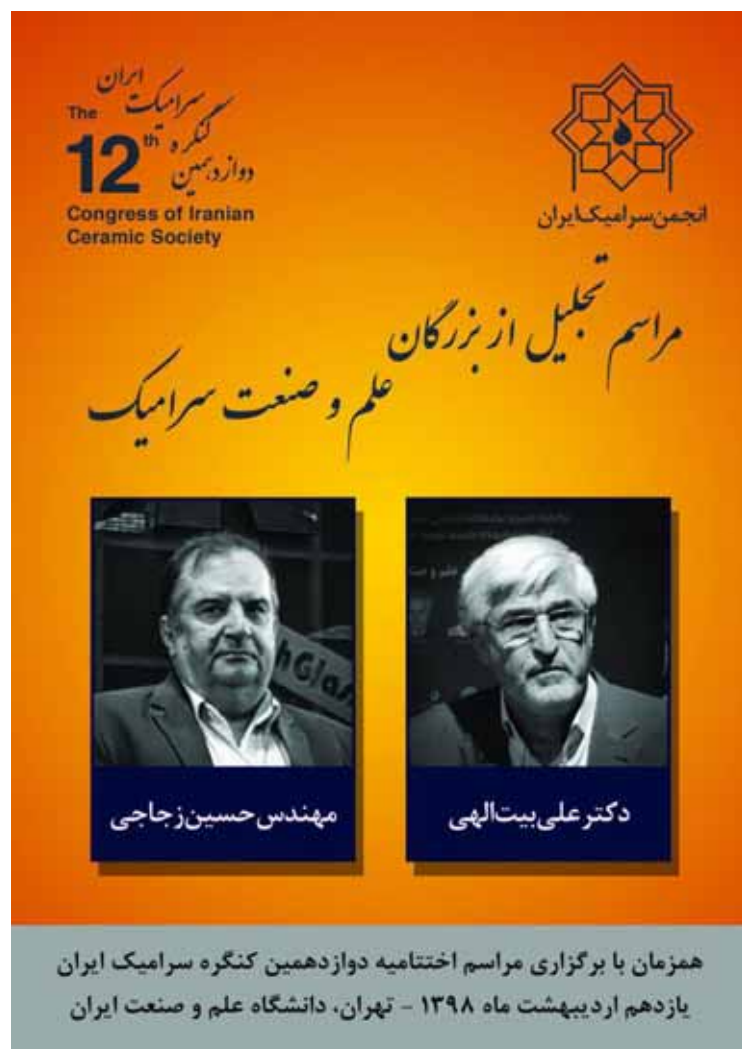
congress2019@ICerS.ir      www.ICerS.ir      021 - 77899399

به علت برابری امتیازات دو نفر از شرکت کنندگان، جایزه مسابقه علمی دکتر مارقوسیان مشترکا به جناب آقای دکتر امید یعقوبی زاده و سرکار خانم دکتر نسیم نایب پاشایی اهدا گردید و از برگزیدگان، با اهدای لوح تقدیر و سکه بهار آزادی تقدیر شد.

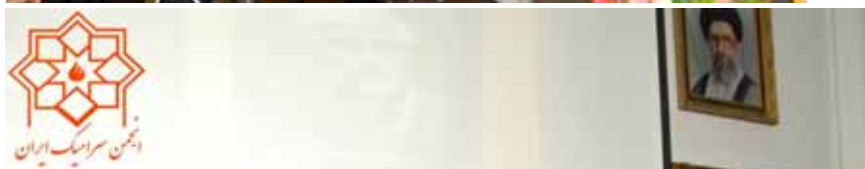




در ادامه از آقای دکتر بیت اللهی و آقای مهندس زجاجی به عنوان چهره‌های شاخص در حوزه علم و صنعت سرامیک (بزرگان سرامیک) تقدیر به عمل آمد.



در این قسمت مختصه از زندگی نامه این بزرگان همراه با کلیپی از تصاویر آن‌ها پخش شد. همچنین آقای دکتر رضایت، همکار آقای دکتر بیت اللهی و همسر آقای مهندس زجاجی خاطرات جالبی از این بزرگان بیان کردند.







در ادامه، کلیپی تهیه شده توسط کادر اجرایی با مروری بر اتفاقات روی داده در دو روز کنگره پخش شد و در پایان، از شرکت‌های حامی برگزاری کنگره و عوامل اجرایی برگزاری دوازدهمین کنگره سرامیک ایران تقدیر به عمل آمد.





### انتخابات انجمن

در انتهای روز چهارشنبه ۱۱ اردیبهشت، پس از اتمام مراسم اختتامیه، دوازدهمین دوره انتخابات هیات مدیره انجمن سرامیک ایران با حضور اعضای حقیقی و حقوقی انجمن و استادی سرامیک برگزار شد. در ابتدا گزارشی از عملکرد انجمن و هیات مدیره دوره ۱۱ توسط خانم علیشاھی (مدیر اجرایی انجمن) ارائه شد و پس از آن معرفی کاندیداها و رای گیری انجام گرفت.





نتیجه دوازدهمین دوره انتخابات هیات مدیره انجمن سرامیک ایران پس از بررسی آرا به صورت زیر می باشد:

**اعضای اصلی هیات مدیره:**

- آقای دکتر جعفر جوادپور (دانشگاه علم و صنعت ایران)
- آقای مهندس حسین زجاجی (انجمن صنفی صنعت شیشه)
- آقای دکتر رحیم نقی زاده (دانشگاه علم و صنعت ایران)
- آقای دکتر مسعود محبی (دانشگاه بین‌المللی امام خمینی قزوین)
- آقای دکتر عباس یوسفی (لاب مشهد)
- آقای دکتر علیرضا آقایی (پژوهشگاه مواد و انرژی)
- آقای دکتر امیر مقصودی پور (پژوهشگاه مواد و انرژی)

**اعضای علی البدل هیات مدیره:**

- آقای دکتر محمد باوند وندچالی (دانشگاه آزاد اسلامی واحد علوم و تحقیقات)
- خانم دکتر مهری مشهدی (دانشگاه مالک اشتر)

**بازرسان اصلی:**

- آقای مهندس رضا محسنی طارمی (شرکت پویا همراه سرام)
- خانم دکتر آدرینه ملک خاچاطوریان (دانشگاه صنعتی شریف)

**بازرس علی البدل:**

- خانم دکتر فاطمه سادات ترک نیک (پژوهشگاه مواد و انرژی)

## اخبار شرکت‌ها و مراکز پژوهشی

### استفاده از فناوری ایرانی برای ارتقاء پوشش‌های تزئینی کاشی و سرامیک



گروه تولیدی آراسرام پس از گذشت یک سال از دریافت گواهی ناممقیاس، با فروش بیش از ۸۰ هزار مترمربع کاشی و سرامیک نانویی، جایگاه خود را در میان مصرف‌کنندگان ثبت کرده و پس از موفقیت در بازار داخل در اندیشه ایجاد دفتر نمایندگی فروش در کشورهای همسایه است. این شرکت از تجهیزات ایرانی برای پوشش‌دهی محصولات خود استفاده می‌کند.

با گذشت بیش از یک سال از شروع فعالیت

گروه تولیدی آراسرام در حوزه فناوری نانو و دریافت گواهی ناممقیاس برای فناوری نانوپوشش‌دهی کاشی و سرامیک، محصولات نانویی این شرکت نه تنها جایگاه خود را در بازار ثبت کرده، بلکه به برخی از کشورهای همسایه نیز صادر شده است. فرهاد غفاری، مدیرعامل گروه تولیدی آراسرام می‌گوید: «در حال حاضر محصولات نانویی آراسرام به صورت مستمر در بازار توزیع شده و روزانه بیش از ۲۰۰ مترمربع کاشی و سرامیک دارای پوشش نانویی در بازار به فروش می‌رسد. بخشی از این محصولات به کشورهای عراق، آذربایجان و افغانستان صادر می‌شود. با توجه به این که اندکی بیش از یک سال است که کار خود را در حوزه نانو آغاز کردۀ‌ایم، همین نتایج امیدوارکننده است و ما برای توسعه بازار برنامه‌هایی داریم».

وی افزود: «با توجه به استقبال بازار به ویژه پذیرش این محصولات در کشورهای همسایه، به دنبال ایجاد دفتر نمایندگی در برخی از کشورهای همسایه هستیم تا فروش محصولات در منطقه به صورت مستقیم از طریق نمایندگی آراسرام انجام شود. در طول یک سال گذشته و پس از دریافت گواهی ناممقیاس، بیش از ۸۰ هزار متر مربع کاشی و سرامیک نانویی توسط گروه تولیدی آراسرام به بازار عرضه شده است که ایجاد دفتر نمایندگی بتواند حجم فروش را در آینده افزایش دهد».

مدیرعامل گروه تولیدی آراسرام درباره فناوری مورداستفاده در محصولات این شرکت می‌گوید: «ما از نانوپوشش حاوی ترکیبات تیتانیوم به عنوان پوشش تزئینی روی کاشی و سرامیک استفاده می‌کنیم که این فناوری توسط گروه تحقیق و توسعه آراسرام به دست آمده است. در این فناوری از دستگاه PVD برای لایه‌نشانی ترکیبات TiN استفاده می‌کنیم که این دستگاه نیز تولید داخل بوده و از شرکت یارنیکان صالح خریداری شده است. در واقع تمام فرآیند تولیدی محصولات نانویی در شرکت آراسرام بومی بوده و در داخل کشور توسعه داده شده است».

مهندسان غفاری درباره انگیزه مشتریان از خرید کاشی و سرامیک دارای نانوپوشش تزئینی می‌گوید: «این محصولات به دلیل بهره‌مندی از فناوری نانوپوشش، از نظر ظاهری بسیار زیبا بوده و همچنین عاری از گردوغبار هستند بنابراین مصرف‌کنندگان نسبت به این محصولات علاقه‌مند می‌شوند. یکی از مشکلاتی که بانوان در منزل با آن دستبه‌گریان هستند، گردگیری کاشی و سرامیک است که در این محصول این چالش به حداقل می‌رسد. علاوه‌بر این، ایجاد پوشش‌هایی به رنگ طلایی و نقره‌ای که از نظر بصری به زیبایی کاشی و سرامیک افزوده، مشتریان را برای خرید این محصولات ترغیب می‌کند».

لازم به ذکر است در حال حاضر فناوری نانو مزیت زیادی در صنعت کاشی و سرامیک ایجاد کرده به طوری که در حال حاضر کاشی و سرامیک آنتی‌باتک‌تیوال نیز توسط تولیدکنندگان به بازار عرضه شده است. این صنعت پتانسیل‌های بالایی برای صادرات

منبع: www.nano.ir

دارد. جمهوری اسلامی ایران با ظرفیت تولید ۷۰۰ میلیون مترمربع، عنوان چهارمین تولیدکننده کاشی و سرامیک جهان را یدک می‌کشد. در سال ۱۳۹۶ ایران بیش از ۱۴۷ میلیون مترمربع کاشی به ارزش ۳۹۵ میلیون دلار به ۵۲ کشور صادر کرده است. ایجاد خواص آنتی باکتریال و پوشش‌های تزئینی نانویی می‌تواند ارزش افزوده‌ی این محصولات را بهبود داده و شرایط بهتری برای فروش در داخل کشور و صادرات فراهم کند.

### افزایش ظرفیت تولید نانوغشاوهای سرامیکی برای پاسخ به نیاز بازار

برای پاسخ به نیاز موجود در کشور در بخش تصفیه پساب، شرکت دانش پژوهان صنعت نانو با جذب سرمایه موفق به افزایش ظرفیت تولید نانوغشاوهای خود شده است.

شرکت دانش پژوهان صنعت نانو، یکی از شرکت‌های فعال در زمینه تولید نانوغشاوهای سرامیکی، موفق به توسعه خط تولید خود شده است. این شرکت پس از موفقیت در پیاده‌سازی اولین سیستم تصفیه پساب در یکی از کارواش‌های شهر تهران، عملکرد سامانه نانوغشاء سرامیکی خود را به صورت عملی به اثبات رساند و پس از آن بود که توجه بسیاری از شرکت‌های را به خود جلب کرد.

علی‌اکبر بابالو، مدیرعامل شرکت دانش پژوهان صنعت نانو درباره فناوری تصفیه پساب می‌گوید: «سال گذشته این سامانه برای کارواش سانترال نو نصب و راهاندازی شد و در حال حاضر بعد از گذشت یکسال این سامانه به خوبی کار می‌کند و این کارواش درخواست افزایش حجم تصفیه پساب را دارد».

بابالو یکی از مشکلات اصلی شرکت دانش پژوهان صنعت نانو را ظرفیت کم تولید نانوغشاوهای سرامیکی می‌داند به طوری که اگر قرار باشد این سامانه در یک روستا برای تصفیه آب نصب و راهاندازی شود، شرکت دانش پژوهان صنعت نانو با ظرفیت فعلی باید دو سال کار کند تا غشاء مورد نیاز برای این روستا را بسازد.

مدیرعامل شرکت دانش پژوهان صنعت نانو می‌گوید: «برای حل مشکل ظرفیت تولید نانوغشاء، اقدام به جذب سرمایه کردیم و در حال حاضر شرکت دانش پژوهان صنعت نانو در حال توسعه خط تولید است. پیش از این ظرفیت ما برای تولید نانوغشاء کمتر از یک متر مربع در روز بود که با توسعه این خط ظرفیت ما در خداداد ماه از یک متر مربع رسیده و تا ۲۲ بهمن به ۱۲ متر مربع خواهد رسید. با این ظرفیت می‌توانیم غشاء مورد نیاز برای تصفیه آب یک روستا را در مدت زمان بسیار کوتاهی تولید کنیم».

بابالو معتقد است که افزایش ظرفیت تولید نانوغشاء، پیش از توسعه بازار ضروری است چرا که با ظرفیت کم امکان پاسخ‌دهی به نیاز بازار وجود ندارد وی می‌افزاید: «بنابراین در عین حال که بازاریابی برای جلب نظر مشتریان را انجام می‌دادیم به فکر توسعه خط تولید نیز بودیم».

در این سامانه، آب خاکستری به صورت هیبریدی با استفاده از غشاوهای نانوساختار سرامیکی چند کاناله تصفیه و گندزدایی می‌شود. جنس غشاوهای به کار رفته در این دستگاه، سرامیکی بوده که اندازه‌ی حفرات این غشاها توسط مهندسان و متخصصان شرکت دانش پژوهان صنعت نانو با استفاده از فناوری نانو مهندسی شده است. این سامانه در دو مرحله‌ی میکروفیلتراسیون و اولترافیلتراسیون، پساب ورودی را تصفیه و آب را برای استفاده‌ی مجدد به سیستم باز می‌گرداند. در مرحله‌ی میکروفیلتراسیون چربی‌ها، شوینده‌ها و دیگر درشت مولکول‌ها و همچنین تا حدود زیادی میکروب‌ها و میکروارگانیسم‌ها و در مرحله‌ی اولترافیلتراسیون تمامی میکروارگانیسم‌ها و حتی لشه‌ی میکروارگانیسم‌ها از آب ورودی حذف می‌شود. محصول نهایی، آب با کیفیتی خواهد بود که دارای استانداردهای داخلی و جهانی است. همچنین فیلترهای این دستگاه را می‌توان با جریان معکوس آب تمیزی که تولید می‌شود، شستشو داد تا بدین ترتیب از گرفتگی غشاها جلوگیری شود؛ به این شکل که آب تمیز با فشار معینی در خلاف جهت جریان، از فیلتر عبور داده شده و باعث باز شدن حفره‌ها می‌شود. در نتیجه عمر غشاوهای مورد استفاده در این دستگاه بسته به نوع پساب مورد استفاده، بین ۵ تا ۱۰ سال است.

منبع: www.nano.ir

## خط جدید تولید کاشی «سرام نگار» ساوه بهزودی راه اندازی می‌شود / افزایش تعداد کارگران شاغل به ۱۴۰ نفر



به گزارش ایننا، امیر رضا زارع (مدیرعامل کارخانه سرام نگار) گفت: کارخانه «سرام نگار» ساوه پس از حدود دو سال (از سال ۹۵) تعطیلی و وقفه در فعالیت تولیدی، با سرمایه‌گذاری بخش خصوص دوباره با حدود ۱۰۰ کارگر فعال شده است.

به گفته وی، «طرح توسعه کارخانه از سال ۹۷ کلید زده شد، با سرمایه‌گذاری ۱۰ میلیارد تومانی دستگاه‌های جدید خریداری شده، خط دوم تولید بهزودی راه می‌افتد، ۴۰ کارگر دیگر به جمع ما اضافه می‌شود و ظرفیت

تولید از ۱۵۰ هزار متر به ۳۰۰ هزار متر در هرماه می‌رسد».

زارع افزود: در حال حاضر ۸۵ درصد تولیدات این کارخانه به ارزش ۱۵ میلیون دلار به عراق، افغانستان، ارمنستان، ترکمنستان، گرجستان و چند کشور دیگر صادر می‌شود.

وی اضافه کرد: در حالی که خاک صنعتی بیش از ۹۵ درصد کارخانه‌های کاشی و سرامیک کشور به روش گران‌تر تولید می‌شود در این کارخانه با بهره‌گیری از روش خشک مصرف آب به صفر رسیده است.

منبع: <https://www.ilna.ir/>

## کلایه برخی صنعتگران یزد از فرآیند بازگشت ارز به کشور

نماینده واحدهای تولید کاشی و سرامیک شهرستان ابرکوه در جمع مسئولان استان یزد رفع مشکلات مربوط به فرآیند بازگشت



ارز و فشارهای بانک مرکزی و همچنین مسائل مربوط به حوزه واردات مواد اولیه به عنوان عده مشکل این بخش خواستار شد. به گزارش ایستا، صنعت یکی از محورهای توسعه بسیاری از شهرستان‌های استان یزد است و در این میان صنایع کاشی و سرامیک از پتانسیل بالایی در میان دیگر صنایع برخوردار است به طوری که بنا به گفته‌ی رئیس سازمان صنعت، معدن و تجارت

استان، یزد نهمین تولیدکننده کاشی و سرامیک در دنیا محسوب می‌شود.

«محمد رضا علمدار یزدی» در نشستی که به منظور بررسی مشکلات و راهکارهای رونق بخشیدن به صنایع کاشی و سرامیک شهرستان ابرکوه در حضور مسئولان استان و شهرستان برگزار شد، استان یزد را نهمین تولیدکننده کاشی و سرامیک در دنیا خواند و بیان کرد: ظرفیت تولید سالانه این محصول در استان ۳۲۳ میلیون مترمربع است.

وی به وجود ۹۱۱ واحد صنایع معدنی در استان اشاره می‌کند و می‌گوید: «مجموعه صنایع معدنی منجر به اشتغال ۳۷ هزار نفر در استان شده است که ۱۷ هزار نفر از آن‌ها در بخش تولید کاشی و سرامیک فعالیت دارند.

علمدار یزدی همچنین تصریح می‌کند: هم‌اکنون ۵۰ طرح نیمه تمام کاشی و سرامیک با پیشرفت فیزیکی بالای ۵۵ درصد در

استان وجود دارد که در صورت بهره‌برداری ۲۰۰ میلیون مترمربع به ظرفیت فوق الذکر افزوده شده و ۱۲ هزار فرصت شغلی جدید نیز ایجاد خواهد شد.

شهرستان ابرکوه یکی از شهرستان‌هایی است که رونق صنایع کاشی و سرامیک را در دستور کار توسعه صنعتی خود قرار داد و اکنون در این حوزه دارای سه واحد تولیدی دارای پروانه بهره‌برداری به نام‌های آرین، کوثر و سیمین است.

البته در مورد این سه واحد نیز باید یادآور شد که هر کدام این واحدها با مشکلات متعددی مواجه هستند و از عمده‌ترین آن شامل فرآیند بازگشت ارز و فشارهای بانک مرکزی و همچنین مسائل مربوط به حوزه واردات مواد اولیه است.

در حال حاضر کاشی سیمین با ظرفیت تولید چهار میلیون مترمربع در سال برای ۱۳۸ نفر فرصت شغلی ایجاد کرده است، واحد تولیدی آرین سرام نیز با ظرفیت اسمی سالانه هشت میلیون مترمربع که تعداد ۴۰۰ نیروی کاری را به خدمت گرفته که در صورت راهاندازی خطوط چهارم و پنجم آن فرصت‌های شغلی این واحد به ۵۰۰ نفر نیز افزایش خواهد یافت ولی در این رابطه درگیر مشکلات مربوط به واگذاری زمین است.

کاشی کوثر هم ظرفیت تولید ۵/۵ میلیون مترمربع دارد و برای ۱۷۱ نفر شغل ایجاد کرده است اما با مشکلاتی همچون کمبود ماشین‌آلات واحد خاکسازی، مسائل مربوط به واحد گرانول سازی و چاپ دیجیتال مواجه است.

«حسین اسلامی» نماینده واحدهای تولید کاشی و سرامیک ابرکوه پیرامون مشکلات این واحدها اظهار می‌کند: یکی از مشکلات اساسی این واحدها مربوط به بانک مرکزی است که وضعیت برخی از واحدهایی که از ارز بند «د» استفاده کرده‌اند را در هاله‌ای از ابهام قرار داده است.

وی با بیان این که دو واحد آرین و کوثر در شهرستان ابرکوه از ارز مذکور بهره گرفته‌اند، می‌افزاید: با وجود این که مجلس شورای اسلامی، استفاده از ارز بند «د» را تصویب کرده اما بانک مرکزی آن را اجرایی نکرده و هیچ پاسخ شفافی هم در این رابطه ارائه نمی‌دهد.

اسلامی به مسئله تعهدات ارزی نیز اشاره و بیان می‌کند: فرآیند بازگشت ارز در شرایط فعلی کشور کاملاً مبهم است به نحوی که برای ورود قطعه‌ای کوچک از خارج کشور علاوه بر تحریم‌های خارجی با تحریم‌های داخلی نیز مواجه می‌شویم و با سیاست‌های فعلی بانک مرکزی ۹۰ درصد سیستم این واحدها عملأً قفل شده است.

وی ادامه می‌دهد: معادل محصولات صادراتی باید ارز به کشور بازگردانده شود اما این فرآیند بازگشت به صورت شفاف بیان نشده و واحدها را دچار مشکل کرده است چرا که واحدهای تولیدی برای ادامه حیات نیاز به واردات مواد اولیه دارند و این در حالی است که بانک مرکزی واردات مواد اولیه را با قفل کردن سامانه غیرممکن کرده است.

اسلامی با تأکید بر بومی‌سازی صنعت تولید کاشی و سرامیک در یزده عنوان می‌کند: باید از ظرفیت تولید و صادرات برای توسعه اقتصاد کشور و همچنین اشتغال مردم به خوبی بهره جست و این امر نیازمند فراهم کردن زیرساخت‌های موردنیاز و همچنین رفع مشکلات در این دو حوزه است.

البته «سید مسعود عظیمی» سرپرست معاونت هماهنگی امور اقتصادی و توسعه منابع استانداری یزد هم در این نشست نیاز ارزی کارخانه کاشی کوثر را هفت میلیون یورو و مقداری اعتبارات ریالی عنوان و ابراز امیدواری می‌کند: با توجه به قرار داشتن در سال رونق تولید و تلاش برای محقق کردن این شعار، مشکلات این واحد تولیدی با تلاش مسئولان استان و شهرستان برطرف شود.

منبع: <https://www.isna.ir/news/9>

## جبان رشد قیمت کاشی و سرامیک با افزایش نرخ فروش ساختمان

رئیس اتحادیه کاشی‌ساز و کاشی‌فروش با بیان این که بازار داخلی از طریق تولیدات داخلی تأمین است و حجم قابل توجهی از محصولات داخلی به بازارهای هدف صادر می‌شود، گفت: با رفع برخی از مشکلات سامانه نیما، تا حدودی موانع تأمین مواد اولیه تولید برطرف شده است.

مصطفی گودرزی در گفت‌وگو با ایسنا، اظهار کرد: از سال گذشته شرایط تأمین مواد اولیه تولید کاشی و سرامیک با مشکلاتی همراه شد که این مشکلات تا حدودی حل شده اما همچنان سختی‌هایی در مسیر خرید و تأمین مواد اولیه پیش روی تولیدکنندگان است.

رئیس اتحادیه کاشی‌ساز و کاشی‌فروش تصریح کرد: کاهش مشکلات تأمین مواد اولیه و حل برخی مشکلات، به‌واسطه ثبات نرخ ارز و امکان ثبت سفارش در سامانه نیماست.



وی خاطرنشان کرد: در تأمین مواد اولیه، به بازار داخلی نیز رجوع می‌شود اما تولید لعاب و رنگ در داخل نیاز به خرید و تأمین ماده اولیه وارداتی دارد که در این زمینه باید به بازارهای دیگر رجوع شود. گودرزی عمدۀ بازارهای مبدأ خرید و تأمین مواد اولیه تولید کاشی و سرامیک را ترکیب، اسپانیا و هندوستان بیان کرد و گفت: محصولات تولیدی به کشورهایی همچون کشورهای همسایه و آسیای میانه صادر می‌شود که حجم قابل توجهی از تولید در مسیر صادرات مورد استفاده قرار می‌گیرد.

رئیس اتحادیه کاشی‌ساز و کاشی‌فروش تأکید کرد: در تأمین نیاز بازار داخلی هیچ کمبودی وجود ندارد و نیازی به واردات قابل توجه در این زمینه نیست و تنها برخی از محصولات خاص که در داخل کشور توان تولید آن‌ها وجود ندارد، باید از طریق واردات تأمین شود.

وی یادآور شد: در تأمین محصولات سفارشی و خاص خرید عموماً از کشورهای چین، ترکیه، ایتالیا و اسپانیا انجام می‌شود. گودرزی در پاسخ به این سوال که آیا افزایش قیمت مواد اولیه در خرید مصرف‌کننده داخلی تأثیرگذار بوده است؟ گفت: به دلیل رشد قیمت مسکن، رشد قیمت محصولاتی همچون کاشی و سرامیک که در ساختمان استفاده می‌شود، طبیعی بوده و هزینه خرید این محصولات در دل هزینه‌های ساختمان و فروش آن پوشش داده می‌شود.

منبع: <https://www.isna.ir/news/98040402254>

## اخبار علمی

### افزایش مقاومت خوردگی قطعات با دستگاههای لایه‌نشانی بومی / کاربرد آزمایشگاهی در دانشگاه‌های کشور

محققان یکی از شرکت‌های دانش‌بنیان با دستیابی به دانش فنی تولید دستگاه لایه‌نشانی توانسته‌اند لایه‌هایی با مقاومت خوردگی و سایش بالا بر روی قطعات ایجاد کنند و با توجه به این قابلیت این دستگاه‌ها در کارخانجات تولیدی کاربردی شده؛ از این رو کاربرد این دستگاه وارد فاز صنعتی شده است.

بابک رشیدی از محققان این طرح در گفت‌و‌گو با ایسنا، با بیان اینکه این شرکت دانش‌بنیان فعالیت خود را در زمینه طراحی و ساخت دستگاه‌های پوشش‌دهی در خلاً از سال ۱۳۸۴ آغاز کرد، گفت: این دستگاه‌ها در مقیاس‌های صنعتی و آزمایشگاهی طراحی و ساخته شده‌اند. دستگاه‌های آزمایشگاهی دارای محفظه‌های کوچکی هستند و برای لایه‌نشانی قطعات آزمایشگاهی و پژوهشگاهی کاربرد دارند.

رشیدی اضافه کرد: با افزایش تجربیات به سمت طراحی دستگاه‌های بزرگ‌تر لایه‌نشانی رفته‌یم و در حال حاضر دستگاه‌های صنعتی لایه‌نشانی این شرکت به عنوان یکی از تجهیزات اصلی کارخانجاتی چون تولید کاشی و سرامیک، شیرآلات، ظرف چینی و صنعت یراق‌آلات مطرح است.

وی با بیان اینکه این دستگاه می‌تواند بر روی سطوح مختلف فلزی، بلور و کاشی لایه‌هایی با رنگ‌های طلایی، نقره‌ای و ۷ رنگ، دودی و سایر رنگ‌ها ایجاد کند، اظهار کرد: لایه‌های ایجادشده از مقاومت به سایش و خوردگی بالایی برخوردار است. رشیدی در خصوص اعمال انواع رنگ‌های مختلف بر روی سطوح توضیح داد: همانطور که در روش آبکاری سنتی از فلزاتی مانند نیکل و کروم استفاده می‌شود، در این روش نیز برخی استفاده‌ها از برخی فلزات تعریف شده است. به عنوان مثال زمانی که فلز تیتانیوم در داخل دستگاه به عنوان ماده اولیه قرار می‌گیرد، در ترکیب با گازهای متنوع، ترکیب رنگ‌های مختلفی ایجاد می‌کند، به گونه‌ای که اگر گاز "آرگون" وارد سیستم شود، در ترکیب با تیتانیوم رنگ تیتانیوم را ایجاد می‌کند؛ از این رو محصول نهایی نقره‌ای خواهد شد.

وی با بیان اینکه گازهای مختلف در ترکیب با تیتانیوم، ترکیب رنگ‌های متنوعی می‌دهند، افزود: در ترکیب گاز نیتروژن با تیتانیوم، رنگ نقره‌ای به رنگ طلایی تبدیل می‌شود.

این محقق با تأکید بر اینکه هزینه‌های لایه‌نشانی با استفاده از این دستگاه نسبت به روش‌های آبکاری سنتی کمتر است، ضمن آنکه ماندگاری بالاتری دارد، ادامه داد: روش لایه‌نشانی با استفاده از این دستگاه جزو روش‌های پاک و سبز به شمار می‌رود؛ چراکه در روش‌های سنتی آبکاری، معمولاً همراه با پساب‌هایی است که موجب آلودگی‌های زیست محیطی می‌شود. از آنجایی که فرآیندهای لایه‌نشانی در این دستگاه در محیط‌های خلاً است، هیچ مایع و یا اسیدی در فرآیندها استفاده نمی‌شود؛ از این رو روش مورد استفاده پاک و جایگزین مناسبی برای روش‌های سنتی است.

رشیدی به روش لایه‌نشانی مورد استفاده در این دستگاه اشاره کرد و افزود: از آنجایی که فرآیند لایه‌نشانی در دستگاه‌های ساخته شده در محیط خلاً انجام می‌شود، مولکول‌های رنگی از فاز جامد به فاز گاز، تبدیل و در فضای منظر می‌شوند و زمانی که قطعات از مقابل این ذرات عبور می‌کنند، میان این ذرات و قطعات به دلیل وجود محیط خلاً، چسبندگی ایجاد می‌شود.

به گفته وی، در این فرآیند از آنجایی که قطب مثبت و منفی ایجاد می‌شود، ذرات جامدی که به گاز تبدیل شده‌اند، با شتاب بیشتری به سطح قطعه می‌نشینند و چسبندگی بهتری پیدا می‌کند.

محقق این طرح، نبود آلودگی و پساب را از مزیت‌های این روش دانست و ادامه داد: در حال حاضر کارخانجات مختلفی چون تولید شیرآلات، کاشی، ظروف آشپزخانه از این دستگاه‌ها خریداری کرده‌اند و محصولات این کارخانجات با روش لایه‌نشانی ما به بازار عرضه شده است، ضمن آنکه با کاربردی شدن این دستگاه در کارخانجات تولیدی، این محصول وارد فاز صنعتی شده است. رشیدی همچنین با اشاره به کاربردهای آزمایشگاهی دستگاه‌های لایه‌نشانی تولید شده، خاطر نشان کرد: تاکنون دانشگاه‌هایی

چون تهران، شریف، امیرکبیر، خواجه نصیر، الزهرا، اصفهان و مالک اشتر، سایزهای آزمایشگاهی و پژوهشی این دستگاه را از ما خریداری کردند.

منبع: <https://www.isna.ir/news/98031306134>

### تصفیه آب خاکستری با غشاها سرامیکی نانوساختار وارد «فهرست بها» شد.

دستگاه تصفیه آب خاکستری با استفاده از غشاها سرامیکی نانوساختار وارد فهرست بها شد. شرکت دانشپژوهان صنعتنانو تولید کننده این سامانه تصفیه پساب است. پیش از این از محصولات این شرکت در کارواش استفاده شده است.

فهرست بهای، کتابچهای حاوی لیست قیمت مواد و مصالح یا خدماتی است که پیمانکاران عمرانی از آن‌ها برای پروژه‌های داخل کشور استفاده می‌کنند. هر ساله سازمان مدیریت و برنامه فهرستی از بهای رشته‌های مختلف پروژه‌های عمرانی را منتشر می‌کند. یکی از بخش‌های این فهرست به موضوع تاسیسات مکانیکی اختصاص داده شده که سامانه‌های تصفیه پساب از جمله زیرشاخه‌های آن محسوب می‌شوند. در لیست جدیدی که سازمان مدیریت و برنامه برای سال ۹۸ منتشر کرده، دستگاه تصفیه آب خاکستری با استفاده از غشاها سرامیکی نانوساختار نیز درج شده است.

آب خاکستری به پساب‌های خانگی، به استثنای خروجی فاضلاب سرویس‌های بهداشتی، گفته می‌شود که هنگام حمام کردن، ظرف شستن یا رخت‌شویی ایجاد می‌شود. شرکت دانشپژوهان صنعتنانو، این فناوری تصفیه آب خاکستری را ارائه کرده است که می‌توان با استفاده از آن، آب‌های خاکستری را دوباره به چرخه مصرف باز گرداند. این سامانه‌ی مبتنی بر میکروفیلتراسیون و اولترافیلتراسیون می‌تواند با تصفیه‌ی آب‌های خاکستری، ۷۰ درصد از آب مصرفی را بازیافت کند. در این سامانه، آب خاکستری به صورت هیبریدی با استفاده از غشاها نانوساختار سرامیکی چند کاناله تصفیه و گندздایی می‌شود. جنس غشاها به کار رفته در این دستگاه، سرامیکی بوده که اندازه‌ی حفرات این غشاها توسط مهندسان و متخصصان شرکت دانشپژوهان صنعتنانو با استفاده از فناوری نانو مهندسی شده است. این سامانه در دو مرحله‌ی میکروفیلتراسیون و اولترافیلتراسیون، پساب ورودی را تصفیه و آب را برای استفاده‌ی مجدد به سیستم باز می‌گرداند. در مرحله‌ی میکروفیلتراسیون چربی‌ها، شوینده‌ها و دیگر درشت مولکول‌ها و همچنین تا حدود زیادی میکروب‌ها و میکروارگانیسم‌ها و در مرحله‌ی اولترافیلتراسیون تمامی میکروارگانیسم‌ها و حتی لاشه‌ی میکروارگانیسم‌ها از آب ورودی حذف می‌شود. محصول نهایی، آب با کیفیتی خواهد بود که دارای استانداردهای داخلی و جهانی است.

محصولات تصفیه‌ی پساب خاکستری که با استفاده از فناوری غشای سرامیکی نانوساختار تولید شده باشد، لازم است گواهینامه نانو مقیاس را از ستاد نانوی معاونت علمی فناوری ریاست جمهوری دریافت کرده باشد.

منبع: [www.nano.ir](http://www.nano.ir)

### اسپری آبگریز کننده کاشی و سرامیک به بازار رسید.

محققان موادی را با فناوری نانو تولید کردند که می‌تواند پوشش آبگریزی را روی سطوح کاشی و سرامیک اعمال کند.

به گزارش خبرنگار مهر، بررسی محصولات نانو و ارائه تاییدیه نانو مقیاس به آنها از جمله فعالیت‌های مهم ستاد توسعه فناوری نانو از ۴ سال گذشته بوده است. در واقع بررسی مواد و محصولات تولید و عرضه شده در حوزه فناوری نانو، سبب شفاقتی بازار محصولات نانو شده و به ارتقای کیفی این محصولات و افزایش اعتماد مصرف کنندگان کمک می‌کند.



یکی از این محصولات که توسط یک شرکت دانش بنیان به تولید رسیده، نانوکلوفید ایجادکننده پوشش آبگریز روی سطوح کاشی و سرامیک است.

از آنجایی که جذب آب توسط انواع مصالح ساختمانی می‌تواند معایب بسیاری در پی داشته باشد این محصول تولید شده است. با توجه به نوع و کاربرد ماده مورد نظر، کاهش خواص مکانیکی و عملکردی و تأثیر بر ظاهر مصالح و سازه از جمله این عیوب بشمار می‌رود.

ایجاد پوشش‌های ضد آب روی انواع مصالح ساختمانی از تجمع بیش از حد آب روی سطح آن‌ها کاسته و اثرات مطلوبی در زیبایی و کارآیی آن‌ها خواهد داشت. این اثرات در مورد سطوح کاشی و سرامیک نیز بروز کرده و از ایجاد لکه ناشی از خشک شدن قطرات آب جلوگیری می‌کند.

اخيراً ارائه محصولاتی بر پایه فناوری نانو در این حوزه گسترش قابل توجهی یافته است. این محصول اکنون در بازار موجود بوده و تاییدیه نانو مقیاس از ستاد توسعه فناوری نانو دریافت کرده است.

منبع: [mehrnews.com/news/4651876](http://mehrnews.com/news/4651876)

### صلاحیت تایید شده سرامیک در جایگزینی مفاصل

شرکت‌های تولید کننده مفصل‌های سرامیکی از جمله BILOX توانسته با ارایه دانش تخصصی در زمینه توسعه و تولید، همراه با مدیریت کیفیت بی‌نظیر، ایمپلنت‌های

پیشرفته سرامیکی را بطور موفقیت آمیز، در زمینه‌های بالینی فعال کند و متخصصان پزشکی در سراسر جهان را پشتیبانی کند.



تکنولوژی پیشرفته سرامیک، برای جایگزینی مفصل مصنوعی ران، بیشتر و محبوب‌تر می‌شود. بخش تولیدات

پزشکی مهمترین تولید کننده در زمینه بیوسرامیک‌ها برای جایگزینی مفصل در عمل جراحی لگن (Hip Arthroplasty) است. این بخش همچنین اجزای سرامیکی برای سیستم‌های مدولار را به اکثریت سازندگان ارتوپدی در سراسر جهان ارائه می‌دهد. به عنوان یک رهبر بازار جهانی، Ceram Tcc با توجه به فناوری نوآورانه مواد سرامیک خود، استاندارها را برای بیش از چهار دهه تعیین کرده است.

تا کنون هیچ ماده سازندگان دیگری بجز سرامیک‌ها به عنوان اغلب برای زوج‌های سرامیکی BIOLOX استفاده نمی‌شود. بیش از ۱۵ میلیون محصول تنها از یکی از شرکت‌های تولید کننده مفصل‌های سرامیکی یعنی BIOLOX از سال ۱۹۷۴ تا کنون فروخته شده است. حدود ۶۰ درصد از همه بیماران در اروپای مرکزی که تحت عمل جراحی قرار دارند، ایمپلنت‌های سرامیکی را دریافت می‌کنند. تمام تولید کنندگان ارتوپدی در جهان، سیستم‌های جایگزین مفصل ران را با اجزای سرامیکی BIOLOX تایید می‌کنند. همکاری نزدیک شرکت‌های مهندسی بیوسرامیک با تولید کنندگان ارتوپدی، دانشمندان مواد و جراحان تضمین اساسی این موفقیت است.

منبع: [t.me/IrCcC](http://t.me/IrCcC)

### زانو بدون فلز (مفاصل سرامیکی)

تعداد عملیات جایگزینی مفصل زانوی سرامیکی هر ساله به طور پیوسته افزایش می‌یابد. کارشناسان برآورد می‌کنند که حدود ۲۰۰۰۰۰ جایگزین زانو هر ساله کاشته می‌شود. در نتیجه، جایگزینی زانو اغلب جایگزینی مفصلی است، حتی در مواردی که جراحی جایگزین با مفصل ران بیشتر باشد.

امید به زندگی جمعیت جهان در حال حاضر بالاتر از همیشه است: به همین ترتیب، درخواست برای تحریک بیشتر و بهبود



کیفیت زندگی پس از جایگزینی زانو نیز افزایش یافته است. موضوع جایگزینی زانو در بیماران جوان و فعال نیز افزایش می‌یابد و در نتیجه جایگزینی زانو باید بتواند طول عمر طولانی ایمپنت را افزایش دهد.

علاوه بر این، عفونت، سایش پلی اتیلن، سوزش اپیلاسیون و آرژی به فلز، یکی

از بزرگترین مشکلات آرتروسکوپی زانو هستند. سستی آسپتیک مکانیسم غالب شکست و تجدید نظر (۳۱/۲٪) پس از آن بی‌ثباتی (۱۸/۷٪)، عفونت (۱۶/۲٪)، پوشش پلی اتیلن (۱۰/۰٪)، آرتروفیروس (۶/۹٪) و مالاریاسیون (۶/۶٪) است. به همین دلیل است که انتخاب ماده ایمپلنت بسیار مهم است، به خصوص در خصوص ویژگی‌های پوششی و رفتار بیولوژیکی مواد انتخاب شده. سرامیک‌ها بهترین انتخاب در این زمینه‌ها هستند.

منبع: [t.me/IrCcC](https://t.me/IrCcC)

## سامسونگ galaxy s10+ نوع سرامیکی

انتظار می‌رود سامسونگ برای گل سرسید Galaxy S 10th Anniversary Galaxy S10+ نسخه سرامیکی Galaxy S 10th Anniversary را منتشر کند. از تجربه ما با سری Xiaomi Mi MIX، سرامیک احساس برتری بیشتری نسبت به نگهداری دارد و به نظر می‌رسد بهتر از شیشه است.



بر اساس اطلاعات نشست شده، این نمونه ممتاز "سرامیک سیاه" نامیده می‌شود. به نظر می‌رسد که کمی رنگ قهوه‌ای نسبت به گرینه رنگ Prism Black دارد. تفاوت رنگ به نظر می‌رسد بسیار طریق است و مالتنظر داریم دستگاه دارای بدنه سرامیکی با کارآیی بالاتری باشد.

در حالیکه سرامیک دارای مقاومت به خراش بیشتری از شیشه است، احتمالاً مقاومت بهتری در برابر ضربه مثلاً افتادن روی سطوح سخت را داشته باشد. این بهترین روش برای تجربه یک تلفن سرامیکی بدون جلد است. اما اگر قصد دارید یک جلد یا کاور بر روی آن قرار دهید، نسخه سیاه سرامیکی هیچ تفاوتی با نسخه شیشه‌ای معمولی نخواهد داشت.

منبع: [t.me/IrCcC](https://t.me/IrCcC)

## ماده جدید دو بعدی (2D) با استفاده از نور به سرعت و با اطمینان آب را تصفیه می‌کند.

بیش از ۲ میلیارد نفر در سراسر جهان از آب آشامیدنی بی‌خطر برخوردار نیستند. امروزه مواد جدید سرامیکی یک روش کارآمد و سازگار با محیط زیست را ارائه می‌دهد تا آب را فقط با استفاده از نور خورشید تصفیه کند.

با استفاده از نور، نمونه اولیه "خام" می‌تواند آب آشامیدنی روزانه به اندازه کافی را برای چهار نفر در یک ساعت تصفیه کند. محققان در ۷ فوریه گزارش دادند که حین آزمایش‌ها، حدود ۱۰۰ درصد از باکتری‌ها در ۱۰ لیتر آب کشته شدند.

این ماده جدید، یک ورق دو بعدی گرافیتی کربن نیترید، و نوعی ماده فتوکاتالیست است: تحت تاثیر نور مواد اکسید کننده‌ای

ایجاد می‌کنند که میکروب‌ها را از بین می‌برد. این طراحی از آسیب‌های دیگر تکنولوژی مشابه جلوگیری می‌کند. موثرترین فتوکاتالیست‌ها امروزه حاوی فلزات می‌باشند که خود ممکن است به عنوان آلاینده‌های سمی به آب برسند. اما گروه دیگر

فوتوکاتالیست‌های غیر فلزی هستند، مانند ورق‌های دوبعدی که اندکی نسبت به فلزات کمتر الکترون‌ها را می‌توانند نگه دارند.

دانشمند علم مواد گوژی وانگ از دانشگاه تکنولوژی سیدنی و همکارانش ورق‌های بسیار نازک نیترید کربن گرافیتی را ایجاد کرده و گروه‌های مشابه اسیدها و کتون‌ها را به آن اضافه کرده‌اند که الکترون‌ها را به سمت لبه‌های ورق‌ها جذب می‌کنند. در آنجا الکترون‌ها بر روی اتم‌های

اسیژن در آب می‌پرند تاماد شیمیایی اسیژنی حلال میکروب مانند پراکسید هیدروژن تولید کنند.

این طراحی منجر به تخریب ۹۹/۹۹۹ درصد از باکتری‌ها، از جمله *E. coli* شده است. کارایی این محصول مشابه بهترین فلزات فتوکاتالیست ارزیابی شده است. این ماده سرامیکی جدید میکروب‌ها را سریع‌تر از بهترین فتوکاتالیست‌های فلزی آزاد که در آن عملیات کشنن میکروب‌ها بیش از یک ساعت طول می‌کشد. در این ماده تنها عرض ۳۰ دقیقه انجام می‌شود. این تیم تحقیقاتی سپس نانو ورقه‌ها را سطح داخل کیسه‌های پلاستیکی متصل کردند، و در مدت یک ساعت ۱۰ لیتر آب را بخوبی تصفیه کردند.

وانگ می‌گوید: "انگیزه ما این بود که یک روش کارآمد برای استفاده از نور خورشید برای تولید آب برای مناطق توسعه نیافرته یا دورافتاده بدون عرضه مرکزی آب تمیز داشته باشیم"، او اشاره کرد با استنای این ماده حاوی ترکیب کربن و نیتروژن را ارزان‌تر تولید کنند. محققان قصد دارند با همکاری مهندسین طراحی را برای استفاده تجاری گسترش دهند.

منبع: [t.me/IrCcC](https://t.me/IrCcC)





مهندس زینب خویشوند،  
نویسنده اول مقاله، دانشگاه  
صنعتی مالک اشتر

zeynab.khishvand71@gmail.com

# بررسی تأثیر نانو ذرات $TiO_2$ بر رفتار سینتر فاز مایع $SiC-Al_2O_3-Y_2O_3$

زینب خویشوند\*، حمیدرضا بهاروندی

دانشگاه صنعتی مالک اشتر

**چکیده:** در این تحقیق تأثیر نانو ذرات  $TiO_2$  بر خواص فیزیکی و مکانیکی سرامیک  $SiC$  با روش سینتر فاز مایع بدون فشار بررسی شد. استفاده از افزودنی‌های  $Al_2O_3-Y_2O_3$  باعث ایجاد فاز مایع، و افزایش سینتر پذیری  $SiC$  شد. همچنین استفاده از نانو ذرات  $TiO_2$  (از ۰ تا ۱۰ درصد وزنی) منجر به سنتز در جای ذرات  $TiC$  در فاز زمینه  $SiC$  شد. حضور این ذرات در فاز زمینه باعث فعال شدن مکانیسم‌های انتقال جرم اضافی شده و قابلیت سینتر پذیری  $SiC$  را افزایش داد. به علاوه باعث کاهش دمای سینتر از ۱۹۵۰°C به ۱۹۰۰°C شد.

بهترین خواص به دست آمده مربوط به نمونه حاوی ۷/۵ درصد وزنی نانو ذرات  $TiO_2$  بود. در این نمونه دانسیته نسبی ۹۷ درصد، چقرمگی شکست  $25/25 MPa.m^{1/2}$  مدلول الاستیک  $40/1/8 GPa$  و میکرو سختی  $27/0/3 GPa$  حاصل گردید. فازهای تشکیل شده و ریزساختار نمونه‌ها، پس از سینتر با استفاده از آلتالیز XRD و تصاویر FESEM مورد تحلیل قرار گرفت.

**کلمات کلیدی:** نانو ذرات  $TiO_2$ ، سینتر فاز مایع، سینتر بدون فشار، سنتز درجا.

## ۱- مقدمه

$SiC$  یک ماده مهندسی مهم است که خواص منحصر به فردی از قبیل مدلول الاستیک بالا، چقرمگی و سختی بالا، پایداری حرارتی و شیمیایی خوب، ضریب انبساط حرارتی کم، استحکام بالا، مقاومت عالی در برابر اکسیداسیون و خوردگی، هدایت حرارتی بالا و ... دارد. بنابراین  $SiC$  برای کاربردهای دمابالا و کاربردهای صنعتی بسیاری مناسب است [۱-۳]. اما این گستره وسیع کاربرد به علت قابلیت سینتر پذیری ضعیف و پایین بودن چقرمگی شکست محدود می‌شود. برای بهبود قابلیت سینتر پذیری  $SiC$  چندین روش سینتر وجود دارد: سینتر بدون فشار حالت جامد، سینتر بدون فشار در حضور فاز مایع، سینتر با پرس گرم، سینتر با فشار گاز و ... در مقایسه این روش‌ها، روش سینتر بدون فشار در حضور فاز مایع به علت سهولت انجام کار، تجهیزات نسبتاً ارزان موردنیاز، کارایی بالا و قابلیت تولید اشکال پیچیده، بیشتر مورد توجه قرار گرفته است. همچنین در این روش دمای سینتر نسبت به سایر روش‌ها پایین‌تر است. در نتیجه عملکرد مکانیکی بالایی از سرامیک  $SiC$  مشاهده می‌شود. پس این روش علاوه بر بالا بردن قابلیت سینتر پذیری سرامیک  $SiC$  باعث بهبود خواص مکانیکی و افزایش چقرمگی شکست این سرامیک می‌شود. سینتر فاز مایع معمولاً نیازمند اکسیدهایی مانند ( $Al_2O_3-Y_2O_3$ ) به عنوان افزودنی‌های پخت برای بهبود سینتر و خواص مکانیکی است. باید توجه داشت که حضور فاز مایع در ریزساختار ماده باعث افت برخی از خواص خواهد شد. برای جبران این موضوع می‌توان از افزودنی سومی در کنار  $Al_2O_3-Y_2O_3$  استفاده کرد تا منجر به بهبود خواص نهایی گردد [۴].

رسیدن به تراکم موردنظر بدون افزودنی، سخت است. زیرا پیوند Si-C کووالانت است و ضریب نفوذپذیری کمی دارد. امروزه افزودنی‌های که به عنوان کمک سینتر برای سینتر  $SiC$  در فاز مایع استفاده می‌شوند، از تنواع وسیعی برخورداراند. مواد افزودنی مورد استفاده به منظور بهبود فرآوری، منجر به ایجاد فاز ثانویه و نهایتاً ضعف در برخی از خواص می‌شوند. علاوه بر این اثر مواد افزودنی تا حد زیادی بستگی به همگن بودن توزیع آن‌ها دارد. خواص مکانیکی  $SiC$  سینتر شده با

فاز مایع بهشدت وابسته به میکروساختار است. که میکروساختار خود متأثر از نوع و مقدار فاز مایع، نوع پودر آغازکننده، دما، زمان و اتمسفر سیتر است. آگاهی از پارامترهای فرایند سیتر، ساختار و خواص مکانیکی، اساسی برای به دست آوردن SiC با خواص موردنظر است.<sup>[۱۰-۵]</sup>

با توجه به تحقیقات صورت گرفته  $TiO_2$  می‌تواند یک افزودنی مؤثر، در کنار  $Al_2O_3-Y_2O_3$  برای سیتر  $SiC$  باشد. وجود کربن در  $TiO_2$  منجر به واکنش درجا، و تشکیل  $TiC$  در فاز زمینه شود. سنتز درجای  $TiC$  در زمینه  $SiC$  از رشد دانه جلوگیری می‌کند و منجر به بهبود خواص از جمله چرمگی شکست می‌شود.<sup>[۱۱-۱۴]</sup>

هدف از انجام این پژوهش، بررسی تأثیر استفاده از نانو ذرات  $TiO_2$  در نسبت‌های مختلف، بر روی خواص مکانیکی  $SiC$  تهیه شده به روش سیتر بدون فشار در حضور فاز مایع حاصل از افزودن ۱۰ درصد وزنی از اکسیدهای  $Al_2O_3-Y_2O_3$ ، است. علاوه بر این انتظار می‌رود که  $TiC$  طبق واکنش زیر در دمای  $1800^{\circ}C$  به صورت درجا، در زمینه  $SiC$  سنتز شود.<sup>[۱۱]</sup>



به نظر می‌رسد که استفاده از ذرات  $TiO_2$  در مقیاس نانو، منجر به سهولت انجام واکنش فوق شود. و همچنین باعث همگن‌تر شدن توزیع ذرات  $TiC$  در فاز زمینه شود. انتظار می‌رود که استفاده از نانو ذرات  $TiO_2$  در سنتز درجای  $TiC$  منجر به تولید این ذرات در ابعاد بسیار ریزتر در فاز زمینه خواهد شد. توزیع همگن و اندازه دانه‌ریز از ذرات  $TiC$  در فاز زمینه بهبود خواص مکانیکی و چرمگی شکست را به دنبال خواهد داشت. مکانیزم‌های چرمگی بخشی نانو ذرات  $TiO_2$  بر سرامیک  $SiC$  عمده‌است، تنش‌های پسماند حرارتی، انحراف ترک و پل زدن است. درنهایت انتظار می‌رود که استفاده از نانو ذرات  $TiO_2$  و افزودنی‌های  $Al_2O_3-Y_2O_3$  باعث کاهش زمان و دمای سیتر  $SiC$  شود.

### فعالیت‌های تجربی

در این تحقیق  $TiO_2$  و نانو  $SiC$ ,  $Al_2O_3$ ,  $Y_2O_3$  به عنوان پودرهای اولیه، بر اساس درصد وزنی‌های مشخص با هم مخلوط شدند. تشکیل ذرات  $TiC$  طبق واکنش زیر در دمای  $1800^{\circ}C$  رخ می‌دهد.



طبق دیاگرام فازی دوتایی  $Al_2O_3-Y_2O_3$  ترکیب مناسب از این دو اکسید انتخاب شد به‌طوری که پس از سیتر، فاز YAG در نمونه‌ها تشکیل شود.

جدول ۱- ترکیب نمونه‌ها

$Al_2O_3$ (Wt%)	$Y_2O_3$ (Wt%)	$TiO_2$ (Wt%)	$SiC$ (Wt%)	نمونه
۴/۳	۵/۷	.	۹۰	۱
۴/۳	۵/۷	۱	۸۹	۲
۴/۳	۵/۷	۳	۸۷	۳
۴/۳	۵/۷	۵	۸۵	۴
۴/۳	۵/۷	۷/۵	۸۲/۵	۵
۴/۳	۵/۷	۱۰	۸۰	۶

پس از توزین مواد اولیه، عملیات آسیاب با کمک آسیاب سیارهای به مدت سه ساعت و با سرعت  $200\text{ rpm}$  به همراه اتانول انجام شد. سپس بهمنظور حذف اتانول دوغاب حاصل به مدت ۵ ساعت در خشک‌کن حرارتی در دمای  $100^{\circ}C$  قرارداده شد. بعد از خشک شدن، پودر به دست آمده از الک با مش  $0.4\text{ }\mu\text{m}$  بهمنظور گرانوله شدن پودر و یکنواختی آن، رد شد.

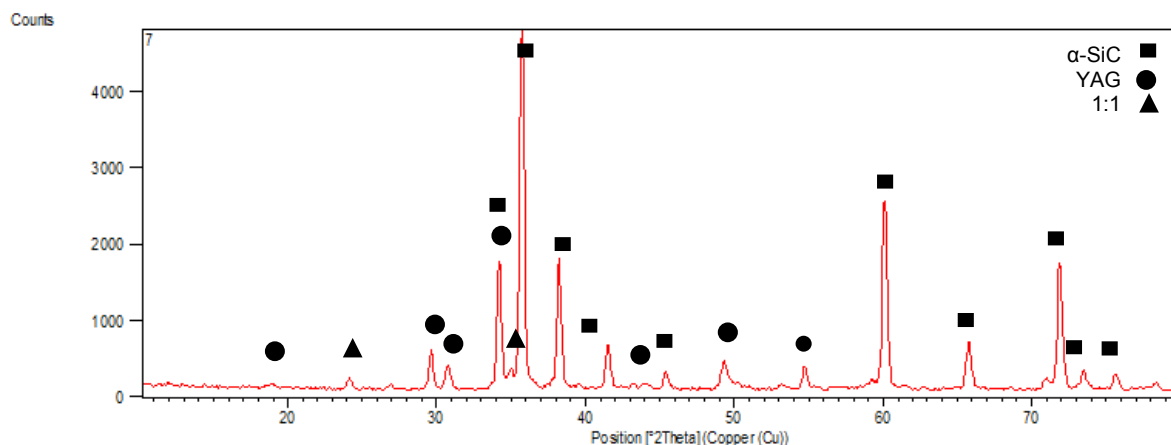
سپس قطعات خام به جهت انجام عملیات سیتر با استفاده از پرس هیدرولیک، به شکل استوانه‌هایی با قطر  $1/6\text{ cm}$  و ارتفاع

۰/۷cm در فشار ۳۰ بار شکل دهی شدند. همچنین به منظور افزایش یکنواختی و افزایش استحکام خام، نمونه‌های به دست آمده با پرس ایزوفاستاتیک سرد با فشار ۲۵۰ MPa به مدت یک دقیقه فشرده شدند. پیش از سینتر، عملیات حرارتی نمونه‌ها از دمای محیط تا دمای ۶۰۰°C به منظور خروج گازهای محبوس، با سرعت ۱°C/min انجام شد. همه‌ی نمونه‌ها تا دمای ۱۶۰۰°C با سرعت ۱۰°C/min، و از ۱۶۰۰°C تا ۱۹۰۰°C با سرعت ۲°C/min در اتمسفر آرگون سینتر شدند. در حین سینتر نمونه‌ها، دما در ۱۸۰۰°C به مدت نیم ساعت متوقف شد تا واکنش بین SiC و نانو ذرات  $TiO_2$  صورت پذیرد، و  $TiC$  به صورت درجا تشکیل شود. دانسیته نمونه‌ها با روش ارشمیدس محاسبه شد. سختی نمونه‌ها با روش ویکرز اندازه گیری شد.

## ۲- نتایج و بحث

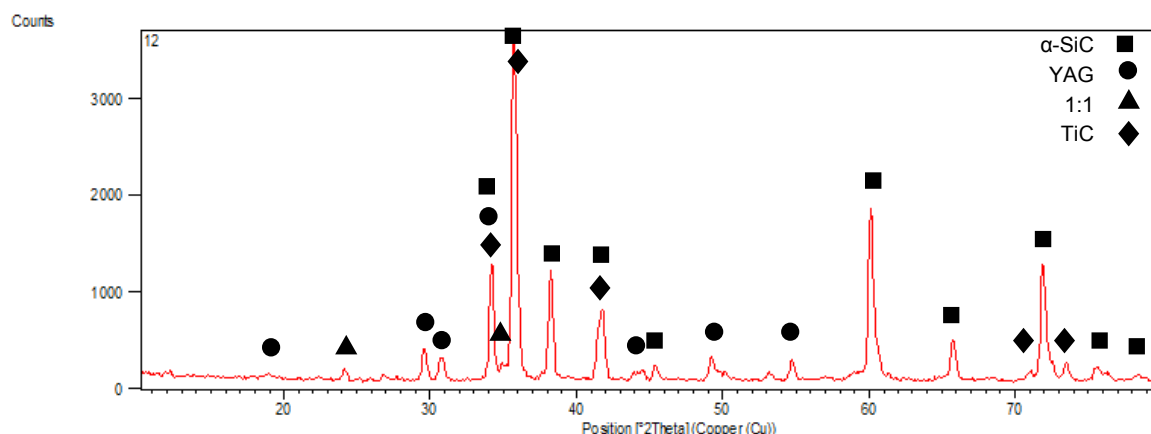
### ۲-۱- بررسی آنالیز فازی نمونه‌های سینتر شده

در شکل (۱) الگوی پراش اشعه ایکس از نمونه فاقد نانو ذرات  $TiO_2$  ارائه شده است. فاز اصلی که در این الگو مشاهده شد  $\alpha$ -SiC است. با توجه به مواد اولیه استفاده شده و نسبت آن‌ها، تشکیل فاز  $YAG$  ( $5Al_2O_3-3Y_2O_3$ ) مورد انتظار بود. تشکیل این فاز نتیجه کریستالیزاسیون فاز مایع بین ذرات  $Al_2O_3-Y_2O_3$  است. این فاز در نمونه مشاهده شد. همچنین مقدار کمی از  $Al_2O$  ( $Y_2O_3-Al_2O_3$ ) شناسایی شد. تشکیل این فاز به علت واکنش بین  $Al_2O_3$  و  $SiC$  و از دست دادن آلومینیا از طریق خروج گاز  $Al_2O$  از سیستم است.



شکل ۱- الگوی پراش اشعه ایکس از نمونه فاقد نانو ذرات  $TiO_2$  و حاوی ۱۰ درصد وزنی  $Y_2O_3-Al_2O_3$

فرض می‌کنیم که در واکنش بین نانو ذرات  $TiO_2$  و  $SiC$ ، کل  $TiC$  به  $TiO_2$  تبدیل شده باشد. این موضوع را می‌توان با XRD اثبات کرد. اگر  $TiO_2$  ای وجود داشته باشد که به  $TiC$  تبدیل شده باشد، با  $Al_2O_3$  وارد واکنش خواهد شد و فاز تیتانات آلمینیوم ( $Al_2TiO_5$ ) را تشکیل خواهد داد. این فاز در حالت خالص در دماهای بالاتر از ۷۰۰°C ناپایدار است و وجود آن در دماهای بالا تنها در صورتی ممکن است که عامل‌های ثبات دهنده‌ای مثل  $MgO$ ،  $ZrO_2$  و یا  $SiO_2$  در سیستم وجود داشته باشد. تنها عامل ثبات دهنده موجود در این سیستم  $SiO_2$  موجود در  $SiC$  اولیه است [۱۵]. به منظور وجود و یا عدم وجود  $TiO_2$  در نمونه‌ها الگوی پراش اشعه ایکس نمونه‌هایی که بالاترین درصد وزنی نانو ذرات  $TiO_2$  را دارا می‌باشند بررسی شد. همانطور که در شکل (۲) مشاهده می‌شود هیچ‌گونه پیکی مبنی بر حضور فاز  $Al_2TiO_5$  یافت نشد. این موضوع می‌تواند بیانگر تبدیل تمامی نانو ذرات  $TiO_2$  به  $TiC$  قبل از رسیدن به دمای سینتر باشد. اما با توجه به عدم توانایی اشعه ایکس در شناسایی مقادیر بسیار کم، ممکن است مقدار کمی (یک یا دو درصد) از  $TiO_2$  هم وجود داشته باشد.



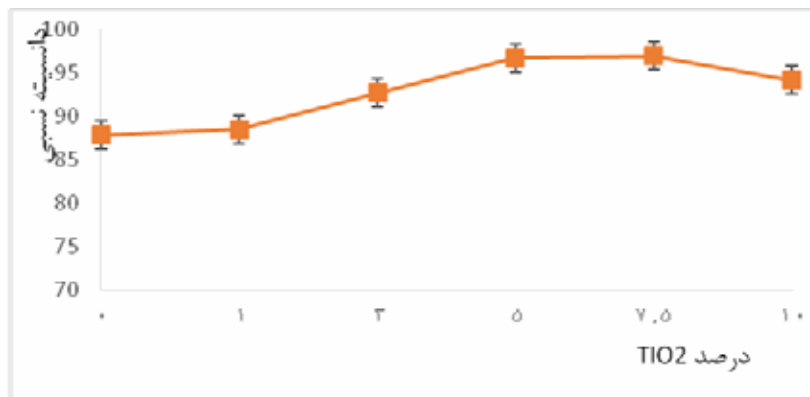
شکل ۲- الگوهای پراش اشعه ایکس از نمونه‌های حاوی ۱۰ درصد وزنی  $\text{TiO}_2$  و ۱۰ درصد وزنی  $\text{Y}_2\text{O}_3\text{-Al}_2\text{O}_3$

بنابراین با توجه به نتایج بدست آمده از الگوهای پراش اشعه ایکس می‌توان نتیجه گرفت که در سیتر SiC با استفاده از نانو ذرات  $\text{TiO}_2$ ,  $\text{TiC}$ ,  $\text{YAG}$  به صورت درجا در فاز زمینه ایجاد شده و کامپوزیت  $\text{SiC-TiC}$  تشکیل شده است. آنالیز EDS نیز در ادامه این مطلب را تأیید می‌کند.

## ۲-۲- بررسی تأثیر افزودنی نانو ذرات $\text{TiO}_2$ بر دانسیتهٔ نسبی نمونه‌ها

تراکم یک سرامیک بستگی به اندازه ذرت، شکل و توزیع ذرات، در هنگام فشرده شدن و دمای سینتر دارد [۱۵]. که این عوامل با استفاده از آسیاب، پرس و پرس ایزواستاتیک سرد کنترل شدند و دمای مناسب سینتر در این سیستم با توجه به تحقیقات صورت گرفته،  $1900^{\circ}\text{C}$  انتخاب شد. در روش سینتر بدون فشار در حضور فاز مایع، واکنش بین ذرات  $\text{Y}_2\text{O}_3\text{-Al}_2\text{O}_3$  باعث ایجاد فاز مذاب (YAG) شده که این فاز به انتقال سریع ذرات SiC کمک می‌کند. بنابراین میزان اکسیدها به طور مستقیم بر کسر حجمی فاز مذاب ایجاد شده در طول سینتر اثر گذاشته و یک عامل اثرگذار در کنترل دانسیتهٔ سرامیک‌ها محسوب می‌شوند. در صورتی که میزان فاز مذاب ایجاد شده مناسب نباشد، ذرات SiC را به طور کامل تر نمی‌کند که در نتیجه مقادیر زیادی تخلخل در نمونه‌های سینتر شده باقی خواهد ماند. زمانی که مقدار و ترکیب فاز مایع مناسب باشد ویسکوزیته آن به انتقال جرم مؤثر و درنهایت بهبود تراکم کمک می‌کند. ترکیب و دمای پخت تأثیر زیادی بر ویسکوزیته فاز مایع دارد [۱۶].

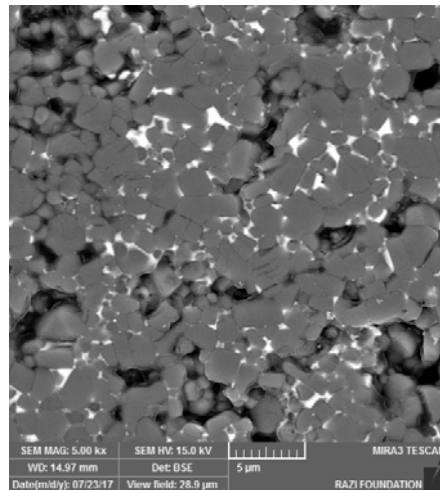
شکل (۳) نشان می‌دهد که دانسیته نمونه‌های سینتر شده با افزایش درصد وزنی نانو ذرات  $\text{TiO}_2$  تا حدود  $7/5$  درصد وزنی افزایش می‌یابد. پس می‌توان بیان کرد که دیگر عامل موثر بر دانسیته نمونه‌ها کسر حجمی ذرات  $\text{TiC}$  است که به صورت درجا در زمینهٔ SiC تشکیل شده است. تشکیل ذرات  $\text{TiC}$  از رشد افراطی دانه‌های SiC جلوگیری می‌کند. و همچنین باعث کاهش واکنش بین  $\text{SiC}$  و  $\text{Al}_2\text{O}_3$  شده و در نتیجه خروج مواد فرار از نمونه‌ها کاهش دهد، بنابراین از میزان تخلخل‌ها کاسته شده و دانسیته افزایش می‌یابد. از طرف دیگر اکتیویته بالا در محل تشکیل ذرات  $\text{TiC}$  منجر به افزایش نیرو محکم که سینتر شده و دانسیته نمونه‌ها افزایش می‌یابد [۱۱]. بیشترین مقدار دانسیته در نمونه حاوی  $7/5$  درصد وزنی از نانو ذرات  $\text{TiO}_2$  مشاهده می‌شود. اگرچه حضور نانو ذرات  $\text{TiO}_2$  ممکن است به دلیل از دادن CO در واکنش تبدیل  $\text{TiO}_2$  به  $\text{TiC}$  باعث ایجاد تخلخل در نمونه‌ها شود، اما در اثر غلبه تأثیر عوامل فزاینده بر عامل کاهنده، افزایش دانسیته در حضور نانو ذرات  $\text{TiO}_2$  کاملاً مشهود است. اما زمانی که درصد وزنی نانو ذرات  $\text{TiO}_2$  از  $7/5$  درصد وزنی بیشتر می‌شود دانسیته کاهش می‌یابد. این کاهش دانسیته در نمونه‌های سری اول از پنج درصد وزنی به بعد مشاهده شد. علت این کاهش دانسیته می‌تواند آگلومره شدن نانو ذرات  $\text{TiO}_2$  در زمینهٔ کامپوزیت باشد. علت دیگر به افزایش تخلخل‌های اضافی در مقادیر بالای نانو ذرات  $\text{TiO}_2$  برمی‌گردد. چراکه با افزایش نانو ذرات  $\text{TiO}_2$  میزان خروج گازهای حاصل از واکنش بیشتر شده و تخلخل‌های بیشتری بر جای می‌ماند و فاز مایع قابلیت پر کردن تمامی این تخلخل‌ها را نخواهد داشت. در ادامه میزان تخلخل، افت وزنی و انقباض خطی که همگی بر مقدار دانسیته نمونه‌ها مؤثرند بررسی خواهند شد.



شکل ۳- تغییرات دانسیتی نسبی نمونه‌های سینترشده برحسب مقادیر مختلف از نانو ذرات  $\text{TiO}_2$ .

### ۲-۳- بررسی ریزساختار نمونه‌های سینتر شده

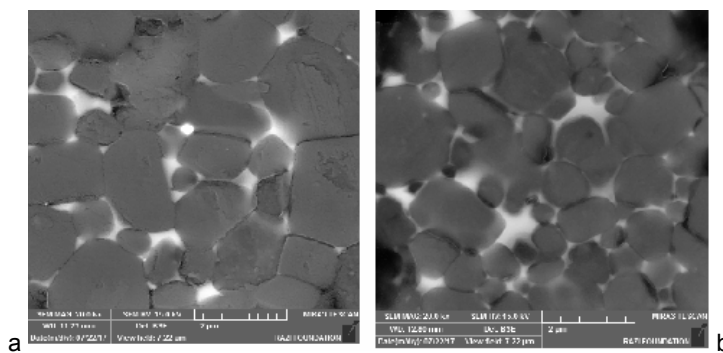
خواص مکانیکی  $\text{SiC}$  سینترشده با فاز مایع بهشدت وابسته به ریزساختار است. خود ریزساختار هم متاثر از نوع و مقدار فاز مایع، نوع پودر آغاز کننده، دما، زمان و اتمسفر سینتر است. [۵-۱۰]. با توجه به ریزساختار نمونه‌ها می‌توان اطلاعاتی هم چون مورفولوژی دانه، اندازه دانه، میزان همگنی توزیع فاز ثانویه و ... را به دست آورد. شکل (۴) تصویر FESEM از سطح نمونه‌های فاقد نانو ذرات  $\text{TiO}_2$ ، که شامل ۱۰ درصد وزنی کمک سینترهای  $\text{Y}_2\text{O}_3\text{-Al}_2\text{O}_3$  می‌باشند را نشان می‌دهد. شرایط سینتر و حضور فاز مایع در زمان سینتر، تأثیر اساسی بر ساختار و خواص بعد از سینتر دارد. در کنار تشکیل فاز ایتریم-آلومینیوم-گارنت (YAG) به عنوان فاز بین دانه‌ای، بین دانه‌ای  $\text{SiC}$ ، واکنش بین اکسیدها و کاربید سیلیسیم اتفاق می‌افتد که منجر به تولید گاز شده و کاهش وزن را به دنبال دارد [۱۷].



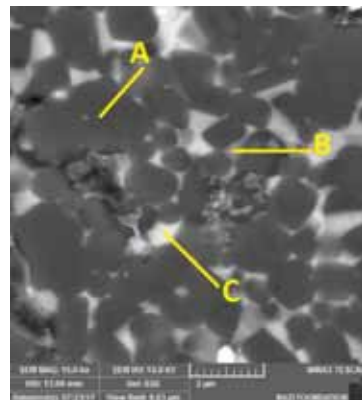
شکل ۴- تصویر FESEM از سطح پولیش و اج شده نمونه فاقد نانو ذرات  $\text{TiO}_2$ .

در شکل (۵) تأثیر نانو ذرات  $\text{TiO}_2$  بر ریزساختار نمونه‌های سینترشده قابل مشاهده است. حضور نانو ذرات  $\text{TiO}_2$  باعث ایجاد ریزساختار با توزیع یکنواخت‌تری شده است و میزان تخلخل‌ها نیز کاهش یافته است. حضور نانو ذرات  $\text{TiO}_2$  به تراکم ریزساختار کمک کرده است. علت این امر سنتز درجای ذرات  $\text{TiC}$  در زمینه‌ی  $\text{SiC}$  است. کسر کوچکی از ذرات  $\text{TiC}$  رشد دانه  $\text{SiC}$  به شدت متوقف می‌کند و منجر به ایجاد ریزساختار با دانه‌های ریزتر می‌شود.

در شکل (۶) تصویری از نمونه حاوی ۱۰ درصد وزنی نانو ذرات  $\text{TiO}_2$  نشان داده شده است. در این تصویر سه نوع کنتراست فازی مشاهده می‌شود. که طبق آنالیز EDS از سطح نمونه‌های سینترشده شکل (۷) مشاهده می‌شود که مناطق خاکستری رنگ، دانه‌های  $\text{SiC}$ ، نقاط خاکستری روشن دانه‌های  $\text{TiC}$  و نواحی روشن بیانگر فاز مایع می‌باشند. این فازها در الگوهای پراش اشعه ایکس نیز مشاهده شدن.

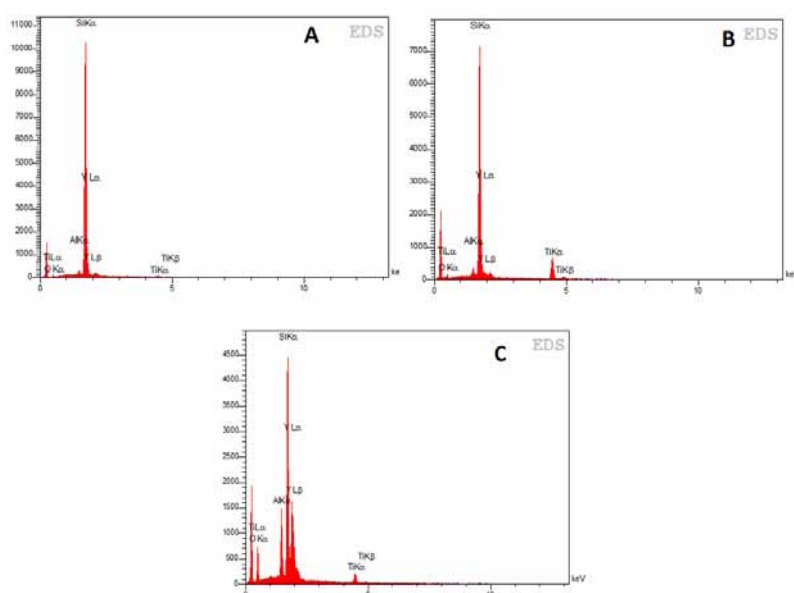


شکل ۵- تصاویر FESEM از سطح پولیش و اج شده (a) فاقد نانو ذرات  $\text{TiO}_2$ ، (b) حاوی ۷/۵ درصد وزنی نانو ذرات  $\text{TiO}_2$ .



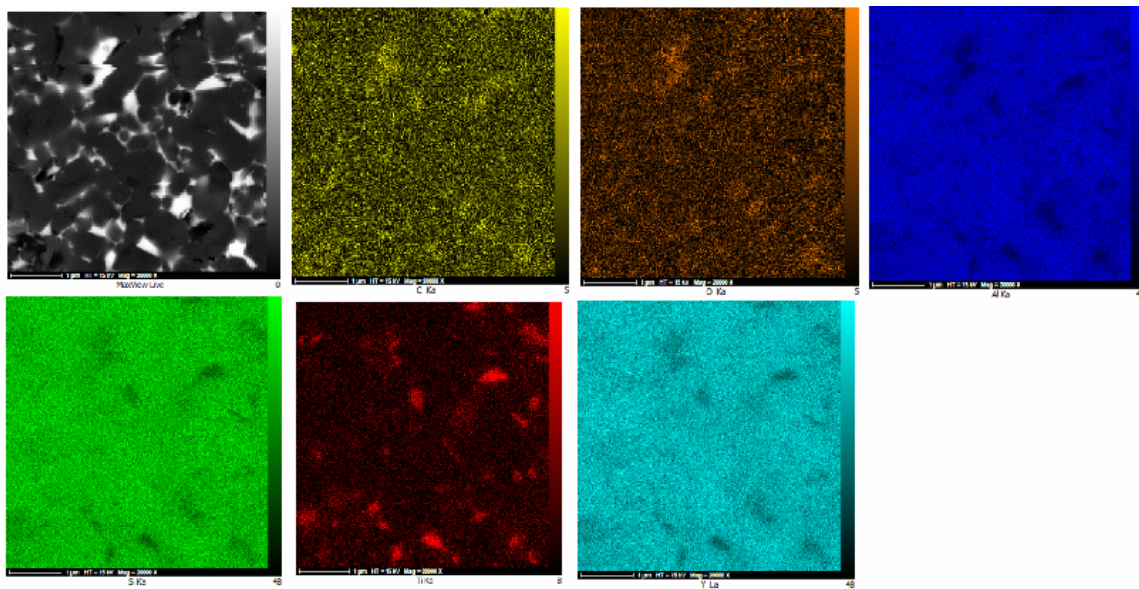
شکل ۶- تصویر FESEM از سطح پولیش شده بدون اج، نمونه حاوی ۱۰ درصد وزنی نانو ذرات  $\text{TiO}_2$ .

با توجه به شکل (V)، عناصر موجود در هر یک از نقاط A، B و C نشان‌دهنده فازهای  $\text{SiC}$ ،  $\text{YAG}$  و  $\text{TiC}$  می‌باشند. این نکته حائز اهمیت است که با واکنش بین  $\text{SiC}$  و نانو ذرات  $\text{TiO}_2$  که باعث سنتز در جای ذرات  $\text{TiC}$  می‌شود، باید  $\text{Si}$  به صورت آزاد در الگوی پراش اشعه ایکس مشاهده می‌شد تا با اطمینان خاطر تأیید کرد که تمامی نانو ذرات  $\text{TiO}_2$  به  $\text{TiC}$  تبدیل شده است. اما متأسفانه در الگوی پراش اشعه ایکس  $\text{Si}$  شناسایی نشد. علت این موضوع به پایین بودن نقطه ذوب  $\text{Si}$  ( $1400^\circ\text{C}$ ) برمی‌گردد. چراکه عمل تبخیر در طول فرایند سیتر اجتناب‌ناپذیر است. و از طرف دیگر XRD توانایی تشخیص در غلظت‌های پایین را دارا نیست. اما آنالیز EDS وجود  $\text{Si}$  را تأیید کرد. پس می‌توان گفت که  $\text{TiC}$  تولید شده و  $\text{Si}$  وجود دارد.



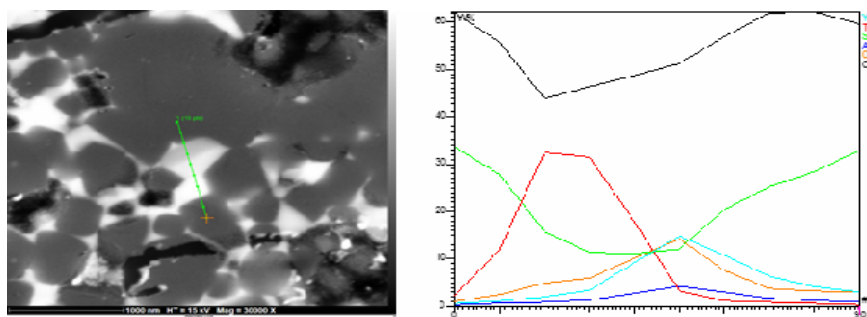
شکل ۷- نوع عناصر موجود در نمونه حاوی ۱۰ درصد وزنی نانو ذرات  $\text{TiO}_2$ .

برای بررسی توزیع فاز در زمینه‌ی SiC آنالیز map مورد تحلیل قرار می‌گیرد. به توجه به شکل (۸) مشاهده می‌شود که توزیع نسبتاً یکنواختی از ذرات فاز ثانویه در نمونه ایجادشده است.



شکل ۸- آنالیز map نقطه‌ای از نمونه حاوی پنج درصد نانو ذرات  $\text{TiO}_2$ .

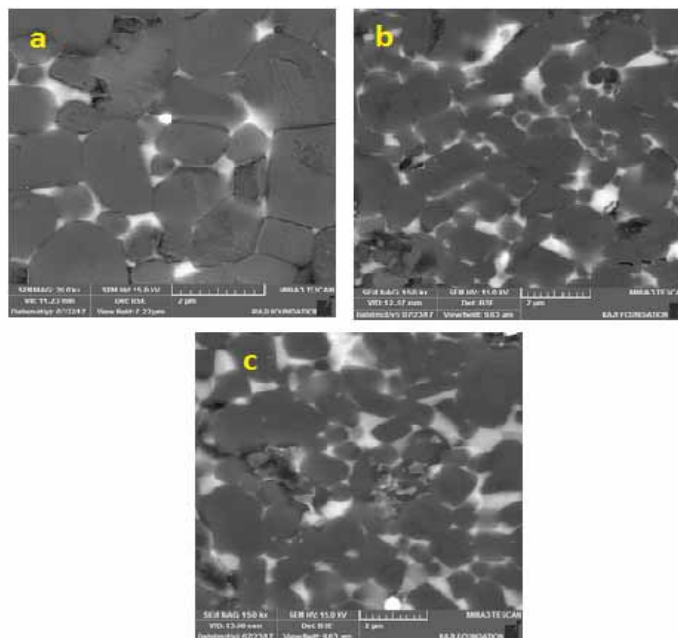
در نمونه‌ها توزیع یکنواختی از عناصر فاز ثانویه نشان داده شده است. این موضوع یکی از دلایل بهبود خواص SiC سینترشده در حضور افزودنی‌های اکسیدی است. یکی از دلایل این توزیع یکنواخت استفاده از نانو ذرات  $\text{TiO}_2$  در نمونه‌ها است. همانطور که در فصل دوم اشاره شد استفاده از نانو ذرات به عنوان فاز تقویت‌کننده در زمینه‌ی مانع از رشد دانه، و باعث ایجاد توزیع یکنواختی از ذرات فاز ثانویه در زمینه‌ی می‌شود [۱۸]. در تأیید مباحثه شده در این بخش، آنالیز خطی از نمونه حاوی ده درصد زنی از نانو ذرات  $\text{TiO}_2$  در شکل (۹) نشان داده شده است. در این آنالیز یک خط شامل ده نقطه طوری انتخاب شد که تمام فازهای احتمالی  $\text{SiC}$  را در برگیرد. در ابتدا و انتهای این خط مقادیر Si و C از همه عناصر دیگر بیشتر است، این موضوع بیانگر حضور دانه‌های  $\text{SiC}$  در ابتداء و انتهای این خط است. در ادامه خط با افزایش عنصر Ti رو برو می‌شویم که در این حالت غلظت کریں نیز قابل توجه است پس می‌توان گفت که فاز خاکستری کم رنگ همان ذرات TiC هستند که به صورت درجا در زمینه ایجادشده‌اند. و درنهایت با افزایش عناصر O، Al و Z تشکیل فاز YAG تأیید می‌شود.



شکل ۹- آنالیز خطی از نمونه حاوی ۱۰ درصد نانو ذرات  $\text{TiO}_2$ .

از شکل (۱۰) مشخص است که درصد وزنی نانو ذرات  $\text{TiO}_2$  اثر بارزی بر روی مورفولوژی و اندازه ذرات دانه‌های  $\text{SiC}$  در نمونه‌های سینترشده دارد. با افزایش درصد وزنی نانو ذرات  $\text{TiO}_2$ ، دانه‌های کشیده  $\text{SiC}$  نیز افزایش می‌باید. دلیل این رفتار مربوط است به برخورد دانه‌های  $\text{SiC}$  با ذرات TiC که به صورت درجا تشکیل شده است. در واقع با برخورد دانه‌های  $\text{SiC}$  به ذرات TiC رشد آن‌ها محدود می‌شود. تغییر در اندازه دانه و مورفولوژی سهم کاملاً متفاوتی در افزایش یا کاهش چقرمگی دارند که در بخش

چهارمگی مورد بحث قرار می‌گیرد. همانطور که در شکل نیز پیدا است مورفولوژی غالب ذرات SiC به صورت هم محور است. تعداد محدودی دانه‌های کشیده از این ذرات نیز مشاهده می‌شود.



شکل ۱۰- تصاویر FESEM از سطح نمونه‌های پولیش شده

(a) فاقد نانو ذرات (b) حاوی پنج درصد وزنی نانو ذرات  $TiO_2$  (c) حاوی ۱۰ درصد وزنی نانو ذرات  $TiO_2$

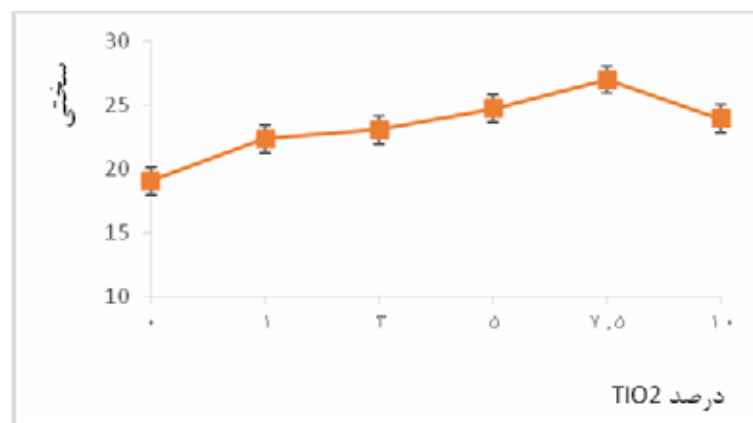
دانه‌های کشیده SiC در مقاومت به انتشار ترک مقاوم‌تر هستند. ذرات TiC رشد دانه‌های کشیده ضخیم را متوقف می‌کند این در حالی است که دانه‌های کشیده نازک SiC بین آن‌ها رشد می‌کند. همانطور که در شکل پیداست نمونه‌ی فاقد نانو ذرات  $TiO_2$  دارای دانه‌های نسبتاً بزرگ با مورفولوژی هم محور است. با افزودن نانو ذرات  $TiO_2$  به نمونه‌ها، ریزدانه شده و کشیده شدن تعداد محدودی از دانه‌ها مشهود است.

در نمونه‌هایی که درصد وزنی بالایی از نانو ذرات  $TiO_2$  را دارا می‌باشند. امکان حضور آگلomerه‌ها بسیار زیاد است. این موضوع سبب افت خواص می‌شود. در این نمونه‌ها فاصله بین ذرات TiC که به صورت درجا تشکیل شده‌اند کم می‌شود و ذرات TiC می‌توانند از میان فاز مایع انتقال پیدا کنند، و رشد کنند. به این ترتیب میکرو ساختار شامل پنج درصد وزنی از نانو ذرات  $TiO_2$  ریزدانه‌تر است و دانه‌های کشیده بیشتری نسبت با میکرو ساختار شامل ۱۰ درصد وزنی از نانو ذرات  $TiO_2$  دارد.

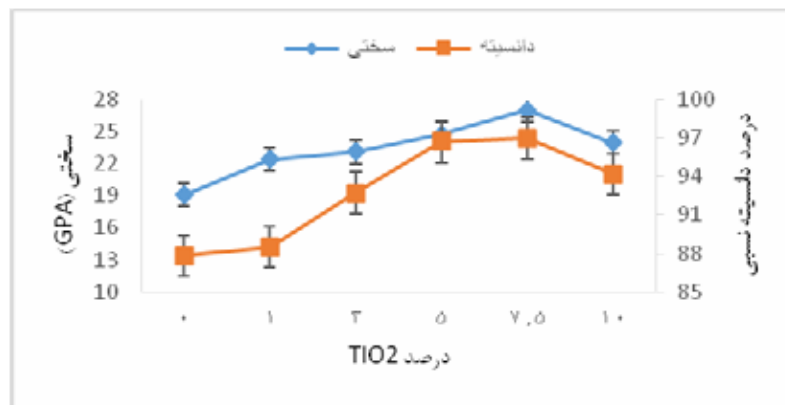
#### ۲-۴- بررسی تأثیر افزودنی نانو ذرات $TiO_2$ بر سختی نمونه‌ها

سرامیک‌ها جزو سخت‌ترین مواد شناخته شده هستند. سختی بالای سرامیک‌های SiC، به دلیل پیوند کوالانت قوی بین اتم‌های Si و C است. رسیدن به مقادیر بالا از سختی به نحوه سیتر و کمک سیترها وابسته است. از نمونه‌هایی با دانسیته بالا اغلب سختی ویکرز بالا انتظار می‌رود. بیشترین سختی به دست آمده در نمونه‌های سینترشده ۲۷ GPa، مربوط به نمونه حاوی ۷/۵ درصد وزنی از نانو ذرات  $TiO_2$  است. شکل (۱۱) مقادیر مربوط به سختی نمونه‌ها را بر حسب درصد وزنی افزودنی  $TiO_2$  نشان می‌دهد.

با افزایش درصد نانو ذرات  $TiO_2$  سختی رو به افزایش است. این افزایش تا ۷/۵ درصد وزنی از نانو ذرات  $TiO_2$  مشاهده می‌شود و بعد از آن سختی نمونه‌ها اندکی افت پیدا می‌کند. این رفتار با دانسیته به دست آمده از نمونه‌ها کاملاً منطبق است. پس می‌توان نتیجه گرفت که سختی نمونه‌ها با میزان تخلخل موجود در آن‌ها ارتباط مستقیم دارد. ارتباط بین نمونه‌ها و سختی آن‌ها در شکل (۱۲) نشان داده شده است.



شکل ۱۱- تغییرات سختی نمونه‌ها بر حسب مقدار مخالله از نانو ذرات  $\text{TiO}_2$ .



شکل ۱۲- رابطه بین سختی و دانسیته نمونه‌ها بر اساس درصد افزودنی نانو ذرات  $\text{TiO}_2$ .

افزودن نانو ذرات  $\text{TiO}_2$  به نمونه‌ها منجر به بهبود سختی می‌شود. چراکه فاز  $\text{TiC}$  تشکیل شده به خودی خود سخت است و توزیع این فاز در زمینه‌ی  $\text{SiC}$  منجر به افزایش سختی کل نمونه‌ها می‌شود. این افزایش در میزان سختی نمونه‌های حاوی افزودنی نانو ذرات  $\text{TiO}_2$  را می‌توان به ریز شدن دانه‌ها در ریزساختار به واسطه افزودن نانو ذرات  $\text{TiO}_2$  و تشکیل  $\text{TiC}$  نسبت داد [۱۲]. چرا که ذرات  $\text{TiC}$  که به صورت درجا در زمینه‌ی تشکیل شده‌اند، رشد دانه‌های  $\text{SiC}$  را محدود می‌کنند. طبق معادله تجربی هال - پچ رابطه استحکام و سختی با اندازه دانه‌های کریستالی به صورت زیر ارائه می‌شود:

$$\sigma_Y = \sigma_0 + \frac{k}{\sqrt{d}} \quad (2)$$

در این معادله،  $\sigma_Y$  استحکام تسليیم ماده،  $\sigma_0$  تنش اصطکاکی شبکه،  $k$  مقدار ثابت و  $d$  اندازه دانه‌های کریستالی است. طبق این معادله می‌توان بیان نمود که با کاهش اندازه دانه، سختی نمونه‌ها افزایش می‌یابد.

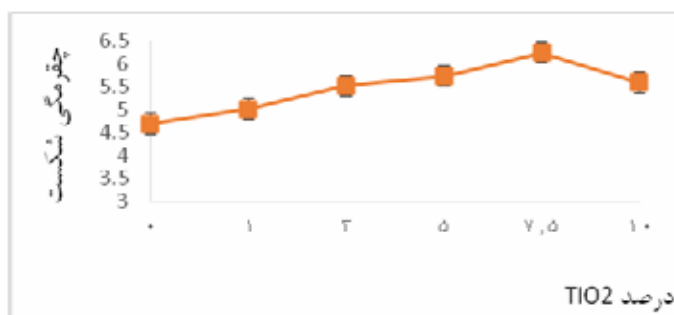
از طرف دیگر با افزایش در مقدار  $\text{TiO}_2$  تا ۱۰ درصد وزنی در ترکیب، میزان سختی نمونه‌ها کاهش یافته است. دلیل این موضوع می‌تواند آگلومره شدن ذرات با افزایش درصد وزنی نانو ذرات  $\text{TiO}_2$  و کاهش دانسیته باشد. همچنین کاهش سختی در اثر افزایش درصد  $\text{TiC}$  در زمینه‌ی  $\text{SiC}$ ، می‌تواند به این دلیل باشد که بر مقدار تنش پسماند حاصل از اختلاف ضریب انبساط حرارتی  $\text{SiC}$  و  $\text{TiC}$  ( $\Delta\alpha=2.6\times10^{-6}\text{C}^{-1}$ ) افزوده شده و ممکن است موجب ایجاد ریزترک‌ها در نمونه سینترشده گردد، درنتیجه سختی افت پیدا می‌کند [۱۹].

## ۲-۵-بررسی تأثیر افزودنی نانو ذرات $\text{TiO}_2$ بر چقلمگی شکست نمونه‌ها

با توجه به اینکه سرامیک‌ها ترد هستند و این خاصیت جز خواص ذاتی آن‌ها به شمار می‌رود. دستیابی به چقلمگی شکست مناسب در این مواد همواره مورد توجه پژوهشگران بوده است. با اینکه اغلب پیشرفت‌ها در رسیدن به بهبود چقلمگی شکست

سرامیک با سینتر فاز مایع انجام شده، اما نتایج به دست آمده رضایت‌بخش نیست. یک راه مؤثر برای حل این مشکل استفاده از فاز تقویت‌کننده در زمینه‌ی SiC است. فاز تقویت‌کننده ایده آل باید خواصی نزدیک به زمینه داشته باشد و عملکرد کامپوزیت را تنزل نخشد. TiC به علت خواصی هم چون سختی بالا، مدول الاستیک بالا، مقاومت در برابر خوردگی و سایش و به علاوه عدم انطباق ضریب انبساط حرارتی با SiC اغلب به عنوان فاز تقویت‌کننده برای بهبود چرمگی شکست سرامیک SiC مناسب است [۲۰].

تغییرات چرمگی شکست بر حسب درصد نانو ذرات  $TiO_2$  در شکل (۱۳) رسم شده است. مشاهده می‌شود که با افزایش درصد نانو ذرات  $TiO_2$  تا  $7/5$  درصد وزنی برای نمونه‌ها چرمگی شکست افزایش می‌یابد و از این مقدار به بالا چرمگی شکست کاهش می‌یابد.



شکل ۱۳- تغییرات چرمگی شکست نمونه‌ها بر حسب مقادیر مختلف از نانو ذرات  $TiO_2$ .

با توجه به نتایج به دست آمده، میزان چرمگی شکست در نمونه‌ها، سینتر شده در دمای  $1900^{\circ}C$  درجه سانتی گراد  $4/7 VMPa.m^{1/2}$  بود. با افزودن نانو ذرات  $TiO_2$  به نمونه‌ها این مقدار به  $6/25 VMPa.m^{1/2}$  افزایش یافت. کاهش در چرمگی شکست نمونه‌های حاوی درصدهای بالاتر از نانو ذرات  $TiO_2$  به علت کاهش دانسیته و تشدید در رشد دانه‌های TiC است. اما به طور کلی تغییر در مقادیر چرمگی شکست نمونه‌های سینتر شده از دو عامل اصلی زیر حاصل می‌شود:

عامل اول، تعامل مستقیم نوک ترک با ذرات TiC است که به صورت درجا در زمینه‌ی تشکیل شده‌اند. حضور ذرات TiC عموماً منجر به افزایش چرمگی شکست به خاطر فعال شدن مکانیسم‌های افزایش چرمگی شکست از قبیل استحکام‌بخشی در اثر تنش پسماند در سیستم‌های دو فازی، و انحراف ترک می‌شود (این دو مکانیسم در ادامه به طور کامل توضیح داده می‌شود).

عامل دوم، در اثر تغییر در مورفولوژی و اندازه دانه‌های SiC به دلیل حضور ذرات TiC است. حضور ذرات TiC منجر به کشیده شدن دانه‌های SiC می‌شود. و دانه‌های کشیده باعث بهبود چرمگی شکست نمونه‌های می‌شود. بر این اساس طبق نظریه فابر و اونس [۱۱]، دانه‌های کشیده‌ی SiC می‌توانند از طریق رابطه‌ی زیر موجب بهبود در چرمگی شکست نمونه‌ها شوند.

$$K_m = K_{eq} (1 + 0.28V) \frac{1}{d} \quad (3)$$

در این رابطه،  $K_m$  چرمگی شکست زمینه SiC،  $K_{eq}$  چرمگی شکست دانه‌های هم محور SiC،  $V$  کسر حجمی دانه‌های کشیده شده در زمینه‌ی SiC و  $\frac{1}{d}$  نسبت طول به عرض دانه‌ها کشیده شده SiC است.

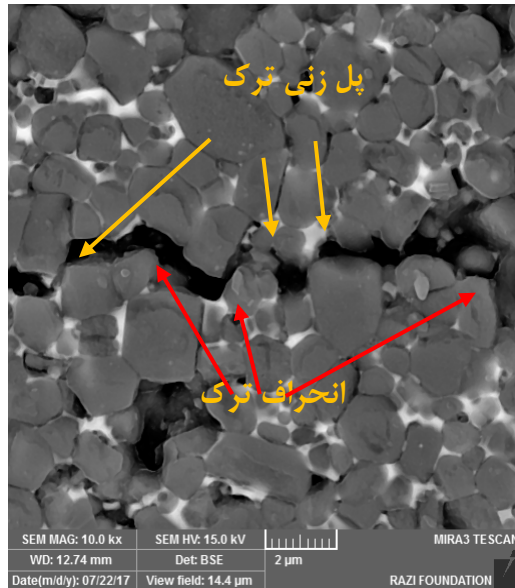
در شکل (۱۰) ریز دانه شدن و کشیده شدن دانه‌های SiC کاملاً قابل مشاهده است. این موضوع که دانه‌های کشیده نسبت به دانه‌های هم محور، مقاومت بیشتری در مقابل انتشار ترک دارند به اثبات رسیده است. اما با توجه به اینکه کسر حجمی دانه‌های کشیده شده ناچیز است تأثیر آن‌ها نیز در افزایش میزان چرمگی شکست کامپوزیت بسیار کم است. پس در ادامه به بررسی تأثیر مکانیسم‌های چرمگی مطرح شده در بالا بررسی می‌شود.

## ۲-۶- بررسی مکانیسم‌های چرمگی در کامپوزیت $SiC-TiO_2$

برای بررسی مکانیسم‌های چرمگی، با استفاده از فرورونده ویکرز در فشار ۳۰ بار روی سطح پولیش شده چند نمونه ترک ایجاد شد. و از ترک‌های ایجاد شده تصاویر FESEM تهیه گردید. ترک ایجاد شده در این نمونه‌ها به صورت عمده از مرز دانه‌ها که حاوی

فاز ثانویه YAG می‌باشد، عبور می‌کند. فاز YAG یک فاز اکسیدی ضعیف است پس ترک‌ها معمولاً در مسیری حرکت می‌کند که این فاز حضور دارد. فاز مایع موجود منجر به تغییر ماهیت شکست از درون دانه‌ای به بین‌دانه‌ای می‌شود که این امر تا حدی به بهبودی چقرومگی شکست کمک می‌کند.

همانطور که در بخش قبلی نیز اشاره شد با توجه به کم بودن کسر حجمی دانه‌های کشیده شده افزایش چقرومگی شکست بر اساس این مکانیسم محدود است. اما تنفس پسماند حرارتی اطراف دانه‌های TiC حاصل از عدم انطباق ضریب انبساط حرارتی بین SiC و TiC منجر به افزایش چقرومگی شکست نمونه‌ها می‌شود. یکی از مهم‌ترین اثرات افزودن ذرات تقویت‌کننده به فاز زمینه، ایجاد تنفس پسماند ناشی از عدم تطابق انبساط حرارتی بین ذرات تقویت‌کننده و زمینه در حین فرایند سرمایش در مرحله سینتر تولید می‌شود به این ترتیب که تنفس فشاری پسماند اطراف ذرات TiC، تنفس کششی در نوک ترک را کاهش می‌دهد و درنتیجه منجر به افزایش چقرومگی شکست نمونه‌ها می‌شود. به نظر می‌رسد مهم‌ترین مکانیسم توقف، انحراف و پل‌زنی ترک توسط ذرات فاز تقویت‌کننده TiC است که باعث افزایش چقرومگی شکست می‌شود.



شکل ۱۴- تصویر FESEM از سطح نمونه پولیش شده ۷/۵ درصد وزنی از نانو ذرات  $TiO_2$  و حاوی ۱۰ درصد  $Y_2O_3-Al_2O_3$ .

مکانیسم انحراف ترک در تصاویر مشاهده می‌شود به علت حضور فاز اکسیدی در زمینه‌ی است. منحرف شدن ترک توسط این فاز سبب کاهش انرژی ترک و درنهایت افزایش چقرومگی شکست نمونه‌ها خواهد شد. البته انحراف ترک می‌تواند در اثر برخورد ترک با ذرات TiC نیز صورت بگیرد. حضور ذرات TiC و دانه‌های کشیده SiC نیز منجر به پل‌زنی ترک شده است. این مکانیسم نیز انرژی نوک ترک را کاهش داده و منجر به افزایش چقرومگی شکست می‌گردد.

### ۳- نتیجه‌گیری

تمامی نمونه‌ها در دمای  $1900^{\circ}C$  و با کاهش دمای سینتر از  $90^{\circ}$  دقیقه در اتمسفر آرگون با موفقیت سینتر شدند. استفاده از نانو ذرات  $TiO_2$  در سینتر SiC، باعث تشکیل کامپوزیت SiC-TiC شد. به این ترتیب که نانو ذرات  $TiO_2$  با کربن SiC وارد واکنش شده و ذرات TiC به صورت درجا در فاز زمینه ایجاد شدند.

حضور فازهای SiC، YAG و TiC، ۱:۱ توسط آنالیز فازی اشعه ایکس به اثبات رسید. اکسیدهای  $Y_2O_3-Al_2O_3$  با  $TiO_2$  موجود در سطح SiC وارد واکنش شده و فاز YAG را تشکیل دادند که این فاز منجر به بهبود دانسیته نمونه‌ها بعد از سینتر شد.

ذرات تشکیل شده‌ی TiC در فاز زمینه توزیع یکنواختی داشتند. و مورفولوژی غالب ذرات SiC به صورت هم محور بود. البته تعداد محدودی از دانه‌های کشیده SiC نیز مشاهده شد.

حضور ذرات تقویت‌کننده TiC در فاز زمینه سختی را از ۱۹/۰/۹ GPa به ۲۷/۰/۳ GPa و مدول الاستیک نمونه‌ها را از ۴۰/۱/۰/۸ GPa به ۳۴۹/۳/۵ GPa افزایش داد.

توزیع یکنواخت از ذرات تقویت‌کننده TiC در فاز زمینه SiC، از طریق ایجاد تنش‌های فشاری پسماند و مکانیسم‌های انحراف و پل‌زنی ترک منجر به بهبود چرمگی شکست نمونه‌ها پس از سینتر از  $4/7 \text{ MPa} \cdot \text{m}^{1/2}$  به  $6/25 \text{ MPa} \cdot \text{m}^{1/2}$  شد. در نمونه‌ها بهترین خواص مربوط به نمونه حاوی  $7/5$  درصد از نانو ذرات  $\text{TiO}_2$  بود. در این نمونه دانسیته نسبی ۹۷ درصد، چرمگی شکست  $25/۲/۵ \text{ MPa} \cdot \text{m}^{1/2}$  و میکرو سختی  $27/۰/۳ \text{ GPa}$  و مدول الاستیک  $40/۱/۰/۸ \text{ GPa}$  حاصل گردید.

## مراجع

- [1] Eom, J.-H., Kim, Y.-W., & Song, I.-H., Effect of additive composition on mechanical properties of pressureless sintered silicon carbide ceramics sintered with alumina, aluminum nitride and yttria. *Metals and Materials International*, 2015. 21(3): p. 525-530.
- [2] Huang, Z., Jia, D., Zhou, Y., & Liu, Y., A new sintering additive for silicon carbide ceramic. *Ceramics International*, 2003. 29(1): p. 13-17.
- [3] Zhou, Y., Tanaka, H., Otani, S., & Bando, Y., Low-Temperature Pressureless Sintering of alpha-SiC with Al<sub>4</sub>C<sub>3</sub>-B<sub>4</sub>C-C Additions. *Journal of the American Ceramic Society*, 1999. 82(8): p. 1959-1964.
- [4] Mao-lin, X., De-li, L., Xiao-Bin, X., Bang-yi, L., Chang'an, C., & Wei-yuan, L., Densification of nano-SiC by ultra-high pressure effects of time, temperature and pressure. *Fusion Engineering and Design*, 2010. 85(7): p. 964-968.
- [5] Yang, H., Zhang, L., Guo, X., Zhu, X., & Fu, X., Pressureless sintering of silicon carbide ceramics containing zirconium diboride. *Ceramics International*, 2011. 37(6): p. 2031-2035.
- [6] Strecker, K. and M.-J. Hoffmann, Effect of AlN-content on the microstructure and fracture toughness of hot-pressed and heat-treated LPS-SiC ceramics. *Journal of the European Ceramic Society*, 2005. 25(6): p. 801-807.
- [7] Borrero-López, O., Ortiz, A. L., Guiberteau, F., & Padture, N. P., Effect of liquid-phase content on the contact-mechanical properties of liquid-phase-sintered  $\alpha$ -SiC. *Journal of the European Ceramic Society*, 2007. 27(6): p. 2521-2527.
- [8] Zawrah, M. and L. Shaw, Liquid-phase sintering of SiC in presence of CaO. *Ceramics international*, 2004. 30(5): p. 721-725.
- [9] Suzuki, K. and M. Sasaki, Microstructure and mechanical properties of liquid-phase-sintered SiC with AlN and Y<sub>2</sub>O<sub>3</sub> additions. *Ceramics International*, 2005. 31(5): p. 749-755.
- [10] Gomez, E., Echeberria, J., Iturriza, I., & Castro, F., Liquid phase sintering of SiC with additions of Y<sub>2</sub>O<sub>3</sub>, Al<sub>2</sub>O<sub>3</sub> and SiO<sub>2</sub>. *Journal of the European Ceramic Society*, 2004. 24(9): p. 2895-2903.
- [11] Liang, H., Yao, X., Zhang, H., Liu, X., & Huang, Z., In situ toughening of pressureless liquid phase sintered  $\alpha$ -SiC by using  $\text{TiO}_2$ . *Ceramics International*, 2014. 40(7): p. 10699-10704.
- [12] Bucevac, D., Matovic, B., Boskovic, S., Zec, S., & Krstic, V., Pressureless sintering of internally synthesized SiC-TiB<sub>2</sub> composites with improved fracture strength. *Journal of Alloys and Compounds*, 2011. 509(3): p. 990-996.
- [13] Tani, T., Processing, microstructure and properties of in-situ reinforced SiC matrix composites. Composites Part A: Applied Science and Manufacturing, 1999. 30(4): p. 419-423.
- [14] Lee, S.-H., Guo, S., Tanaka, H., Kurashima, K., Nishimura, T., & Kagawa, Y., Thermal decomposition, densification and mechanical properties of AlN-SiC (-TiB<sub>2</sub>) systems with and without B, B<sub>4</sub>C and C additives. *Journal of the European Ceramic Society*, 2008. 28(8): p. 1715-1722.
- [15] Ahmoye, D. and V.D. Krstic, Reaction sintering of SiC composites with in situ converted  $\text{TiO}_2$  to TiC. *Journal of materials science*, 2015. 50(7): p. 2806-2812.
- [16] Marchi, J., J.C. Bressiani, and A.H.A. Bressiani, Sintering of silicon carbide ceramics with additives based on the (Y<sub>2</sub>O<sub>3</sub>-Al<sub>2</sub>O<sub>3</sub>-SiO<sub>2</sub>) system. in *Advances in Science and Technology*. 2006. Trans Tech Publ.
- [17] Ihle, J., M. Herrmann, and J. Adler, Phase formation in porous liquid phase sintered silicon carbide: Part I: Interaction between Al<sub>2</sub>O<sub>3</sub> and SiC. *Journal of the European Ceramic Society*, 2005. 25(7): p. 987-995.
- [18] Hofmann, H.J.D.a., nonmaterial Swiss Federal Institute of Technology. 1996-2003.
- [19] Liang, H., Yao, X., Huang, Z., Zeng, Y., & Su, B., Thermal shock behavior of pressureless liquid phase sintered SiC ceramics. *Ceramics International*, 2016. 42(7): p. 8677-8683.
- [20] Kim, Y.-W., S.-G. Lee, and Y.-I. Lee, Pressureless sintering of SiC-TiC composites with improved fracture toughness. *Journal of materials science*, 2000. 35(22): p. 5569-5574.



مهندس پوریا متولیان،  
نویسنده اول مقاله، دانشکده  
مهندسی مواد و متالورژی،  
دانشگاه سمنان

pourya.motavallian@semnan.ac.ir

## بررسی روش‌های سنتز و خواص نانوذرات $\text{Li}_4\text{Ti}_5\text{O}_{12}$ (LTO)

پوریا متولیان<sup>۱\*</sup>، بهزاد آشت<sup>۲</sup>

<sup>۱</sup> دانشکده مهندسی مواد و متالورژی، دانشگاه سمنان، سمنان، ایران

<sup>۲</sup> پژوهشکده رانشگرهای فضایی، پژوهشگاه فضایی ایران، تبریز، ایران

**چکیده:** باتری‌های یون لیتیوم (LIB) از دستاوردهای موفق الکتروشیمی مواد نوین با مزایایی همچون نداشتن اثر حافظه، ولتاژ سلولی بالا و چگالی انرژی و توان بالاست. باتری‌های یون لیتیوم کاربردهای وسیعی به عنوان منبع پودری برای گوشی‌های الکترونیک و تجهیزات ارتباطی دوربرد دارند. با این حال، نرخ توانایی کم کاربردهای آن را در وسائل الکترونیک، رسانه‌های الکترونیکی هیبریدی و سلول‌های خورشیدی فتوولتائیک محدود می‌کند. در باتری‌های یون لیتیوم قابل شارژ، در حین شارژ/دشارژ، یون‌های لیتیوم میان آند و کاتد به حرکت درمی‌آیند. اما با کوچک‌تر شدن باتری‌ها و نیاز به افزایش سرعت آن‌ها، باید اصلاحاتی در ساختار این باتری‌ها صورت پذیرد. نانو ساختارهای تیتانات لیتیوم ( $\text{Li}_4\text{Ti}_5\text{O}_{12}$ ) به دلیل توانایی انجام واکنش‌های چرخه‌ای و پایداری بالا از گزینه‌های مناسب برای ساخت آند در این باتری‌هاست. ازین‌رو اخیراً پژوهش‌های وسیعی در حوزه روش‌های تولید و سنتز این نانوذرات انجام شده است. در پژوهش حاضر نیز به بررسی آخرین روش‌های سنتز و ویژگی‌های نانوذرات  $\text{Li}_4\text{Ti}_5\text{O}_{12}$  (LTO) برای تولید و شناسایی مطلوب‌تر این نوع از مواد مهم و پرکاربرد در صنعت پرداخته‌ایم.

**کلمات کلیدی:** نانوذرات، سنتز،  $\text{Li}_4\text{Ti}_5\text{O}_{12}$ .

### ۱- مقدمه

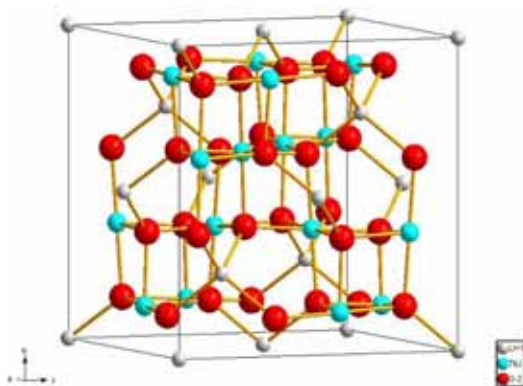
در پژوهش‌های اخیر نانو ساختارهای تیتانات لیتیوم،  $\text{Li}_4\text{Ti}_5\text{O}_{12}$  (LTO)، جایگزین پایدار گرافیت در آند باتری‌های یون لیتیوم<sup>۱</sup> با ویژگی‌های اینمی بالایی معرفی شده‌اند. یون‌های Li به داخل شبکه LTO نفوذ و جاهای خالی اکتاکدراال (۸ وجهی) را پر می‌کنند. این پر و خالی شدن به دلیل تغییرات حجمی، تحرکی به ماده میزان تحمل نمی‌کند، این مزیت در آند بسیار قابل توجه می‌باشد. همچنین پتانسیل الکتروشیمیایی نسبتاً بالای LTO برای جایدهی Li (حدود ۱/۵۵۷ آن را نسبت به الکتروولیت آلی خنثی کرده است. LTO در مقایسه با گرافیت، اساساً آند این‌تری است که دارای کمترین افت ظرفیت غیرقابل برگشت در دوره مصرف است. علیرغم این مزايا، LTO به دلیل ساختار بلوری خاص و نوار منوعه الکترونیکی بزرگ (۲-۳eV) محدودیت‌هایی نیز دارد، از جمله این‌که در قیاس با گرافیت ظرفیت تئوری کمتر (۱۷۵mAh/g) نسبت به (۳۷۲mAh/g) و یون لیتیوم و هدایت الکتریکی پایین‌تری دارد. این مقادیر به ترتیب برای لیتیوم ( $3 \times 10^{-8} \text{ S/cm}$  و  $10^{-13} \text{ S/cm}$  در  $270^\circ\text{C}$ ) و برای گرافیت ( $10^{-4} \text{ S/cm}$  و  $10^{-6} \text{ S/cm}$  در  $270^\circ\text{C}$ ) است. با این حال در خودروهای الکتریکی، نانو ساختار LTO توجهات فراوانی به خود معطوف نموده است. به‌منظور افزایش خواص الکتروشیمیایی LTO فناوری نانو در سه بخش استفاده شده است: ۱- استفاده از نانو ساختارهای LTO ۲- پوشش سطح ذرات LTO ۳- اختلاط نانو ساختارهای LTO در ماتریسی از مواد رسانا. استفاده از نانو ساختارهای LTO آند مسیر نفوذ یون لیتیوم در ذرات را بسیار کوتاه می‌کند و همچنین مساحت فعال الکترود در مجاورت الکتروولیت را افزایش می‌دهد. هر دو مورد جهت رسیدن به جریان کاری بالا مفید می‌باشند [۱]. به‌این‌ترتیب، چالش برای ایجاد یک روش مؤثر و منظم برای سنتز نانو ساختارهای

<sup>۱</sup> Lithium ion battery

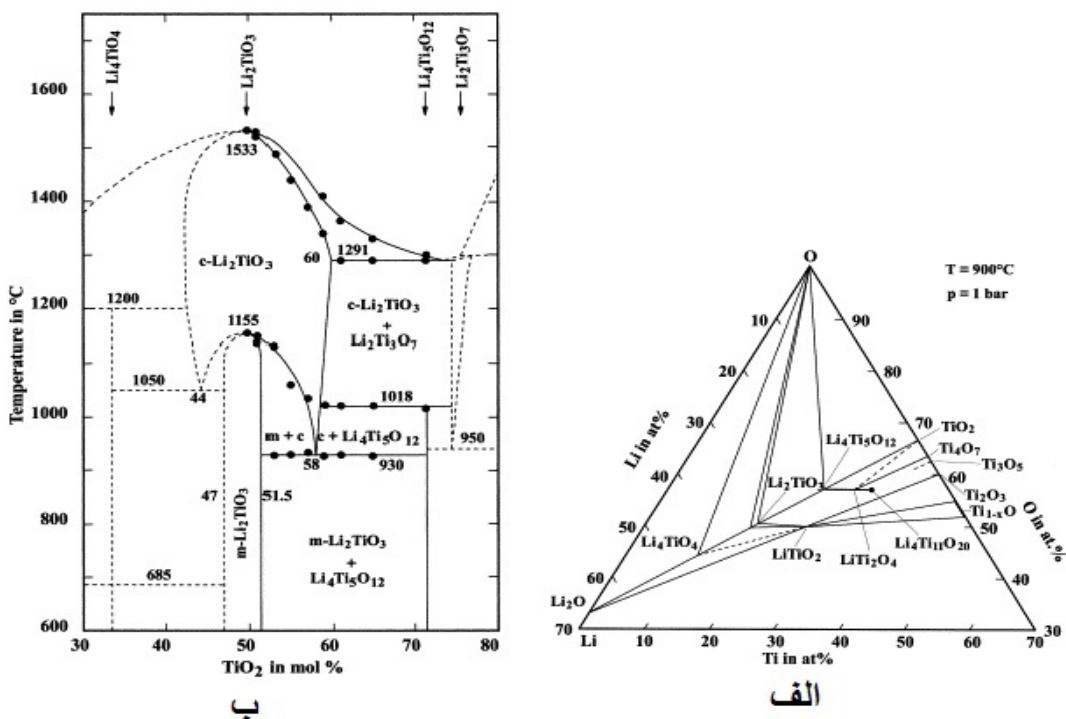
$\text{Li}_4\text{Ti}_5\text{O}_{12}$  با کریستالین بالا از اهمیت زیادی برخوردار است. در سال‌های اخیر تلاش‌های فراوانی برای طراحی نانوساختارهای کارا (نانوسيم‌ها، نانوگل‌ها) با ایجاد روش‌های جدید سنتز یا بهینه‌سازی روش‌های موجود (واکنش‌های حالت‌جامد، سنتز سولووترمال، سنتز نمک مذاب) صورت پذیرفته است. این رویکردهای سنتز معمولاً با دوپه کردن یون‌های چند ظرفیتی برای افزایش رسانایی الکترونیکی LTO همراه شده‌اند. در ادامه به معرفی اسپینل LTO می‌پردازیم.

## ۲- معرفی اسپینل $\text{Li}_4\text{Ti}_5\text{O}_{12}$

16d مطابق شکل ۱ یک ساختار اسپینلی با گروه فضایی  $\text{Fd}\bar{3}m$  دارد. در LTO تمام مکان‌های تتراهدرال 16d توسط Li و Ti به نسبت اتمی ۱:۵ در آرایش مکعبی اکسیژن به اشتراک گذاشته است. LTO را می‌توان به صورت  $[\text{Li}_3]_{8a}[\text{Ti}_5\text{Li}]_{16d}[\text{O}_{12}]_{32e}$  مشخص نمود که نشان می‌دهد یون‌های Li هر دو مکان تتراهدرال (اشغال مکان‌های ۸a) و اکتاهدرال (اشغال مکان‌های 16d) اکسیژن را در برگرفته‌اند. یکی دیگر از مشاهدات جالب این است که چرخش Li با تغییرات بسیار کمی در پارامتر شبکه‌ای مکعب انجام می‌شود، به عبارتی پارامتر شبکه برای LTO،  $a=8/3595\text{Å}$  می‌باشد. در قیاس با حالت بالک نانوذره LTO ظرفیت برگشتی را بهبود داده است [۲].



شکل ۱- ساختار بلوری  $\text{Li}_4\text{Ti}_5\text{O}_{12}$  {Li (خاکستری)، Ti/Li (سبز)، O (قرمز)} [۲]



شکل ۲- (الف) دیاگرام سه‌تایی Li-Ti-O (ب) نمودار فازی سیستم  $\text{Li}_2\text{O}-\text{TiO}_2$  [۳]

کلیکامپ<sup>۱</sup> و همکاران [۳] موفق به طراحی دیاگرام فازی  $\text{Li}_2\text{O}$  و  $\text{TiO}_2$  در دمای  $1600^{\circ}\text{C}$  شدند. این دیاگرام‌ها در شکل ۲ آورده شده‌اند. سیستم شبیه دوتایی  $\text{Li}_2\text{O}-\text{TiO}_2$  شامل ۴ ترکیب اکسیدی سه‌تایی  $\text{Li}_4\text{TiO}_4$ ,  $\text{Li}_4\text{Ti}_5\text{O}_{12}$ ,  $\text{Li}_2\text{TiO}_3$  و فاز دما بالای  $\text{Li}_2\text{Ti}_3\text{O}_7$  می‌باشد. فاز  $\text{Li}_4\text{Ti}_5\text{O}_{12}$  در زیر دمای  $930^{\circ}\text{C}$  به عنوان فاز ثانویه تشکیل می‌شود. مشخص شد که اسپینل  $\text{Li}_4\text{Ti}_5\text{O}_{12}$  بین فازهای  $\text{TiO}_2$  و  $\text{Li}_2\text{TiO}_3$  قرار گرفته و تا دمای  $1018^{\circ}\text{C}$  پایدار است. این دو فاز ناخالصی‌های بارزی هستند که پس از آنیل اولیه پیش‌ماده‌ها به شکل اسپینل یافت می‌شوند. اختلاط و آنیل مرحله بعد این ناخالصی‌ها را کاهش می‌دهد.

### ۳- روش‌های سنتز ( $\text{LTO}$ ) $\text{Li}_4\text{Ti}_5\text{O}_{12}$

روش‌های گوناگونی برای سنتز تیتانات لیتیوم، شامل روش حالت جامد<sup>۶</sup>, روش هیدروترمال<sup>۷</sup>, اسپری پیرولیز<sup>۸</sup>, فرآیند امولسیون<sup>۹</sup>, زینتر دومرحله‌ای<sup>۱۰</sup>, روش سونوژیمیایی<sup>۱۱</sup> [۳۵], فرآیند اسپری داریگ<sup>۱۲</sup> [۳۶] و... می‌باشد.

#### ۳-۱- زینتر دومرحله‌ای

سنتز نانوذرات ( $\text{LTO}$ ) با کمک  $\text{CH}_3\text{COOLi}\cdot 2\text{H}_2\text{O}$  به عنوان منبع  $\text{Li}$  و آناتاز  $\text{TiO}_2$  نیز به عنوان منبع  $\text{Ti}$  انجام شد. در مرحله اول سنتز  $\text{CH}_3\text{COOLi}\cdot 2\text{H}_2\text{O}$  و  $\text{TiO}_2$  با نسبت  $\text{Li}:\text{Ti} = 4:5$  توسط بالمیل مخلوط شدند. پودر مخلوط شده در دماهای  $450^{\circ}\text{C}$  و  $550^{\circ}\text{C}$  با  $10^{\circ}\text{C}/\text{min}$  به مدت ۱ ساعت جهت تشکیل پیش‌ماده زینتر اولیه شدند. به علاوه، پیش‌ماده توسط بالمیل برای ۱ ساعت مخلوط شد و در دماهای  $700^{\circ}\text{C}$  و  $750^{\circ}\text{C}$  با  $10^{\circ}\text{C}/\text{min}$  به مدت ۱ ساعت جهت تشکیل نانوذرات  $\text{LTO}$  تحت زینتر مرحله دوم قرار گرفت [۴].

#### ۳-۲- روش حالت جامد

لی<sup>۹</sup> و همکاران [۵] سیستم واکنشی میکروویو مورد استفاده را برای تهیه نانوذرات  $\text{Li}_4\text{Ti}_5\text{O}_{12}$  ( $\text{LTO}$ ) ارائه دادند. مواد اولیه از  $\text{Li}_2\text{CO}_3$  و آناتاز  $\text{TiO}_2$  کاملاً با کمک هاون عقیق مطابق با نسبت‌های استوکیومتری مشخص باهم مخلوط شدند. از آنجایی که  $\text{Li}_2\text{CO}_3$  و  $\text{TiO}_2$  به مقدار کمی از میکروویو را جذب می‌کنند در دمای نسبتاً پایین، سیستم بوته دوگانه برای رسیدن به دمای بالای موردنیاز در واکنش حالت جامد به کار گرفته شد در حالی که زغال سنگ به عنوان حرارت دهنده میانی بین دو بوته چینی مورد استفاده قرار گرفت. سیستم واکنشی میکروویو در مرکز صفحه چرخان یک آون میکروویو با تابش  $500-700\text{W}$  برای  $10-15$  دقیقه قرار گرفت.

پودرهای  $\text{Li}_4\text{Ti}_5\text{O}_{12}$  با واکنش حالت جامد نمک‌های  $\text{Li}$  و  $\text{Ti}$  در  $700-1000^{\circ}\text{C}$  سنتز شده‌اند [۶]. به طور کلی،  $\text{TiO}_2$  به عنوان منبع  $\text{Ti}$  و  $\text{LiOH}$  یا  $\text{Li}_2\text{CO}_3$  برای نمک تیتانیوم استفاده شده است. گاهی اوقات، حلال (مانند اتانول) به عنوان پاشنده برای ایجاد محیطی بهتر برای همگنی ترکیب مواد اولیه استفاده می‌گردد. برای مثال، مقدار استوکیومتری از  $\text{TiO}_2$  و  $\text{LiOH}\cdot \text{H}_2\text{O}$  در ابتدا برای همگنی بیشتر در یکدیگر پخش و هم زده شده است. سپس، بعد از حذف حلال، در دمای  $800^{\circ}\text{C}$  برای مدت ۲۴ ساعت در اتمسفر اکسیژن حرارت داده شدند [۷]. کاتائوکا<sup>۱۰</sup> و همکاران [۸]  $\text{TiO}_2$  و  $\text{LiCO}_3$  را به عنوان مواد شروع کننده به کار گرفتند، که در اتمسفر هوا در دمای  $600^{\circ}\text{C}$  برای ۱۲ ساعت حرارت داده شدند و پس از آن در دمای  $850^{\circ}\text{C}$  به مدت ۲۴ ساعت تحت آنیل قرار گرفتند. هونگ<sup>۱۱</sup> و همکاران [۹] نیز  $\text{Li}_2\text{CO}_3$  و  $\text{TiO}_2$  را با آب دیونیزه شده پس از افزودن  $2\%$  وزنی نمک آمونیوم به عنوان پاشنده باهم مخلوط کردند. پودرهای مخلوطی تحت

<sup>1</sup> Kleykamp

<sup>2</sup> Solidstate method

<sup>3</sup> Hydrothermal

<sup>4</sup> Spray pyrolysis

<sup>5</sup> Emulsion process

<sup>6</sup> Two steps sintering

<sup>7</sup> Sonochemical method

<sup>8</sup> Spray drying process

<sup>9</sup> Li

<sup>10</sup> Kataoka

<sup>11</sup> Hong

آسیاکاری انرژی بالا برای ۳ ساعت با سرعت چرخش  $3000\text{ rpm}$  با  $\text{ZrO}_2$  گرفتند. پودر خشک شده در نهایت در دماهای  $800^\circ\text{C}$  برای مدت ۳ ساعت در اتمسفر هوا جهت تولید نانوذرات LTO کلسینه شدند.

روش نمک مذاب یک روش حالت‌جامد اصلاح‌شده توسط نمک‌های احیاگر همانند  $\text{LiCl}$ ،  $\text{NaCl}$  و  $\text{KCl}$  در سیستم روش حالت‌جامد مرسوم است. نسبت مولی از مواد اولیه  $\text{LiOH} \cdot \text{H}_2\text{O} : \text{TiO}_2 : \text{LiCl} = 4 : 5 : 10^4$  ثبت شدند. پودر مخلوط شده در دمای  $800^\circ\text{C}$  برای مدت ۸ ساعت کلسینه و پودرهای حاصله کاملاً با آب مقطر برای حذف نمک‌های مذاب رسوبی شسته شدند. به طوری که برای نمک مذاب تکفار همانند  $\text{LiCl}$  یا  $\text{KCl}$ ، نقطه ذوب در محدوده  $789^\circ\text{C}$  تا  $126^\circ\text{C}$  می‌باشد. درحالی که کامپوزیت  $\text{LiCl} \cdot \text{KCl}$  توانایی کاهش نقطه ذوب را دارد پس، محیط واکنش مایع به‌آسانی بهبود می‌یابد که می‌تواند به نفوذ مواد اولیه و بهبود تشکیل کریستال منجر شود [۱۰].

### ۳-۳- فرآیند سل-ژل

فرآیند سل-ژل روشهای مطلوب برای تولید نانوذرات LTO می‌باشد. این روش مزایایی همچون موفولوژی و همگنی مناسب و معایی مثل دشوار بودن کنترل شرایط سنتز در مقدار بالای حلال‌ها و مواد آلی (ممانعت از استفاده در ذخیره انرژی) و نیز دمای کلسیناسیون بالا،  $800^\circ\text{C}$  تا  $900^\circ\text{C}$ ، به دنبال آن رشد ذرات را دارد [۱۱ و ۱۲].

برای ایجاد به نانوذرات LTO با کارایی الکتریکی و ذخیره انرژی خوب، پژوهش‌های زیادی جهت بازدهی بهتر این فرآیند انجام گرفته است. طبق گزارشی یک روش جدید سل-ژل، که ظرفیت دشارژ مناسب را نشان می‌دهد [۱۳]. طبق گزارش آن‌ها، در این روش زمانی که نسبت مولی از سیتریک اسید به کل یون‌های فلزی  $1/2$  می‌باشد، LTO ظرفیت دشارژ اولیه  $177\text{ mAh/g}$  در  $33.5\text{ mA/g}$  و ثانویه  $162\text{ mAh/g}$  را نشان می‌دهد [۱۴]. اکسالیک اسید<sup>۱</sup> کمک به پیش‌روی فرآیند سل-ژل برای سنتز نانوذرات LTO می‌کند، که کم شدن مقدار ظرفیت دشارژ تحت شرایط سنتزی ایده‌آل در دمای  $700^\circ\text{C}$  برای مدت ۲۴ ساعت را نشان داد درحالی که نسبت اکسالیک اسید به تیتانیوم یک می‌باشد. کیم<sup>۲</sup> و همکاران [۱۵] سنتز LTO را با روش سل-ژلی با آسیاکاری انرژی بالای (HEBM) پیش‌ماده‌های مدنظر گزارش کردند. آسیاکاری LTO ظرفیت  $182\text{ mAh/g}$  و چرخه‌پذیری مطلوب را ارائه می‌دهد.

الیاس<sup>۳</sup> و همکاران [۱۶] از لیتیوم باتوکسید<sup>۴</sup> و تیتانیم ایزوپروتوکسید<sup>۵</sup> به عنوان مواد شروع‌کننده استفاده و در اتانول با هم مخلوط کردند، باقی‌مانده (ته‌نشین) حاصله در نهایت در محدوده دمایی  $700^\circ\text{C}$  تا  $1000^\circ\text{C}$  برای مدت ۴-۵ ساعت برای رسیدن به نانوذرات LTO زینتر شدند. خومان<sup>۶</sup> و همکاران [۱۷] از سورفاکtant کاتیونی هگزادیدیل تریمتیل آمونیوم برومید<sup>۷</sup> (CTAB) برای کنترل رشد بلور LTO استفاده کردند. در یک فرآیند معمولی، CTAB در  $100\text{ ml}$  اتانول تحت همزن مغناطیسی حل می‌شود. ۴ گرم از لیتیوم استات‌دی‌هیدرات<sup>۸</sup> در محلول بالا با همزن مغناطیسی مداوم حل شد. تیتانیوم (IV) ایزوپروپکساید به محلول مدنظر به صورت قطره‌ای با حفظ نسبت مولی  $\text{Li} : \text{Ti} = 1 : 1/25$  افزوده شد. دمای محلول تا  $90^\circ\text{C}$  افزایش یافت و به طور پیوسته برای تشکیل ژل هم زده شد. ژل حاصله در دمای  $100^\circ\text{C}$  به مدت ۲۴ ساعت در اتمسفر هوا قرار داده و پیش‌ماده در دمای  $400^\circ\text{C}$  برای ۴ ساعت تجزیه شد و به دنبال آن در دمای  $800^\circ\text{C}$  برای ۱۲ ساعت تحت کلسیناسیون جهت دستیابی به نانوذرات LTO قرار گرفت.

<sup>1</sup> Oxalic acid

<sup>2</sup> Kim

<sup>3</sup> High energy ball milling

<sup>4</sup> Alias

<sup>5</sup> Lithium tert-butoxide

<sup>6</sup> Titanium isopropoxide

<sup>7</sup> Khomane

<sup>8</sup> Hexadecyl trimethyl ammonium bromide

<sup>9</sup> Lithium acetate dihydrate

### ۴-۳- روش هیدروترمال

چن<sup>۱</sup> و همکاران [۱۸] روش هیدروترمال را برای تهیه نانوذرات LTO با استفاده از تترا ایزوپروپکساید تیتانیم و LiOH به عنوان مواد شروع کننده واکنش گزارش کرده‌اند. از آب اکسیژنه نیز برای کنترل مورفولوژی LTO استفاده شد. معمولاً ۱ml از آب اکسیژنه ۳۰٪ در ۲۰ml LiOH ۰/۴M پخش، به دنبال آن ۲mmol تترا ایزوپروپکساید تیتانیم نیز افزوده می‌شود. محلول به اتوکلاو منتقل و در دمای ۱۳۰°C به مدت ۱۲ ساعت قرار داده شد. رسوب سفیدرنگ حاصله با سانتریفیوژ احیا و بهبود یافت، با آب دیونیزه کاملاً شسته و پس از در آون (خشک کن) ۸۰°C خشک شد. درنهایت، نمونه‌های تهیه شده در دمای ۵۵۰°C به مدت ۶ ساعت در اتمسفر هوا به منظور ایجاد نانوساختارهای LTO کلسینه شدند.

لای<sup>۲</sup> و همکاران [۱۹] از روش هیدروترمال به منظور سنتز نانوذرات LTO بهره برده‌اند. آن‌ها از TiOSO<sub>4</sub> و LiOH·H<sub>2</sub>O به عنوان مواد اولیه آزمایش و آب نیز به عنوان حلال با مقدار مخصوصی از اوره برای انجام واکنش استفاده کردند. پس از اختلاط کامل مواد شروع کننده واکنش در آب حاوی اوره، محلول حاصل به اتوکلاو منتقل و در دمای ۱۹۰°C برای ۲۴ ساعت حرارت داده شد. رسوب مدنظر جمع آوری آوریا و سپس به منظور تشکیل نانوذرات LTO در دمای ۵۵۰°C برای ۲ ساعت در اتمسفر آرگون کلسینه شدند.

### ۴-۴- فرآیند اسپری پیرولیز

این روش برای تولید مستقیم پودرهای سرامیکی از محلول‌ها مورد توجه قرار گرفته است. جو<sup>۳</sup> و همکاران [۲۰] برای تهیه نانوذرات LTO، محلول پیش‌ماده با اتحلال مقدار استوکیومتری از نیترات لیتیوم و تترا ایزوپروپکساید تیتانیم در آب مقطر آماده شد. پودرهای تهیه شده با اسپری پیرولیز در دمای ۵۵۰°C به مدت ۱۲ ساعت در کوره با اتمسفر هوا پیش‌گرم شدند. در مرحله پایانی نیز پودر مدنظر برای ایجاد ساختار نانو در کوره ۷۵۰°C به مدت ۵ ساعت قرار داده شد.

### ۴-۵- روش احتراق محلولی

پراکاش<sup>۴</sup> و همکاران [۲۱] سنتز احتراق محلولی نانوپودرهای LTO را با استفاده از نیترات تیتانیل (TiO(NO<sub>3</sub>)<sub>2</sub>) و LiNO<sub>3</sub> به عنوان LiNO<sub>3</sub> ماده‌های اکسیدی و گلیسین به عنوان سوخت را گزارش کرده‌اند. یک مخلوط که حاوی مقدار استوکیومتری نیترات تیتانیل (۰/۰۳۸۲mol)، ۲ گرم از گلیسین (۰/۰۵۷۱mol) و ۴/۱۶ گرم از LiNO<sub>3</sub> (۰/۰۲۵۶mol) در ۱۱۰ml آلومنیای مایع می‌باشد را در کوره با دمای پیش‌گرم ۸۵۰°C قرار داده شد. این واکنش در چند ثانیه انجام شد و نانوپودرهای LTO حاصل گردید.

پراکاش و همکاران همچنین سنتز نانوذرات LTO تکفار مکعبی را توسط روش احتراق محلولی گزارش کرده‌اند. نانوذرات LTO سنتز شده برقکی و با تخلخل بالا و ناحیه سطحی ۱۲m<sup>2</sup>·g<sup>-۱</sup> بودند. تصاویر TEM ذرات اولیه را به صورت کریستالی آگلومره شده با اندازه ذرات مختلف بین ۲۰-۵۰nm LTO تهیه شده توسط روش احتراقی در مواردی همانند حافظه ظرفیتی در مقایسه با روش حالت جامد برتر است، که این نیز می‌تواند مربوط به کریستالیته بالا و اندازه ذرات نانوی LTO باشد [۲۱].

راجا<sup>۵</sup> و همکاران [۲۲] فرآیند احتراقی آبی را با کمک آنالین آمینواسید<sup>۶</sup> به عنوان سوخت برای سنتز نانوذرات Li<sub>4</sub>Ti<sub>5</sub>O<sub>12</sub> گزارش کرده‌اند، که یک مورفولوژی یکواخت با متوسط اندازه ذرات در محدوده ۴۰-۸۰nm و باند گپ نوری در حدود ۱/۸۰eV را نشان داد. یوآن و همکاران [۲۳] فرآیند احتراقی گلیسین-نیترات را برای آماده‌سازی اسپینل Li<sub>4</sub>Ti<sub>5</sub>O<sub>12</sub> ارائه کردند. LTO کلسینه شده در دمای ۷۰۰°C بهترین عملکرد الکتروشیمیایی را نشان داد، که به ظرفیت/g ۱۲۵mAh با کارایی چرخه‌ای پایدار حتی در ۴۰°C رسید. سینتیک واکنش سطحی LTO به طور قابل توجهی با افزایش رسانای الکترونیکی آن توسط این روش بهبود یافت. در جدول ۱ خواصی مثل اندازه ذرات LTO با روش‌های سنتزی مختلف بیان شده است.

<sup>1</sup> Chen

<sup>2</sup> Lai

<sup>3</sup> Ju

<sup>4</sup> Prakash

<sup>5</sup> Raja

<sup>6</sup> Amino acid alanine

جدول ۱- خواص ظاهری نانوذرات  $\text{Li}_4\text{Ti}_5\text{O}_{12}$  سنتز شده با روش‌های مختلف

	روش‌ها	اندازه ذرات (nm)	شكل ظاهری	مرجع
[۲۶]	حالات جامد	۷۰	کروی	
[۲۷]	سل-ژل	۹۰-۱۳۶	نانوذره	
[۲۵]	ریفلакс	۵-۴۰۰	کروی	
[۲۸]	عملیات حرارتی	۶-۱۱	نانوتیوب	
[۲۹]	هیدروترمال	۲۰	کروی	
[۳۰]	الکترواسپینینگ	۲۳۰-۲۷۰	نانوفیبر	
[۲۲]	احترافی	۴۰-۸۰	ذرات کروی	
[۳۱]	اسپری پیرولیز	۹۸۰	کروی	

### ۷-۳- سایر روش‌های سنتز LTO

لی و همکاران [۲۴] از روش سونوژیمیایی برای سنتز ذرات LTO بهره برند. آن‌ها از پیش‌ماده‌های  $\text{LiOH}$  و  $\text{TiO}_2$  مخلوط شده در الكل برای انجام واکنش سونوژیمیایی به مدت ۲۰ دقیقه در دمای اتاق استفاده کردند. ذرات  $\text{LiOH}$  پوشش داده شده بر روی نانوذرات  $\text{TiO}_2$  را در دمای  $50^{\circ}\text{C}$  برای ۱ ساعت جهت تشکیل نانوذرات LTO کلسینه کردند.

کیم و همکاران [۲۵] روش ریفلакс را برای تهیه نانوذرات LTO ( $6-8\text{ nm}$ ) را گزارش کردند، که از محلول اتیلن گلیکول از تترا ایزوپروپکساید تیتانیوم و  $\text{Li}_2\text{O}_2$  با ریفلакс در دمای  $197^{\circ}\text{C}$  برای ۱۲ ساعت تهیه شده است. ذرات حاصله صاف شده و در دمای  $100^{\circ}\text{C}$  برای ۱۲ ساعت خشک شدند، به عنوان یک مرحله بعد از واکنش، نمونه‌های پودری خشک شده حرارت بیشتری دیدند. حرارت دهی در دمای  $50^{\circ}\text{C}$  برای ۳ ساعت، نانوذرات حاصله LTO ظرفیت اولیه  $320\text{ mAh/g}$  با دانسیته  $0.5\text{ mA.cm}^{-2}$  را نشان دادند.

### ۴- خواص فیزیکی و شیمیایی نانوذرات LTO

اسپینل  $\text{Li}_4\text{Ti}_5\text{O}_{12}$  مزایایی همانند مکمل عالی یون لیتیوم و برگشت‌پذیری استخراج، تغییر حجمی و ساختاری ناچیز در طی فرآیند شارژ و دشارژ دارد که این نوع اسپینل را در زمرة مواد بدون کرنش طبقه‌بندی می‌کنند. فیلم رابط الکتروولیت جامد (SEI) اغلب در پتانسیل زیر  $-0.87\text{ V}$  در برابر  $\text{Li}^{+}/\text{Li}$  تشکیل می‌شود، پتانسیل LTO بسیار بالاتر از پتانسیل احیایی بیشتر الکتروولیت‌های آلی می‌باشد، که لیتیوم فعال را مصرف می‌کند و منجر به کاهش ظرفیت ویژه می‌شود. همچنین  $\text{Li}_4\text{Ti}_5\text{O}_{12}$  دارای عملکرد پایدار حرارتی نسبت به گرافیت طبیعی، به ویژه در حدود  $230^{\circ}\text{C}$  است. یکی از جنبه‌هایی که باید اشاره کرده LTO رسانایی الکتریکی کمی دارد، که منجر به ظرفیت ویژه پایین و قابلیت ضعیف در نرخ بالا می‌شود. سیکل پذیری و سرعت چرخش بالا، پایداری حرارتی، ارزان بودن، ایمنی و روش تهیه ساده LTO آن را به ماده‌ای ایده‌آل به عنوان آند برای باتری‌های یون لیتیوم تبدیل نموده است [۳۲]. جزئیات بیشتری در مورد خواص و محلول برای بهبود رسانایی الکتریکی LTO در جدول ۲ آورده شده است.

به دلیل وجود مکان‌های خالی اکتاکتدرال در شبکه LTO، یک رسانای یون لیتیوم خوب می‌باشد. به کارگیری به عنوان آند، اسپینل LTO می‌تواند زوجی را با کاتدهای ولتاژ بالا همانند  $\text{LiMn}_2\text{O}_4$ ،  $\text{LiCoO}_2$ ،  $\text{LiNiO}_2$  و  $\text{LiFePO}_4$  برای تولید باتری یون لیتیوم تشکیل دهد. در مقایسه با همتایان خود به عنوان آند، اسپینل LTO ارزان‌تر و ساده‌تر از سایر موادی است که بر پایه آلیاژ ساخته شده‌اند و خواص الکتروژیمیایی بهتر و ایمنی بالاتر نسبت به آند کربن‌دار در باتری‌های یون لیتیوم دارد [۳۳].

جدول ۲-مزایا و معایب منتج شده از نانوذرات  $\text{Li}_4\text{Ti}_5\text{O}_{12}$ 

مزایا	معایب	خواص دیگر
• ارزان، ایمن و آماده‌سازی آسان، ظرفیت پذیری بالا	• رسانایی الکترونیکی پایین • عملکرد ضعیف در نرخ بالا	• یک آرایش مکعبی بسته از اکسیژن. ضریب نفوذ یون Li در حدود $6 \text{ cm}^2 \cdot \text{s}^{-1}$
• موبایلیتی یون لیتیوم خوب، دوستار محیط • موبایلیتی بالاتر از گرافیت	• دستیابی دشوار به پوشش سطحی کامل و اختلاط مطلوب	• ظرفیت ویژه تئوری $175 \text{ mAh/g}$ ظرفیت ویژه ذرهای $150-160 \text{ mAh/g}$
• تنوع ساختاری جزئی، پارامتر شبکه بین در مقایسه با دیگر مواد آندي مثل گرافیت	• تحمل ظرفیت برگشت‌پذیری نسبتاً کم	• دانسیته انرژی $270 \text{ Wh kg}^{-1}$ در یک سلول فلزی Li
• مکمل یون لیتیوم خوب و برگشت‌پذیری استخراج، پایداری ساختاری مطلوب	• رسانایی الکتریکی زیر $10^{-13} \text{ Scm}^{-1}$	• رسانایی الکتریکی زیر $10^{-13} \text{ Scm}^{-1}$ در دماي اتاق
• عملکرد دمبالای پایدار حتى در $60^\circ\text{C}$ و میزان دشارژ بالا در $10^\circ\text{C}$	• بازده کولمبیک بالا (بیشتر از ۹۵٪ در $10^\circ\text{C}$ )	• بازده کولمبیک بالا (بیشتر از ۹۵٪ در $10^\circ\text{C}$ )
• تجزیه الکتروولیت کم، مواد اولیه ارزان		

## ۵-نتیجه‌گیری

با توجه به نیاز اساسی و اهمیت کاربرد نانوذرات در بیشتر صنایع، مطالعات و پژوهش‌های وسیعی برای بهبود عملکرد، بازدهی و ساخت آن‌ها صورت گرفته است. نتایج حاصل شده در این رابطه حاکی از آن است که نانو ذرات سنتزی به دلیل ویژگی‌هایی همچون راحت و سریع بودن پروسه ساخت، هزینه پایین، پایداری مطلوب در شرایط مدنظر و... به عنوان یکی از پرکاربردترین انواع روش‌های تولید نانوذرات به شمار می‌آید. گرافیت به طور گسترده در باتری یون لیتیوم به عنوان مواد آنده استفاده می‌شود. با این حال، به دلیل مسائل زیستمحیطی و ایمنی،  $\text{Li}_4\text{Ti}_5\text{O}_{12}$  (LTO) بهترین گزینه برای جانشینی مواد گرافیتی به خاطر پایداری و ثبات شیمیایی است. روش‌های مختلف سنتز نانوذرات برای آماده‌سازی LTO وجود دارد اما روش سل-ژل تکنیکی تطبیق‌پذیر و بهتری برای رسیدن به ذرات ریزتر و همگنی بیشتر می‌باشد. درنتیجه روش سنتزی برای تولید نانوذرات LTO موردنیاز است که ساختاری تکفار، توزیع اندازه ذرات ریز و کریستالیته بالا به منظور افزایش عملکرد در باتری‌ها را ارائه نماید. دو په کردن با کاتیون‌ها و آنیون‌های مناسب می‌تواند رسانایی مواد را بهبود بخشد و به موجب آن قابلیت و توانایی نانوذرات LTO ارتقا می‌یابد. سلول‌های یون لیتیوم با آنده LTO ویژگی‌های مطلوبی برای کاربردهایی در فناوری وسایل نقلیه موتوری دارد که به طور گسترده در حال کشف هستند.

## مراجع

- [1] Lu, Jun, Nature Nanotechnology, 12, 1031-1038, (2016).
- [2] Yi, T. F., Yang, S. Y., & Xie, Y. Journal of Materials Chemistry A, 3(11), 5750-5777, (2015).
- [3] Kleykamp, H, Fusion engineering and design, 61, 361-366, (2002).
- [4] Ohtake, T, Journal of Materials Science and Chemical Engineering, 3(02), 5, (2015).
- [5] Li, J., Jin, Y. L., Zhang, X. G., & Yang, H, Solid State Ionics, 178(29-30), 1590-1594, (2007).
- [6] Yao, X. L., Xie, S., Chen, C. H., Wang, Q. S., Sun, J. H., Li, Y. L., & Lu, S. X. Electrochimica acta, 50(20), 4076-4081,(2005).
- [7] Panero, S., Reale, P., Ronci, F., Albertini, V. R., & Scrosati, B. Ionics, 6(5-6), 461-465, (2000).
- [8] Kataoka, K., Takahashi, Y., Kijima, N., Hayakawa, H., Akimoto, J., & Ohshima, K. I. A, Solid State Ionics, 180(6-8), 631-635, (2009).
- [9] Hong, C. H., Noviyanto, A., Ryu, J. H., Kim, J., & Yoon, D. H. Ceramics International, 38(1), 301-310, (2012).
- [10] Bai, Y., Wang, F., Wu, F., Wu, C., & Bao, L. Y. Electrochimica acta, 54(2), 322-327, (2008).
- [11] J. R. Li, Z. L. Tang, Laubisrutistr.24, Stafa-Zuerich, CH-8712, (2007).
- [12] Tang, Y. F., Yang, L., Qiu, Z., & Huang, J. S. Electrochemistry Communications, 10(10), 1513-1516, (2008).

- [13] Hao, Y. J., Lai, Q. Y., Liu, D. Q., Xu, Z. U., & Ji, X. Y. Materials Chemistry and Physics, 94(2-3), 382-387, (2005).
- [14] Hao, Y. J., Lai, Q. Y., Lu, J. Z., Wang, H. L., Chen, Y. D., & Ji, X. Y. Journal of Power Sources, 158(2), 1358-1364, (2006).
- [15] H.-J. Kim, M.-H. Oh, W.-K. Son, presented at Properties and applications of Dielectric Materials, 8<sup>th</sup> International Conference on, (2006).
- [16] Alias, N. A., Kufian, M. Z., Teo, L. P., Majid, S. R., & Arof, A. K. Journal of Alloys and Compounds, 486(1-2), 645-648, (2009).
- [17] Khomane, R. B., Prakash, A. S., Ramesha, K., & Sathiya, M. Materials Research Bulletin, 46(7), 1139-1142, (2011).
- [18] Yuan, T., Cai, R., Wang, K., Ran, R., Liu, S., & Shao, Z. Ceramics International, 35(5), 1757-1768, (2009).
- [19] Lai, C., Dou, Y. Y., Li, X., & Gao, X. P. Journal of Power Sources, 195(11), 3676-3679, (2010).
- [20] Ju, S. H., & Kang, Y. C. Journal of Physics and Chemistry of Solids, 70(1), 40-44, (2009).
- [21] Prakash, A. S., Manikandan, P., Ramesha, K., Sathiya, M., Tarascon, J. M., & Shukla, A. K. e. Chemistry of Materials, 22(9), 2857-2863, (2010).
- [22] Raja, M. W., Mahanty, S., Kundu, M., & Basu, R. N. Journal of Alloys and Compounds, 468(1-2), 258-262, (2009).
- [23] Chen, J., Yang, L., Fang, S., & Tang, Y. Electrochimica Acta, 55(22), 6596-6600, (2010).
- [24] Lee, S. S., Byun, K. T., Park, J. P., Kim, S. K., Kwak, H. Y., & Shim, I. W. Dalton Transactions, (37), 4182-4184, (2007).
- [25] Kim, D. H., Ahn, Y. S., & Kim, J. Electrochemistry communications, 7(12), 1340-1344, (2005).
- [26] Hsieh, C. T., & Lin, J. Y. Journal of Alloys and Compounds, 506(1), 231-236, (2010).
- [27] Shen, C. M., Zhang, X. G., Zhou, Y. K., & Li, H. L. Materials chemistry and physics, 78(2), 437-441, (2003).
- [28] Lee, S. C., Lee, S. M., Lee, J. W., Lee, J. B., Lee, S. M., Han, S. S., ... & Kim, H. J. The Journal of Physical Chemistry C, 113(42), 18420-18423, (2009).
- [29] Tang, Y., Yang, L., Qiu, Z., & Huang, J. Journal of Materials Chemistry, 19(33), 5980-5984, (2009).
- [30] Lu, H. W., Zeng, W., Li, Y. S., & Fu, Z. W. Journal of power sources, 164(2), 874-879, (2007).
- [31] Ju, S. H., & Kang, Y. C. Journal of Power Sources, 189(1), 185-190. (2009).
- [32] Tang, Y., Yang, L., Fang, S., & Qiu, Z. Electrochimica Acta, 54(26), 6244-6249, (2009).
- [33] Gao, J., Jiang, C., Ying, J., & Wan, C. Journal of Power Sources, 155(2), 364-367, (2006).
- [34] Kanamura, K., Chiba, T., & Dokko, K. Journal of the European Ceramic Society, 26(4-5), 577-581, (2006).
- [35] I. U. Sim, H. Y. Kwak, G. T. Byun, J. P. Park, (2008).
- [36] Z. Wen, Z. Gu, S. Huang, J. Yang, Journal of Power Sources, 146,670, (2005).



دکتر لیلا فتح یونس، نویسنده‌ی اول مقاله، عضو هیات علمی دانشگاه بناب، گروه مهندسی مواد

fathyunes.leila@gmail.com

## مرواری بر پوشش‌های سرامیکی سخت مورد استفاده در اصلاح سطح ایمپلنت‌های فلزی

لیلا فتح یونس<sup>۱\*</sup>، ویدا خلیلی<sup>۱</sup>، حامد نامدار اصل<sup>۲</sup>، مهدی ملکی<sup>۲</sup>، احمد نسیمی اصل<sup>۲</sup>، علی بهروزی پور<sup>۲</sup>

<sup>۱</sup> استادیار گروه مهندسی مواد و متالورژی، دانشکده فنی مهندسی، دانشگاه بناب، بناب

<sup>۲</sup> دانشجوی کارشناسی مهندسی مواد و متالورژی، دانشکده فنی مهندسی، دانشگاه بناب، بناب

**چکیده:** انتخاب و آماده سازی مواد جهت کاشته شدن در بدن یکی از حساس‌ترین مسائل در حوزه مهندسی است. مواد زیستی فلزی نظیر تیتانیم و آلیاژهای آن، فولادهای زنگ نزن، آلیاژ کبالت-کروم و غیره به دلیل دارا بودن خواص مکانیکی قابل قبول از گرینه‌های مناسب در کاربردهای پزشکی می‌باشند. اما این فلزات زیست خنثی هستند و لذا یکپارچگی آنها با بافت‌های استخوانی اطراف امکان پذیر نیست. از طرفی، شرایط موجود داخل بدن موجب می‌شود تا ایمپلنت‌های فلزی کاشته شده در معرض سایش باشند. بقایای حاصل از این سایش اغلب موجب الهاب و پاسخ‌های ایمنولوژیک می‌شوند. در موارد حادتر، سلول‌های زیستی بر روی ذرات حاصل از سایش قرار گرفته و سبب ایجاد فصل مشترک سست بین ایمپلنت و بافت میزان می‌شوند. همچنین خوردگی ایمپلنت‌های فلزی سبب انتشار یون‌های سمی و نیز افت خواص مکانیکی می‌شود. لذا به منظور بهبود زیست سازگاری، جلوگیری از خوردگی، سایش و شکستهای خستگی، اصلاح سطح فلزات زیستی کاشته شده توسط پوشش‌های سرامیکی سخت به خصوص در نواحی تحت بارگذاری شدید، پیچیده و متناوب حائز اهمیت است. هدف از این مقاله معرفی و بررسی ویژگی‌های پوشش‌های سرامیکی مورد استفاده جهت اصلاح سطح ابزار جراحی و ایمپلنت‌های فلزی و نیز روش‌های اعمال آنها می‌باشد.

**کلمات کلیدی:** ایمپلنت‌های فلزی، پوشش‌های سرامیکی سخت، سایش و خستگی، خوردگی.

### ۱- مقدمه

جایگزینی مفاصل ران، زانو و لگن در درمان آرتروز شدید موثر است. در این زمینه، کاشت ایمپلنت‌های مصنوعی درد را کاهش داده و کیفیت زندگی بیماران را بهبود می‌بخشد [۱]. استحکام بالا و عدم سمیت برخی فلزات نظیر تیتانیم و آلیاژهای آن، فولادهای زنگ نزن، آلیاژهای کبالت-کروم و غیره سبب گستردگی کاربرد آنها در ساخت پروتزها و ایمپلنت‌ها شده است. با این حال، مقاومت به سایش و خواص تربیولوژیکی پایین این فلزات استفاده از آنها را به عنوان مواد زیستی ایده‌آل محدود کرده است [۲، ۳]. به طور میانگین، مفاصل مصنوعی تنها ۱۰ تا ۱۵ سال قبل از شکست دوام می‌آورند که به دلیل سست شدن ناشی از استئوآرژیت می‌باشد. حضور بقایای حاصل از سایش ایمپلنت‌ها می‌تواند یکی از عوامل بروز استئوآرژیت باشد. میزان فعالیت بیمار، وزن بدن، نوع تنفس‌های وارد، خواص، هندسه و ابعاد ایمپلنت، میزان سایش را در سطوح تماسی تحت تاثیر قرار می‌دهند [۱]. از آنجاییکه ذرات و بقایای حاصل از سایش سبب التهاب و به مخاطره افتادن سلامتی می‌شوند [۴، ۵]، کاهش سایش در سطوح مالشی و افزایش دوام مفاصل مصنوعی کاشته شده در قسمت‌های تحت تنفس و تحمل کننده وزن بدن ضروری است [۱]. یکی دیگر از عوامل تاثیرگذار بر روی موفقیت ایمپلنت‌های فلزی مقاومت به خستگی است. برای مثال، سست شدن پیچ اباتمنت<sup>۱</sup> در پروتزهای ایمپلنت دندانی به دلیل تکرار شل و سفت کردن آن سبب شکستهای خستگی می‌شود [۶]. همچنین، محصولات خوردگی فلزات در تماس با محیط‌های خورنده بدن،

<sup>۱</sup> برای اینکه پروتز ثابت را روی ایمپلنت دندان قرار دهیم نیاز به قطعه‌ای به اسم اباتمنت داریم که به فیکسچر متصل شود.

مشابه بقایای سایش، برای سلامتی مضر هستند<sup>[۵]</sup>. از طرفی ماهیت زیست خنثایی فلزات موجب می‌شود به محض کاشته شدن در بدن توسط بافت‌های فیبری احاطه شوند و در نتیجه فصل مشترک سستی را با استخوان اطراف تشکیل دهند که سبب لقی ایمپلنت می‌شود<sup>[۲]</sup>. گرچه پوشش‌های کلسیم فسفاتی برای افزایش زیست فعالی و مقاومت به خوردگی به طور گسترهای بر روی سطح ایمپلنت‌های فلزی اعمال می‌شوند، اما استحکام چسبندگی و خواص مکانیکی پایین این پوشش‌ها برای کاربردهای طولانی مدت در شرایط تحت بار رضایت‌بخش نیست<sup>[۷]</sup>. بنابراین راهکارهای موجود شامل (۱) استفاده از مواد جدید مقاوم به سایش و (۲) بهبود سختی و مقاومت به سایش فلزات موجود به وسیله افودن عناصر آلیاژی و یا انجام اصلاحات بر روی سطح آن‌ها است<sup>[۸]</sup>. اصلاح سطح می‌تواند توسط اعمال پوشش‌های سرامیکی سخت نظیر کربن الماس مانند<sup>[۱]</sup> DLC، TiC و TiN انجام گیرد<sup>[۵، ۹ و ۱۰]</sup>. بنابراین در این مقاله مروری به معرفی روش‌های مورد استفاده برای اعمال پوشش‌های سرامیکی سخت و تاثیر این پوشش‌ها بر روی مقاومت به سایش، خستگی، خوردگی و زیست فعالی پروتزها و ایمپلنت‌های فلزی پرداخته می‌شود.

## ۲- مروری بر مطالعات انجام گرفته

### ۲-۱- روش‌های اعمال پوشش‌های سرامیکی سخت

امروزه روش‌هایی نظیر رسبودهی بخار فیزیکی (PVD)<sup>۱</sup>، رسبودهی بخار شیمیایی (CVD)<sup>۲</sup>، پاشش حرارتی و نیتراسیون گازی برای ایجاد لایه‌های سرامیکی سخت روی سطح توسعه یافته‌اند<sup>[۱۱، ۱۵]</sup>. فرایند ساخت ایده‌آل فرایندی است که بتواند کیفیت خوب نظیر تراکم، یکنواختی و چسبندگی مناسب را برای پوشش ارائه دهد<sup>[۱]</sup>. PVD یک تکنیک تجاری برای اعمال پوشش‌های سرامیکی نیتریدی و کاربیدی بدون آسیب رساندن به خواص مکانیکی زیرلایه است<sup>[۱۲]</sup>. روش‌های PVD شامل کندوپاش مگنترونی، کندوپاش قوس کاتدی، رسبودهی لیزر پالسی (PLD)<sup>۳</sup> و غیره هستند. از آنجایی که برای اعمال پوشش‌های کامپوزیت در روش قوس کاتدی نیاز به تارگت ترکیبی گران قیمتی می‌باشد، لذا این روش برای تولیدات صنعتی مقرن به صرفه نیست<sup>[۱۱]</sup>. همچنین تکنیک‌هایی نظیر کندوپاش مگنترونی و PLD به دلیل محیط دوستانه بودن، امکان کنترل ترکیب، کاهش چگالی عیوب و بهبود تراکم دانه‌ها در پوشش مورد توجه هستند<sup>[۳، ۸]</sup>. در مقابل استفاده از گازهای سمی و دماهای بالا از معایب تکنیک CVD است<sup>[۱۱]</sup>. دماهای بالا منجر به تحولات فازی و تغییرات ریزساختاری در زیرلایه فلزی می‌شود که برای کاربردهای حساس قابل قبول نیست<sup>[۵]</sup>. به دلیل دماهای نسبتاً پایین‌تر مورد نیاز، روش رسبودهی بخار شیمیایی به کمک پلاسمای PE or PA-CVD<sup>۴</sup> می‌تواند برای غلبه بر این مشکل مناسب باشد<sup>[۱۳]</sup>. همچنین اعمال پوشش‌های یکنواخت با روش پلاسما اسپری بر روی زیرلایه‌هایی با هندسه پیچیده مشکل بوده و چسبندگی پوشش ضعیف است<sup>[۲]</sup>. در روش نیتراسیون گازی نیز نفوذ نیتروژن سبب تشکیل یک لایه ترکیبی و به دنبال آن ناحیه نفوذی شامل محلول‌های بین نشینی نیتروژن در تیتانیم می‌شود<sup>[۲]</sup>. در این روش به دلیل ایجاد یک گرادیان ترکیبی از سطح خارجی تا مغز، استحکام بخشی زیرلایه نیز انجام گرفته و در نتیجه امکان لایه شدن و ترک دار شدن پوشش به دلیل وجود اختلاف در سختی زیرلایه فلزی و پوشش سرامیکی نیتریدی کاهش می‌یابد. اما به علت نیاز به دمای بالا، ریزساختار زیرلایه در طول فرآیند پوشش دهی تغییر می‌کند<sup>[۱۴]</sup>.

### ۲-۲- تاثیر پوشش‌های سرامیکی سخت بر روی مقاومت به سایش و ضریب اصطکاک

برای افزایش دام مفاصل مصنوعی در مقابل سایش، اصلاح سطوح تحت بار گذاری شدید با پوشش‌های سرامیکی کاربیدی و نیتریدی انجام می‌گیرد<sup>[۱، ۵]</sup>. همچنین، پوشش‌های سه تایی N (Ti, X) که در آن X عناصری نظیر B, Al, Si و Cr است، می‌توانند به عنوان پوشش‌های مقاوم‌تر به سایش لحاظ گردند. برای مثال، مطابق منحنی‌های بار-عمق فروروندگی در شکل ۱، عمق نفوذ فرورونده بركوویچ برای پوشش‌های TiN و Ti-Si-N اعمالی به روش کندوپاش مگنترونی روی فولاد زنگ نزن L 316 در ماکریم بار اعمالی ۳ میلی نیوتون به ترتیب ۹۳ و ۸۰ نانومتر است، در حالی که عمق فرورفتگی برای نمونه بدون پوشش در

<sup>1</sup> Diamond Like Carbon

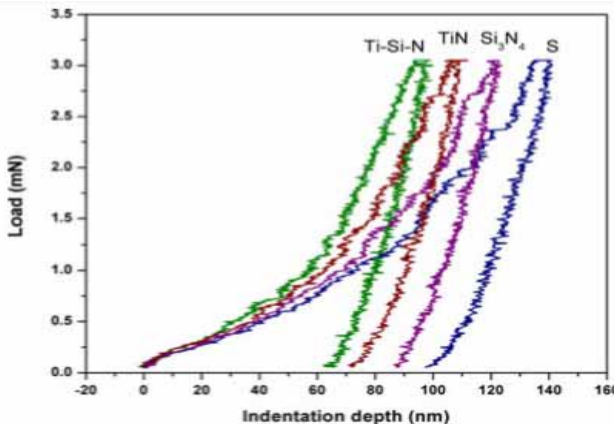
<sup>2</sup> Physical Vapor Deposition

<sup>3</sup> Chemical Vapor Deposition

<sup>4</sup> Pulsed laser deposition

<sup>5</sup> Plasma-Enhanced or Plasma-Assisted Chemical Vapor Deposition

حدود ۱۴۰ نانومتر می‌باشد. از آنجایی که کمترین عمق نفوذ بیانگر بالاترین سختی می‌باشد، ملاحظه می‌شود که افزودن Si سختی سطحی و لذا مقاومت به سایش پوشش نیتریدی را افزایش می‌دهد [۱۱].

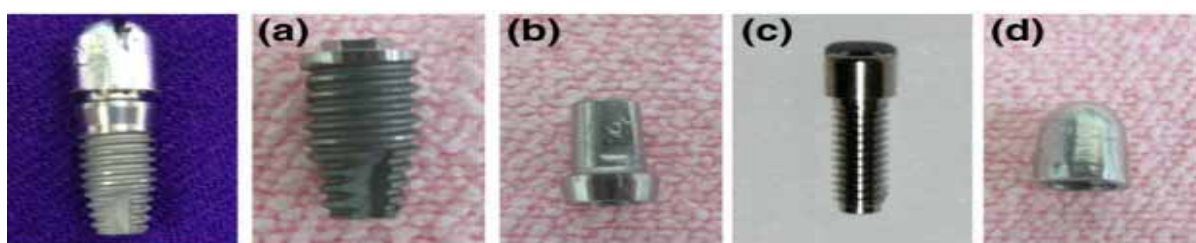


شکل ۱- منحنی‌های بار-جایه‌جایی برای فولاد زنگ نزن 316L و پوشش‌های TiN و Ti-Si-N [۱۱].

در واقع کاهش اندازه دانه‌ها در نتیجه ممانعت از رشد آن‌ها با تشکیل فاز آمورف  $\text{Si}_3\text{N}_4$  یا  $\text{SiN}_x$  به عنوان زمینه در پوشش سه تایی [۱۱،۱۳]، سبب افزایش مرزدانه‌ها و در نتیجه افزایش سختی می‌شود [۵]. مطابق نتایج به دست آمده توسط شیزی<sup>۱</sup> و همکاران، مقدار سختی پوشش سه تایی اعمالی به روش PA-CVD در مقادیر بالاتر از ۱۵ درصد اتمی Si کاهش می‌یابد. کاهش سختی با افزایش بیشتر میزان Si می‌تواند به دلیل تشکیل  $\text{TiSi}_2$  با سختی پایین در پوشش باشد [۵] با توجه به یافته‌های وپرک<sup>۲</sup> و همکاران نیز این فاز معمولاً در پوشش‌های Ti-Si-N با میزان Si بیشتر از ۱۵ درصد اتمی وجود دارد [۱۳]. به علاوه، بررسی‌های انجام گرفته توسط سان<sup>۳</sup> و همکاران نشان داد که حضور عنصر Si در پوشش‌های سرامیکی سخت اکسی نیترید تیتانیم (Ti, O) اعمالی بر روی  $\text{NiTi}$  سبب کاهش ضربی اصطکاک می‌شود. کاهش ضربی اصطکاک در این پوشش می‌تواند به دلیل تشکیل لایه هیبریدی  $\text{SiO}_2/\text{TiO}_2$  روی سطح و ویژگی روانکاری  $\text{SiO}_2$  باشد [۴]. لازم به ذکر است که گرمای تولید شده در نتیجه اصطکاک می‌تواند شرایط مناسب را برای اکسیداسیون فراهم می‌سازد [۸]. ما<sup>۴</sup> و همکاران نیز نشان دادند که ضربی اصطکاک پوشش سرامیکی Ti-Si-C-N در غلظت‌های بالای کربن کاهش می‌یابد که می‌تواند به شکل گیری فاز روانکار مشابه گرافیت مربوط باشد [۱۵].

### ۳-۲- بهبود مقاومت به خستگی توسط پوشش‌های سرامیکی سخت

یکی از عوامل موثر در موفقیت ایمپلنت‌های فلزی مقاومت به خستگی است. بارگذاری‌های متناوب و چرخه‌ای سبب شکست خستگی ایمپلنت‌ها می‌شوند [۱۶]. برای مثال شکست‌های خستگی در نتیجه تکرار شل و سفت کردن پیچ ابامنت در پروتزهای ایمپلنت دندانی که در شکل ۲ نشان داده شده است، رخ می‌دهند [۶].



شکل ۲- بخش‌های مختلف ایمپلنت دندانی (الف) فیکسچر، (ب) ابامنت، (ج) پیچ ابامنت و (د) کلاه فلزی [۶].

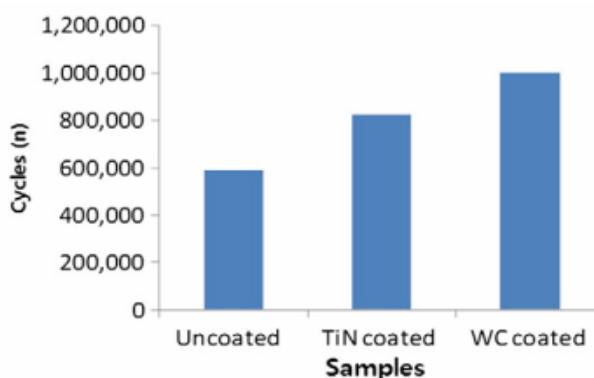
<sup>1</sup> Shizhi

<sup>2</sup> Veprek

<sup>3</sup> Sun

<sup>4</sup> Ma

با توجه به اینکه بیشتر شکستهای خستگی از سطح شروع می‌شوند، لذا شرایط سطحی نظری زبری، سختی و نوع تنش‌های القایی در سطح، استحکام خستگی را تحت تأثیر قرار می‌دهد. شکست خستگی ایمپلنت‌ها می‌تواند با کاهش زبری سطح، القای تنش‌های فشاری روی سطح و پوشش‌دهی سطح با مواد سرامیکی سخت بهبود یابد. تنش‌های فشاری بر روی سطح ایمپلنت‌های فلزی می‌توانند توسط عملیات شات پینینگ القا شوند، اما انجام این فرایند به دلیل مارپیچی بودن سطح پیچ اباتمنت مشکل است. روش دیگر بهبود استحکام خستگی، افزایش سختی سطح توسط مواد سرامیکی سختی نظری TiN و WC است [۶]. در این راستا برخی تولید کنندگان ایمپلنت‌های دندانی، پیچ اباتمنت پوشش‌دار را برای جلوگیری از جایه‌جایی پروتز دندانی در نتیجه تمایل به شل شدن اتصالات پیچی اباتمنت پیشنهاد می‌کنند [۱۷]. در این زمینه مطالعات چونگ<sup>۱</sup> و همکاران نشان داد که پیچ اباتمنت تیتانیمی بدون پوشش و پوشش داده شده با TiN و WC توسط روش PVD در بار اعمالی ۴۲۰ نیوتن به ترتیب در تعداد سیکل‌های ۵۸۷۸۰.۷، ۸۲۶۵۲۳ و ۱۰<sup>۶</sup> دچار شکست شدند (شکل ۳) [۶]. افزایش مقاومت به خستگی می‌تواند به دلیل سختی بالای پوشش‌های سرامیکی اعمالی و نیز کاهش عیوب سطحی در نتیجه پوشش‌دهی باشد. این در حالی است که عیوب سطحی می‌توانند نقاط تمرکز تنش باشند [۶].



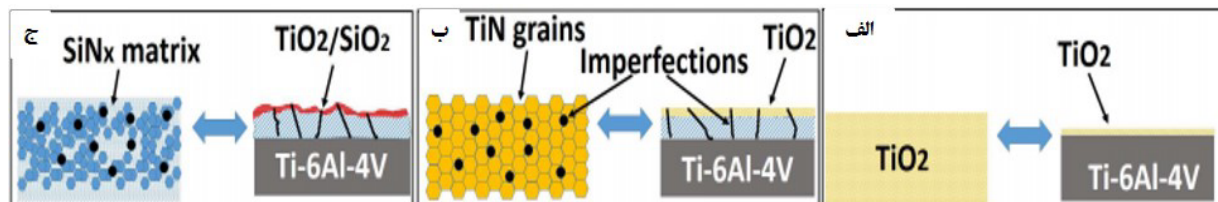
شکل ۳ - متوسط عمر خستگی پیچ اباتمنت بدون پوشش و پوشش داده شده با TiN و WC در بار اعمالی ۴۲۰ نیوتن [۶].

#### ۴-۲-قابلیت حفاظت از خودگی پوشش‌های سرامیکی سخت

ایمپلنت‌های فلزی کاشته شده داخل بدن در معرض محیط‌های آبی نظری خون، بزاق و مایعات بدن که حاوی آئیون‌ها (Cl<sup>-</sup>, SO<sub>4</sub><sup>2-</sup>, HPO<sub>4</sub><sup>2-</sup>, HCO<sub>3</sub><sup>-</sup>, Ca<sup>2+</sup>, K<sup>+</sup>, Na<sup>+</sup>)، مواد آلی و اکسیژن حل شده می‌باشند، مستعد خودگی هستند [۴، ۱۱ و ۱۳]. محصولات تشکیل شده در نتیجه خودگی معمولاً موجب التهاب، غفونت و سمیت سلولی می‌شوند [۱۱، ۱۳]. همچنین، آلیاژهای تیتانیمی Ti-6Al-4V، آلیاژ NiTi و سایر فلزات مورد استفاده داخل بدن یون‌های سمی نظری Al, V, Cr, Ni و Co را در نتیجه خودگی آزاد می‌کنند که انتشار آن‌ها منجر به سمیت سلولی و حساسیت‌های آلرژیک می‌شود [۱۲، ۱۳ و ۱۸]. لذا کنترل رهایش عناصر سمی و حداقل کردن میزان تشکیل محصولات خودگی با بهبود مقاومت به خودگی آن‌ها ضروری به نظر می‌رسد [۱۲، ۱۸]. برای این منظور پوشش‌های سرامیکی DLC و پایه تیتانیومی نظری نیترید و کاربید تیتانیم به دلیل سختی توأم با مقاومت به خودگی و نیز عدم سمیت مناسب هستند [۱۳، ۷ و ۱۸]. همچنین افزایش حفاظت از خودگی پوشش‌های سخت دوتایی با افزودن عنصر سوم به داخل ترکیب آن‌ها جهت ایجاد پوشش‌هایی نظری TiSiN, TiCN, TiBN و TiNb در مقایسه با این پوشش‌های سرامیکی سخت سه تایی، پوشش Ti-Si-N به دلیل دارا بودن سختی، تافنس شکست و مقاومت به سایش بالا در سال‌های اخیر مورد توجه قرار گرفته است [۵]. بهبود مقاومت به خودگی در پوشش Ti-Si-N در مقایسه با TiN می‌تواند به دلیل احاطه شدن کربستالیت‌های TiN توسط زمینه آمورف Si<sub>3</sub>N<sub>4</sub> در ساختار این پوشش باشد. این در حالی است که مواد آمورف به دلیل اینکه فاقد مرز دانه و سایر عیوبی هستند که به عنوان مکان‌های ترجیحی برای خودگی و نفوذ محیط خورنده می‌باشند، رفتار الکتروشیمیایی بهتری را ارائه می‌دهند [۵، ۱۱ و ۱۳]. از طرفی مقاومت به خودگی بالا در این پوشش سه تایی به دلیل تشکیل لایه پسیو هیبریدی TiO<sub>2</sub>/SiO<sub>2</sub> است، در حالیکه مطابق شکل

<sup>۱</sup> Jeong

۴ تنها لایه اکسیدی  $TiO_2$  می‌تواند بر روی آلیاژهای تیتانیمی و پوشش TiN تشکیل شود [۱۳،۵]. در این راستا مطالعات سان<sup>۱</sup> و همکاران نیز نشان دادند که افزودن Si به پوشش نیتریدی اکسیدی تیتانیم (Ti, O, N) سبب افزایش مقاومت به خوردگی می‌شود که به دلیل پایین بودن انرژی آزاد گیس برای تشکیل  $SiO_2$  در دمای اتاق در مقایسه با  $TiO_2$  و TiN و پایداری شیمیایی بیشتر است [۴].  $SiO_2$



شکل ۴- تصویر شماتیکی از لایه‌های اکسیدی تشکیل شده بر روی (الف)  $Ti-Si-N$  (ب)  $Ti-6Al-4V$  (ج) در محیط SBF [۱۳].

## ۲-۵-آب دوستی پوشش‌های سرامیکی سخت

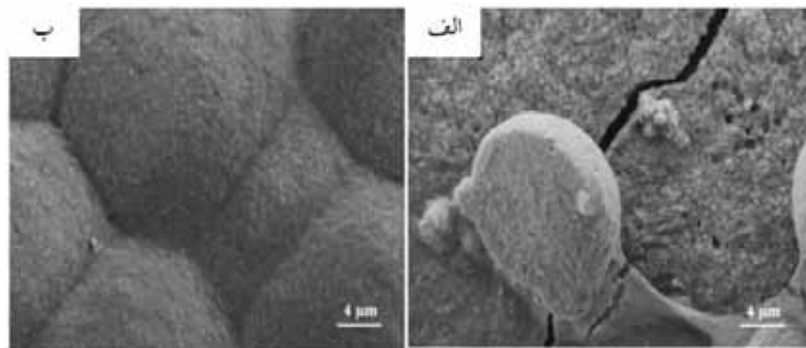
ماهیت آب گریزی ایمپلنت‌های فلزی عامل دیگری است که کاربرد آن‌ها را در داخل بدن محدود می‌کند، زیرا که آب دوستی بالاتر می‌تواند جذب پروتئین و چسبندگی سلول‌ها را به سطح بهبود بخشد. یافته‌ها حاکی از آن است که آب دوستی از شیمی سطح، زبری و بار الکتریکی تاثیر می‌پذیرد [۱۹]. نتایج بررسی‌های موثق<sup>۲</sup> و همکاران نشان داد که افزودن عنصر Si به پوشش سرامیکی TiN سبب افزایش آب دوستی این لایه سخت سطحی می‌شود. در واقع، به محض قرارگیری در مععرض تابش نور UV، فعالیت فوتوكاتالیستی  $TiO_2$  می‌تواند به عنوان دلیل اصلی تشکیل گروههای هیدروکسیل بر روی سطح باشد. سپس این گروههای هیدروکسیلی می‌توانند جذب هر دو اکسید سطحی  $TiO_2$  و  $SiO_2$  در پوشش سه تایی  $Ti-Si-N$  شوند، این در حالی است که تنها اکسید  $TiO_2$  بر روی آلیاژهای تیتانیمی و پوشش TiN وجود دارد و در نتیجه تعداد هیدروکسیل‌های کمتری جذب سطح می‌شوند. وجود تعداد بیشتر گروههای عاملی هیدروکسیلی در سطح به معنی افزایش آب دوستی است [۱۳]. به علاوه، مشاهدات گان<sup>۳</sup> و همکاران نشان داد که حتی در غیاب تابش UV نیز آب دوستی لایه هیبریدی  $TiO_2/SiO_2$  بالاتر از  $TiO_2$  است [۲۰]. علاوه بر شیمی سطح، مطابق تئوری و نزل<sup>۴</sup> زبری سطحی بالاتر عامل دیگری است که سبب بهبود آب دوستی می‌شود. در این ارتباط نتایج ارزیابی سطح پوشش‌های TiN و  $Ti-Si-N$  توسط AFM نشان داده که با افزودن Si زبری سطح پوشش اعمالی به روش PA-CVD افزایش می‌یابد که می‌تواند به دلیل اثرات اچینگ قوی  $SiCl_4$  مورد استفاده به عنوان پیش ماده تامین کننده عنصر Si باشد [۱۳].

## ۲-۶-زیست فعالی پوشش‌های سرامیکی سخت

ماهیت زیست خنثی فلزات یکی از چالش‌های مهم جهت فیکس کردن و پایداری طولانی مدت ایمپلنت‌ها است [۴]. زیرا زیست خنثایی سبب می‌شود تا فلزات کاشته شده در بدن به دلیل کپسوله شدن توسط بافت‌های فیبری، قابلیت پیوند مستقیم با استخوان‌های اطراف را نداشته باشند [۲]. در حالی که مواد زیست فعال توانایی تشکیل لایه آپاتیتی مشابه استخوان را بر روی سطح خود در محیط‌های بدن دارند و توسط این لایه آپاتیتی به استخوان پیوند می‌یابند [۲۱، ۲۰، ۲]. پیزکنک<sup>۵</sup> و همکاران گزارش کرده‌اند که با اعمال پوشش TiN بر روی پروتزهای مفاصل ران تیتانیمی، تشکیل رسوبات آپاتیتی روی سطح آن‌ها تسريع می‌یابد. در واقع فازهای اکسی نیترید تیتانیم ( $TiO_xN_y$ ) در فصل مشترک لایه پسیو  $TiO_2$  و پوشش TiN تشکیل می‌شوند. تحت شرایط سایش شدید، لایه پسیو اکسیدی می‌تواند به تدریج از روی سطح حذف شده و فازهای اکسی نیتریدی به طور مستقیم در تماس با مایعات بدن قرار گیرند. حضور حالت‌های ترکیبی والنس اتم‌های تیتانیم در این فازها سبب موضع گیری

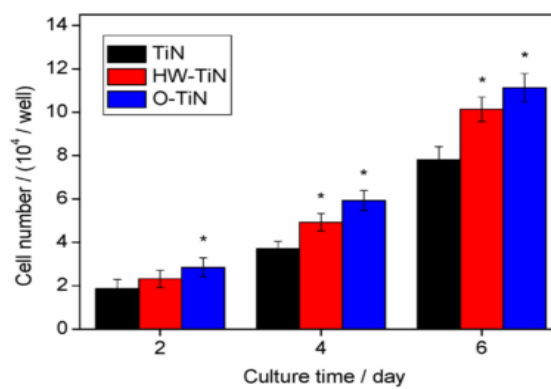
<sup>1</sup> Sun  
<sup>2</sup> Movassagh  
<sup>3</sup> Guan  
<sup>4</sup> Wenzel  
<sup>5</sup> Piscanec

بارهای منفی بر روی اکسیژن‌های سطحی می‌شود که در جذب کاتیون‌های کلسیم موثر است. در مرحله بعدی نیز با وارد شدن گروههای فسفاتی با بار منفی، رسوبات کلسیم فسفاتی تشکیل شده [۱۰] و در نهایت تبدیل به آپاتیت می‌شوند [۴]. همچنین نتایج تحقیقات سان و همکاران نشان داد که افزودن Si به پوشش‌های اکسی نیتریدی (Ti, O, N) سبب تشکیل گروههای سیلانول Si-OH بر روی سطح پوشش می‌شود. این گروههای می‌توانند در محیط SBF که دارای pH در حدود ۷/۴ است، با یون‌های هیدروکسیل واکنش داده و سطح با بار منفی را ایجاد کنند که مجدداً نقش کلیدی را در جذب کاتیون‌های کلسیم و تسريع در تشکیل آپاتیت دارند (شکل ۵) [۴].



شکل ۵- لایه آپاتیتی رسوب کرده بر روی آلیاژ NiTi پوشش داده شده با (الف) (Ti, O, N)(Si, O, N) و (ب) (Ti, O, N)، پس از ۱۴ روز غوطه‌وری در محلول SBF [۴].

تمامی<sup>۱</sup> و همکاران نیز مشاهده کردند که سلول‌های شبه استخوانی Saos-2 بر روی سطح تیتانیم پوشش داده شده با لایه سرامیکی سخت Ti-Si-N توسط روش کندوپاش مگنترونی در مقایسه با نمونه‌های بدون پوشش میزان کلسیم و فسفاتاز قلیایی (ALP)<sup>۲</sup> بیشتری را در طول ۲۸ روز تولید می‌کنند که به عنوان معیاری برای تمایز و میزرازیاسیون این سلول‌ها است. در این مطالعه، نتایج آزمون MTT نشان داد که این پوشش تاثیر مثبتی بر روی رشد سلول‌های استخوانی دارد [۳]. یافته‌های شی<sup>۳</sup> و همکاران نیز حاکی از این است که اکسیداسیون جزئی پوشش TiN توسط عملیات هیدروترمال (HW-TiN) و عملیات ازن (O-TiN)<sup>۴</sup> سبب بهبود آب دوستی و همچنین افزایش چسبندگی و تکثیر سلول‌های اسئتوبلاست می‌شود (شکل ۶).



شکل ۶- تعداد سلول‌های کشت شده بر روی نمونه‌های تیتانیمی پوشش داده با لایه O-TiN، HW-TiN، TiN در مدت زمان‌های مختلف [۲۲].

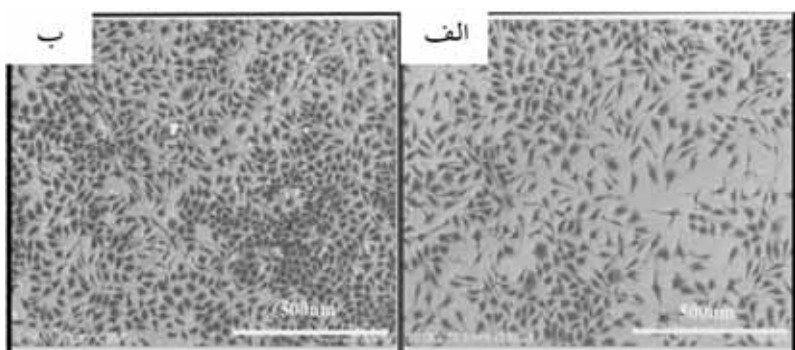
در انتهای نتایج تحقیقات جین<sup>۴</sup> و همکاران نشان داد که افزایش زبری و آب دوستی سطح در نتیجه اعمال پوشش سرامیکی TiN بر روی NiTi موجب افزایش چسبندگی و تکثیر سلول‌های فیبروبلاست می‌شود (شکل ۷) [۲۳].

<sup>1</sup> Thampi

<sup>2</sup> Alkaline phosphatase

<sup>3</sup> Shi

<sup>4</sup> Jin



شکل ۷ - تصویر SEM از مورفولوژی سلول‌های فیبروبلاست کاشته شده بر روی الیاز NiTi (الف) بدون پوشش و (ب) پوشش‌دهی شده با TiN [۲۳].

### ۳- نتیجه گیری

سایش، شکست خستگی و خوردگی پدیده‌های مخربی هستند که کارایی و طول عمر پروتزها و ایمپلنت‌های فلزی را تحت تاثیر قرار می‌دهند. از این‌رو، پوشش‌های سرامیکی کاربیدی و نیتریدی به منظور افزایش سختی سطح و در نتیجه بهبود مقاومت به سایش بر روی ایمپلنت‌ها و ابزار جراحی فلزی اعمال می‌شوند. همچنین با توجه به بهبود کیفیت سطح و پوشانده شدن عیوب سطحی پس از اعمال این پوشش‌ها، مقاومت به خستگی افزایش می‌یابد. این پوشش‌ها به عنوان یک لایه حفاظتی در مقابل خوردگی فلزات در تماس با مایعات خورنده بدن نیز عمل می‌کنند. لازم به ذکر است محصولات حاصل از سایش و خوردگی و نیز رهایش یون‌های فلزی در نتیجه خوردگی سبب حساسیت، سمیت سلولی و ایجاد پیوند نامناسب بین بافت زنده و سطح ایمپلنت می‌شوند. از طرفی پوشش‌های سرامیکی سخت‌زیری و آب دوستی سطح را نیز تحت تاثیر قرار داده و بنابراین سبب افزایش زیست فعالی روی سطح ایمپلنت‌ها و پروتزهای فلزی می‌شوند.

### مراجع

- [1] H. Search, C. Journals, A. Contact, Effects of surface coating on reducing friction and wear of orthopaedic implants, *Science and Technology of Advanced Materials* 15 (2014) 014402,
- [2] I. Mutlu, Sinter-coating method for the production of TiN-coated titanium foam for biomedical implant applications, *Surface and Coatings Technology* 232 (2013) 396–402.
- [3] T. Biominerallisation, S. Bone, B. Subramanian, Biominerallisation with Saos-2 bone cells on TiSiN sputtered Ti alloys, *Colloids and Surfaces B: Biointerfaces* 155 (2017) 1-10.
- [4] T. Sun, N. Xue, C. Liu, C. Wang, J. He, Bioactive (Si , O , N)/( Ti , O , N ) / Ti composite coating on NiTi shape memory alloy for enhanced wear and corrosion performance, *Applied Surface Science* 356 (2015) 599–609.
- [5] F. Movassagh-alanagh, A. Abdollah-zadeh, M. Aliofkhazraei, M. Abedi, Improving the wear and corrosion resistance of Ti – 6Al – 4V alloy by deposition of TiSiN nanocomposite coating with pulsed-DC PACVD, *Wear* 390–391 (2017) 93–103.
- [6] Y. Jeong, C. Lee, C. Chung, M. Son, H. Choe, Effects of TiN and WC coating on the fatigue characteristics of dental implant, *Surface and Coatings Technology* 243 (2014) 71–81.
- [7] G. Wang, H. Zreiqat, Functional Coatings or Films for Hard-Tissue Applications, *Materials* 3(2010) 3994-4050.
- [8] Z. Lan, The Effect of Coatings on the Wear Behavior of Ti6Al4V Alloy Used in Biomedical Applications The Effect of Coatings on the Wear Behavior of Ti6Al4V Alloy Used in Biomedical Applications, *Materials Science and Engineering* 295 (2018) 012044.
- [9] G. Dearnaley, J.H. Arps, Biomedical applications of diamond-like carbon (DLC) coatings: A review, *Surface and Coatings Technology* 200 (2005) 2518 – 2524.
- [10] S. Piscanec, L. Colombi, E. Vesselli, G. Comelli, O. Sbaizer, S. Meriani, A. De Vita, Bioactivity of TiN-coated titanium implants, *Acta Materialia* 52 (2004) 1237–1245.
- [11] S. Balasubramanian, A. Ramadoss, A. Kobayashi, Nanocomposite Ti – Si – N Coatings Deposited by Reactive dc Magnetron Sputtering for Biomedical Applications, *Journal of the American Ceramic Society* 95(2012) 2746–2752.
- [12] A. Wisbey, P.J. Gregson, Application of PVD TiN coating to based surgical implants, *Biomaterials* 8 (1987) 477–480.
- [13] F. Movassagh-alanagh, A. Abdollah-zadeh, M. Asgari, M.A. Ghaffari, Improving the wear and corrosion

- resistance of Ti – 6Al – 4V alloy by deposition of TiSiN nanocomposite coating with pulsed-DC PACVD, *Wear* 390–391 (2017) 93–103.
- [14] E. Marin, R. Offoach, M. Regis, S. Fusi, A. Lanzutti, L. Fedrizzi, Diffusive thermal treatments combined with PVD coatings for tribological protection of titanium alloys, *Materials and Design* 89 (2016) 314–322.
- [15] S. L. Ma, Synthesis and characterization of super hard, self-lubricating Ti – Si – C – N nanocomposite coatings, *Acta Materialia* 55 (2007) 6350–6355.
- [16] R. W. Kim, H. S. Kim, H. C. Choe, M. K. Son, Microscopic Analysis of Fractured Dental Implant Surface after Clinical Use, *Procedia Engineering* 10 (2011) 1955–1960.
- [17] C. N. Elias, D.C. Figueira, P.R. Rios, Influence of the coating material on the loosening of dental implant abutment screw joints, *Materials Science and Engineering C* 26 (2006) 1361 – 1366.
- [18] A. E. Erog, Metal ion release from TiN coated CoCrMo orthopedic implant material, *Surface and Coatings Technology* 200 (2006) 5020 – 5027.
- [19] C. Wen, Surface coating and modification of metallic biomaterials, Woodhead Publishing, 2015.
- [20] K. Guan, Relationship between photocatalytic activity, hydrophilicity and self-cleaning effect of  $\text{TiO}_2/\text{SiO}_2$  films, *Surface and Coatings Technology* 191 (2005) 155–160.
- [21] L. Fathyunes, J. Khalil-Allaf, S.O.R. Sheykholeslami, M. Moosavifar, Biocompatibility assessment of graphene oxide-hydroxyapatite coating applied on  $\text{TiO}_2$  nanotubes by ultrasound-assisted pulse electrodeposition, *Materials Science and Engineering C* 87 (2018) 10–21.
- [22] X. Shi, L. Xu, T. Bang, G. Zhou, C. Zheng, Partial oxidation of TiN coating by hydrothermal treatment and ozone treatment to improve its osteoconductivity, *Materials Science and Engineering C* 59 (2016) 542–548.
- [23] S. Jin, Y. Zhang, Q. Wang, D. Zhang, Influence of TiN coating on the biocompatibility of medical NiTi alloy, *Colloids Surfaces B Biointerfaces*. 101 (2013) 343–349.



مهندس فائزه قربانی،  
نویسنده اول مقاله، دانشگاه  
تبریز

f.ghorbani.eng20@gmail.com

# سنتز و اصلاح نانو لوله‌ی $TiO_2$ به عنوان الکترود ابر خازن

فایزه قربانی\*، شاهین خامنه اصل

گروه مهندسی مواد، دانشگاه تبریز

**چکیده:** نانو لوله‌های  $TiO_2$ <sup>۱</sup> به علت خواص منحصر به فردشان از جمله قابلیت تغییر بون، پتانسیل فتوکاتالیستی، دارابودن سطح وسیع و خواص الکتریکی قابل توجه، اهمیت زیادی کسب کرده‌اند. اما ظرفیت ویژه آن به علت وجود فازهای ترد پایین است و به علت گاف انرژی وسیع آن، رسانایی ضعیفی دارد. امروزه تلاش‌های زیادی برای اصلاح خواص نانولوله‌های  $TiO_2$  برای کاربرد سوپر خازنی آن صورت می‌گیرد. در این مقاله انواع روش سنتز نانولوله  $TiO_2$  از جمله روش اکسیداسیون آندی شرح داده شد و به روش‌های حرارتی و الکتروشیمیایی برای اصلاح ساختار پرداخته شد. در اقع اصلاح TNT ها توسط روش‌های حرارتی و الکتروشیمیایی و دوب فلزی و غیر فلزی، موجب بهبود ظرفیت خازنی TNT ها به عنوان الکترود سوپر خازن‌ها می‌شود. اصلاح TNT به روش الکتروشیمیایی به علت آسانی، سهولت اجرا و هزینه‌ی پایین کاربرد دارد. در دوب الکتروشیمیایی،  $Ti^{3+}$  به  $Ti^{4+}$  احیا می‌شود که دوب احیایی باعث تغییر رنگ فیلم از خاکستری روشن به سیاه می‌شود و هم چنین باعث می‌شود ظرفیت ویژه نمونه احیا شده نسبت به نمونه احیا نشده، ۱۸٪ افزایش پیدا کند. در اصلاح به روش الکتروشیمیایی آسیبی به ساختار وارد نمی‌شود. اصلاح به روش حرارتی، به عملیات‌های حرارتی مختلف در مراحل زیتر TNT مربوط می‌شود. بهبود ظرفیت ویژه در طول روش حرارتی، مربوط به مکانهای والنس است که به صورت جزئی کاهش یافته‌اند و بر روی سطح ایجاد شده‌اند و هم چنین مربوط به عیوب دیگر می‌شود که در حین عملیات حرارتی وجود دارند. این روش اصلاح افزایش چشمگیری در منحنی ولتاگرام چرخه‌ای می‌شود و گزارش شده که ظرفیت ویژه را  $111 \mu F cm^{-2}$  افزایش می‌یابد.

**کلمات کلیدی:** نانولوله‌ی  $TiO_2$ ، ابر خازن، TNT اصلاح شده، ظرفیت خازنی.

## ۱- مقدمه

آلودگی‌های محیطی به علت رشد فراینده استفاده از سوخت‌های فسیلی، افزایش یافته است که ما را وارد به استفاده از سوخت‌های تجدیدپذیر همچون انرژی خورشید، انرژی باد، انرژی گرمایی و غیره کرده است. ابزار رایج ذخیره سازی انرژی‌های تجدیدپذیر، باتری‌ها و سوپر خازن‌ها هستند. سوپر خازن‌ها به علت چگالی توان بالا (بزرگ تر  $10^5 W kg^{-1}$ )، عمر چرخه‌ای بالا (بیشتر از ۱۰۰۰۰۰ چرخه) و کارکرد با امنیت بالا، نسبت به باتری ارجحیت پیدا می‌کنند که منحصراً باعث رشد و بهبود ماشین‌های الکتریکی هیبریدی شده است.<sup>[۱]</sup>

عموماً دو نوع مکانیزم: خازن‌های دولایه الکتریکی<sup>۲</sup> و شبه خازن‌ها برای ذخیره سازی شارژ سوپر خازن‌ها وجود دارد که نوع اول بر اساس جذب الکترواستاتیکی از بون‌های الکتروولیت در فصل مشترک اکترود و الکتروولیت است در حالی که نوع دوم بر اساس انتقال شارژ القایی بین بون الکتروولیت و مواد فعال می‌باشد.<sup>[۱] و [۲]</sup>

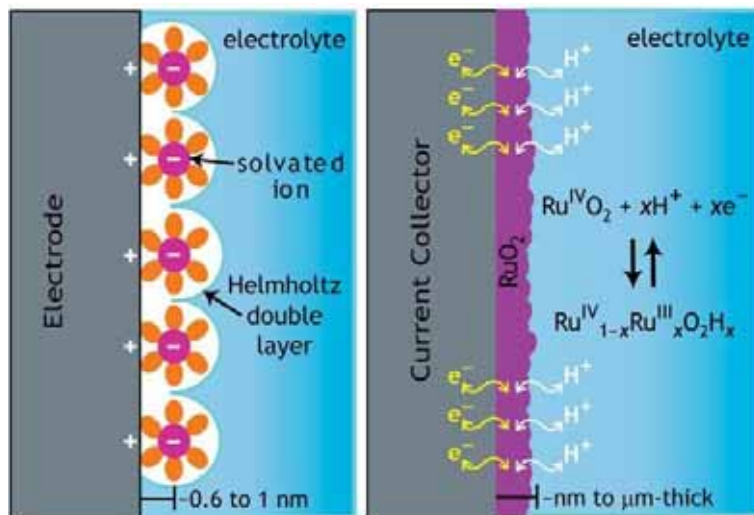
عموماً مواد پایه کربنی از جمله: گرافن، کربن نانو لوله، آنیون‌های نانو کربن و کربن فعال در بهبود خازن‌های دولایه الکتریکی، به کار گرفته می‌شوند. اکسید مواد واسطه، هیدروکسیدها، اکسید فلزات ترکیبی، کامپوزیت مواد کربنی به همراه اکسیدهای فلزی و کامپوزیت‌های رساناً مثل پلی آئیلین، پلی پیرون، رفتار شبه خازنی از خود نشان داده‌اند.<sup>[۱]</sup> رفتار شبه خازنی عموماً مربوط به واکنش‌های برگشت پذیر و سریع انتقال الکترون است که در نزدیکی سطح اکترود با فوتون جفت می‌شوند (شکل ۱).<sup>[۲]</sup>

<sup>1</sup> TNT: Titania Nano Tube

<sup>2</sup> EDLCs

$TiO_2$  به علت ولتاژ کاری بالا، رفتار شبه خازنی خوب و رسانایی الکترونیکی بالا، از بهترین‌ها برای مواد شبه خازنی، محسوب می‌شود. هم‌چنین زیست سازگاری، سمی نبودن برای محیط و انسان، پایداری شیمیایی بالا و فراوانی زیاد، موجب کاربرد زیاد این ماده به عنوان شبه خازن شده است [۳].

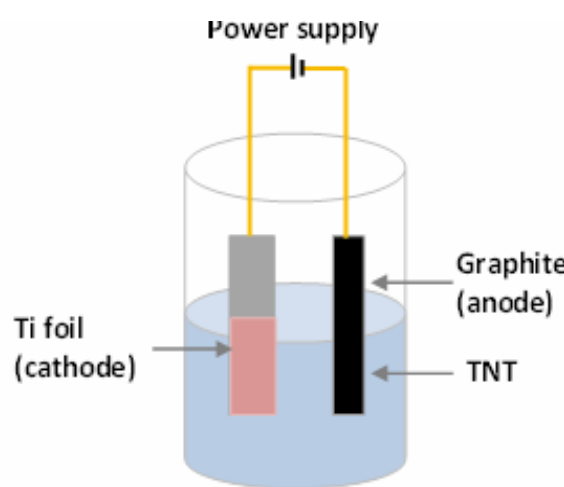
مطالعات زیادی در زمینه TNT به عنوان الکترود ابر خازن، صورت گرفته است (ایندوت [۵۶]، هویی [۷۲]، سالاری [۸۹] و [۱۰] و همکارانشان).



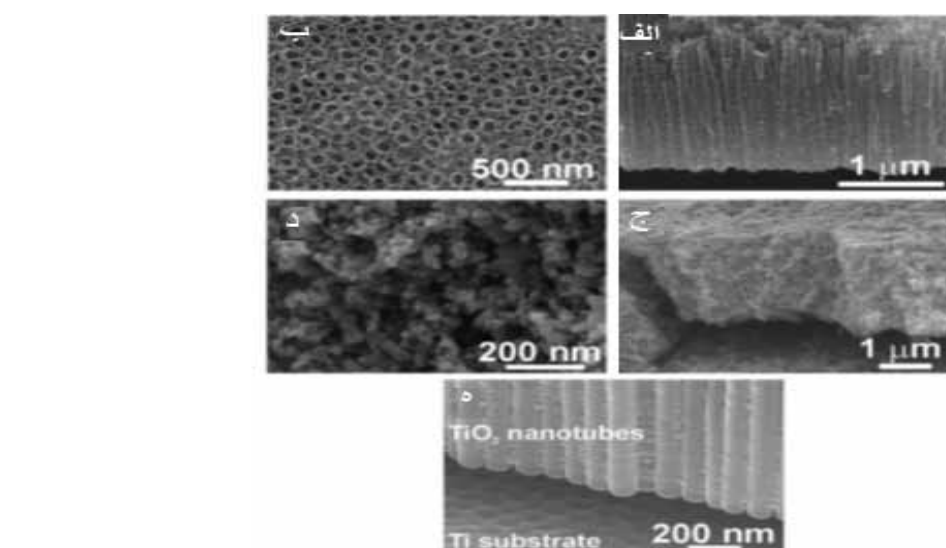
شکل ۱ - طرح‌واره‌ای از ذخیره‌ی شارژ توسط (الف) EDLC و (ب) شبه خازنی [۳].

## ۲- سنتز نانولوله $TiO_2$ به روش اکسیداسیون آندی

اکسیداسیون آندی فرایندی است که طی آن یک لایه اکسید محافظ در سطح فلز مورد نظر به وجود می‌آید که در شکل ۲، به صورت طرح وار نشان داده شده است. برای انجام فرایند از یک منبع جریان مستقیم استفاده می‌شود و فلز مورد نظر به عنوان آند به قطب مثبت و کاتد مورد استفاده که معمولاً از جنس پلاتین و یا کربن است، به قطب منفی متصل می‌شود. با اعمال ولتاژ اتم‌ها در سطح آند با اکسیژن موجود در الکترولیت لایه اکسید را به وجود می‌آورند و در کاتد نیز گاز هیدروژن آزاد می‌شود [۱۱ و ۱۲]. در شکل ۳ نمونه‌ای از نانولوله‌های سنتز شده توسط اکسیداسیون آندی نشان داده شده است. [۱۳]



شکل ۲ - تصویر طرح وار از اکسیداسیون آندی



شکل ۳- تصاویر SEM - از نanolوله‌های  $\text{TiO}_2$  با ضخامت ۱,۸ میکرون، (الف) از مقاطع، (ب) از بالا و تصاویر (ج و د) لایه‌های فشرده شده از زیر ساختار در (ج) متقاطع و (د) از بالا و تصویری) جزئیاتی از فصل مشترک نanolوله‌ها و بستر نشان می‌دهد [۱۳]

### ۳- نanolوله $\text{TiO}_2$ به عنوان ابر خازن

TNT ها به طور گستردگی در کاربردهای سلول‌های خورشیدی، کاتالیست‌ها، دستگاه‌های الکتروشیمیایی و هم چنین سوپر خازن‌ها کاربرد دارند. امروزه سوپر خازن‌ها به علت ذخیره سازی انرژی و سیستم‌های تبدیلی، توجه زیادی را به خود جلب کردند. TNT‌ها به علت پایداری شیمیایی، سطح وسیع، پیوستگی آن با مواد فعال و شارژ و تخلیه‌ی بدون تنزل و پیوسته، باعث بهبود عملکرد ظرفیتی می‌شود. از دیدگاه مکانیزم شارژ، پیشنهاد می‌شود که TNT‌ها در ظرفیت غیر القایی، نقش اندکی داشته باشند[۱۴]. عموماً خازن‌های پایه تیتانیا میتوانند شبیه خازن‌های دولایه الکتریکی متدائل عمل کنند که مثل مکانیزم‌های غیر القایی با ظرفیت ویژه‌ی خیلی کم می‌شود. از دیدگاه مکانیزم شارژ و تخلیه عمل کنند[۱۵]. اما سطح وسیعی که TNT تصرف می‌کند ممکن است منجر به نمونه‌ای با ظرفیت ویژه بالا شود. عملکرد ظرفیتی مناسبی از TNT توسط سالاری و همکاران[۹] به مقدار  $91\ \mu\text{F cm}^{-2}$  در نرخ کاهشی  $s^{-1}$  در  $100\ \text{mV s}^{-1}$  در محلول ۱ مولار KOH گزارش شده است. در مقایسه با پودر تیتانیا، ظرفیت ویژه به دست آمده کمتر از TNT (که برابر  $181\ \mu\text{F cm}^{-2}$  در همان نرخ اسکن می‌باشد و نیز ایندوت و همکاران، تاثیر شرایط تکلیس در عملکرد ظرفیتی الکترود ابرخازنی TNT را بررسی نمودند. آن‌ها نتیجه‌گیری کردند که زمان تکلیس زیاد، موجب ظرفیت خازنی بالاتر می‌شود. به طوری که که ۵ ساعت تکلیس، ظرفیت خازنی را به  $52\ \mu\text{F cm}^{-2}$  می‌رساند؛ در حالی که طی ۱ ساعت تکلیس ظرفیت خازنی به  $16\ \mu\text{F cm}^{-2}$  در نرخ اسکن  $5\ \text{mV s}^{-2}$  می‌رسد [۵] ایندوت و همکاران هم چنین تاثیر پارامتر‌های آندایز را بر روی عملکرد ظرفیتی الکترود TNT بررسی نمودند. آن‌ها از طراحی باکس بنکن<sup>۱</sup> برای بررسی بهترین پارامتر جهت دستیابی به ظرفیت خازنی بالا، استفاده کردند. طبق نتایج آن‌ها، آندایز فویل Ti به مدت ۹۷/۸۷ دقیقه تحت ولتاژ ۷/۱۱ و  $\text{NH}_4\text{F}$  و  $0,42\text{ wt\%}$  دارای بیشترین ظرفیت خازنی ویژه به مقدار  $145/6\ \mu\text{F cm}^{-2}$  بود[۵]. با این وجود مطالعات زیادی برای ارتقا مورفولوژی سطح و هندسه‌ی TNT‌ها صورت گرفته است[۵ و ۱۶]. کما کان ظرفیت خازنی TNT‌ها در مقایسه با سوپر خازن‌های تبدیلی پایه فلزی، اندک است. در واقع اصلاح TNT‌ها توسط روش‌های حرارتی و الکتروشیمیایی و دوب فلزی و غیر فلزی، موجب بهبود ظرفیت خازنی TNT‌ها به عنوان الکترود سوپر خازن‌ها می‌شود.

### ۴- اصلاح نanolوله $\text{TiO}_2$

عالرغم ساختار مورفولوژیکی عالی و سطح، TNT‌های سنتز شده دارای ظرفیت بسیار اندک هستند. اکثراً ظرفیت ویژه‌ی TNT

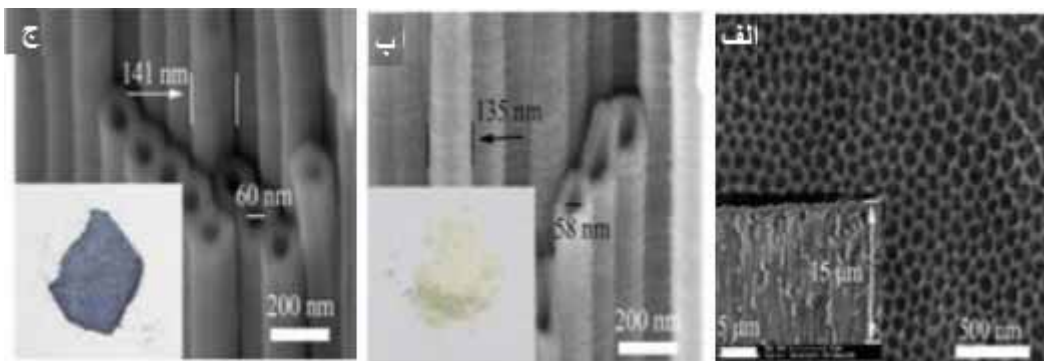
<sup>۱</sup> Box-Behnken

کمتر از  $1\text{ mF cm}^{-2}$  گزارش شده است که از این جهت فقط به خازن‌های دولایه الکتریکی متداول شباهت دارد [۱۸] که این به رسانایی ضعیف TNT مربوط می‌شود [۱۰]. به همین دلیل، اصلاح سطح TNT به روش‌های الکتروشیمیایی و حرارتی، توسط افزودن مواد فعال مانند اکسید فلزات، نیترات، سولفیدها و یا پلیمرهای رسانا، به منظور بهبود رسانایی و ظرفیت، صورت می‌گیرد.

#### ۴-۱- روش‌های اصلاح الکتروشیمیایی-حرارتی

اصلاح TNT به روش الکتروشیمیایی به علت آسانی، سهولت اجرا و هزینه‌ی پایین به طور گسترده استفاده می‌شود. اصلاح اولیه به این روش توسط ماکاک همکاران در سال ۲۰۰۷ انجام شد. کار آن‌ها دوب احیایی برای تشکیل لایه‌ای با رسانایی بالا در قسمت تحتانی لایه‌های TNT بود که در دمای محیط و با آماده سازی ساده صورت گرفت. در فرآیند دوب،  $\text{Ti}^{3+}\text{Ti}^{4+}$  به  $1\%$  در لایه‌های TNT می‌تواند به  $\text{Ti}^{3+}$  احیا شود و تاثیر دوب احیایی در تغییر رنگ فیلم از خاکستری روشن به سیاه دیده می‌شود. مطالعات بعدی توسط ژو و همکاران در سال ۲۰۱۳ صورت گرفت که فرآیند احیای کاتدی برای شناسایی جاهای خالی اکسیژن در TNT بود [۱۸]. علاوه بر جاهای خالی اکسیژن، یک گروه هیدروکسیل بر روی سطح TNT تشکیل می‌شود که منجر به بهبود رفتار الکتروشیمیایی الکترود اصلاح شده می‌شود. به گزارش آن‌ها ظرفیت ویژه‌ی TNT اصلاح شده تا ۱۳ مرتبه بزرگتر از اصلاح نشده‌ی آن است. وو و همکارانش روش دوب الکتروشیمیایی را گسترش دادند تا عملکرد ظرفیتی الکترود TNT را بهبود بخشنند. هیدروژن زدایی انجام گرفته توسط آن‌ها، با روش‌های مطالعه شده توسط ماکاک و ژو مطابق بود و تایید کرد که جای خالی اکسیژن متعلق به احیای  $\text{Ti}^{4+}$  و یون‌های هیدروژن بین نشین می‌باشد. وو و همکاران همچنین اعلام کردند که اصلاح شده، افزایش اندکی در ابعاد لوله نشان می‌دهد اما مورفولوژی لوله را به طور چشمگیری تغییر نمی‌دهد که اثبات می‌کند اصلاح به روش الکتروشیمیایی آسیبی به ساختار وارد نمی‌کند. تغییر رنگ TNT با تغییر رنگ الکترود از خاکستری روشن (TNT) به سیاه (TNT اصلاح شده) در شکل ۴ آورده شده است.

عملکرد ظرفیتی الکترود TNT اصلاح شده، نتایج خوبی را نشان می‌دهد به طوری که ظرفیت خازنی به  $20/80\text{ mF cm}^{-2}$  و  $9/07\text{ mF cm}^{-2}$  در  $4/00\text{ mA cm}^{-2}$  و  $0/50\text{ mA cm}^{-2}$  و در ۲ مولار  $\text{LiSO}_4$  می‌رسد. وو و همکاران همچنین در مورد سوپر خازن خود تشکیل شده<sup>۱</sup> که بر پایه‌ی الکترود TNT اصلاح شده بود، اعلام کردند که ظرفیت آن به  $5/42\text{ mF cm}^{-2}$  با چگالی توان  $27/66\text{ mW cm}^{-2}$  در چگالی جریان  $0/050\text{ mA cm}^{-2}$  می‌رسد. این دستگاه خود تشکیل شده قابلیت نرخ ظرفیتی چشمگیری را از خود نشان می‌دهد به طوری که ۶۰٪ ظرفیت ویژه را زمانی که چگالی جریان از  $4\text{ mA cm}^{-2}$  تا  $0/05\text{ mA cm}^{-2}$  افزایش می‌یابد، نگه می‌دارد.

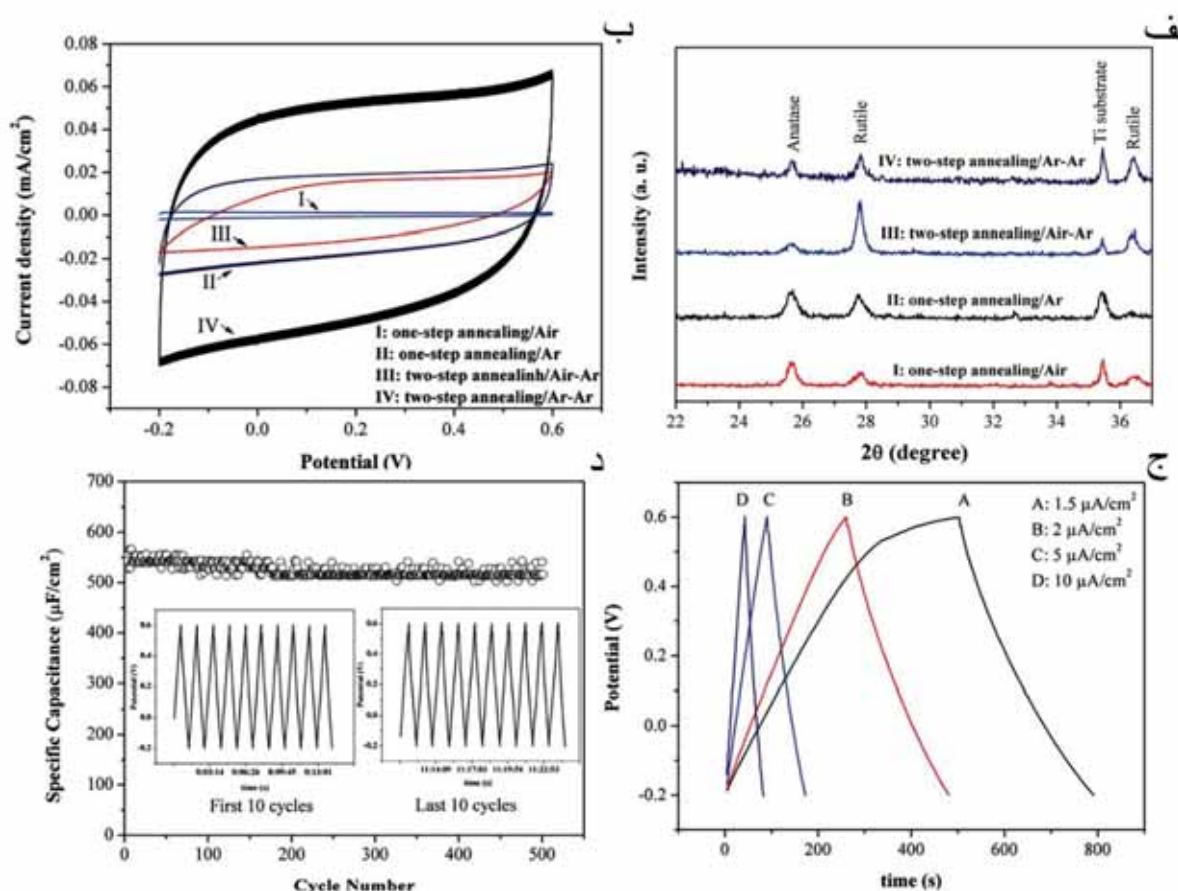


شکل ۴ - FESEM (الف) نمای بالای TNT (ب) مقطع عرضی TNT و (ج) مقطع عرضی TNT اصلاح شده. الحاقی‌ها در شکل (الف) طول ب) رنگ پودر TNT و (ج) رنگ پودر TNT اصلاح شده را نشان می‌دهد [۱۰].

علاوه بر روش الکتروشیمیایی، روش حرارتی نیز به عنوان یکی از روش‌های اصلاح TNT برای بهبود عملکرد الکتروشیمیایی محاسب می‌شود. سالاری و دوستان به احیای  $\text{Ti}^{3+}\text{Ti}^{4+}$  پرداختند که با تهی سازی ساختار اکسیژن، استحاله آناتاز به روتاپل TNT ترغیب شده و منجر به بهبود عملکرد الکتروشیمیایی الکترود می‌شود. [۱۵]. جاهای خالی اکسیژن ایجاد شده درون ساختار TNT

<sup>۱</sup> Self assembled

منجر به بهبود ظرفیت TNT می‌شود. سالاری و همکاران هم چنان گزارش کردند که بهبود ظرفیت ویژه در طول روش حرارتی، مربوط به مکان‌های والانس است که به صورت جزئی کاهش یافته‌اند و بر روی سطح ایجاد شده‌اند و هم چنین به عیوب دیگر می‌شود که در حین عملیات حرارتی وجود دارند، مربوط می‌شود [۱۸]. ولتاوی چرخه‌ای TNT اصلاح شده در شکل ۵(ب)، منحنی تقریباً مستطیل شکل را نشان می‌دهد که دارای مناطق بین نشین بزرگتری نسبت به TNT اصلاح نشده است. ظرفیت ۱ M KCl ۳۰  $\mu\text{F cm}^{-2}$  TNT اصلاح شده  $911 \mu\text{F cm}^{-2}$  گزارش شده است در حالی که این عدد برای TNT اصلاح نشده در شکل ۵(ب) با نرخ  $1 \text{ mV s}^{-1}$  ۱ گزارش شده است. یک رابطه‌ی خطی بین ولتاژ و زمان شارژ و تخلیه در چگالی جریان بالا در شکل ۵(ب) دیده می‌شود که از خازن دو لایه الکترونی القا نشده انتظار می‌رود. اما منحنی اندکی غیر خطی، در چگالی جریان زیاد مشاهده می‌شود که نشانگر واکنش در طول فرآیند شارژینگ می‌باشد. سالاری و دوستان اعلام کردند که این امر ممکن است بخاطر جاهای خالی اکسیژن در حین عملیات حرارتی باشد. TNT اصلاح شده هم چنین پایداری چرخه‌ای مناسبی از خود نشان می‌دهد بطوری که پایداری ظرفیت خوب با  $98\%$  نگهداری ظرفیت حتی بعد از ۵۰۰ چرخه در آن مشاهده می‌شود (شکل ۵(ب)) [۱۵]

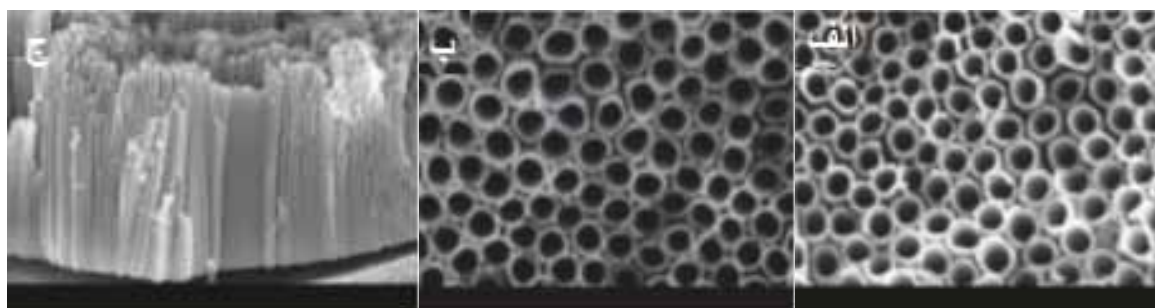


شکل ۵- الگوی XRD (الف)، TNT اصلاح شده و TNT اصلاح نشده (ب) ولتاوی چرخه‌ای همه نمونه‌ها در ۱ M KCl (ج) طرح گالوانوستاتیک شارژ و تخلیه TNT اصلاح شده در چگالی جریان‌های مختلف و (د) پروفایل پایداری چرخه‌ای TNT اصلاح شده [۱۵]

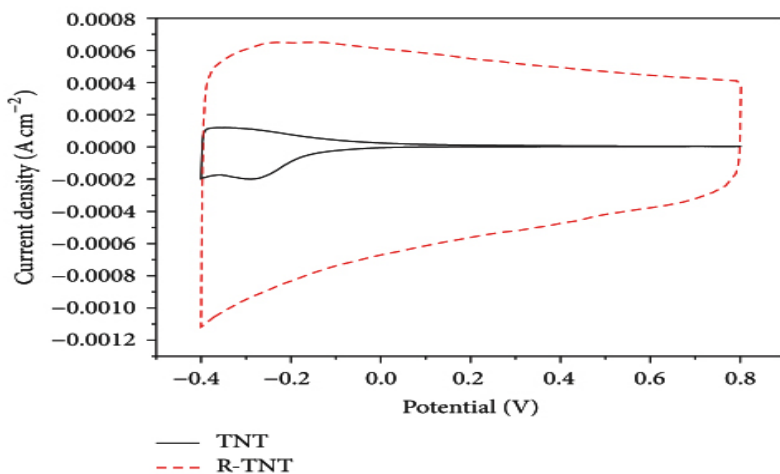
نورول و همکاران [۱۹] هم چنین به اصلاح  $\text{TiO}_2$  به روش احیای الکتروشیمیایی پرداختند. آن‌ها ابتدا TNT را در سلول الکتروشیمیایی دو الکtrode با غلظت گرافیت بالا به عنوان کاتد و فویل تیتانیومی به عنوان آند در الکترولیت پایه اتیلن گیلیکون، سنتز کردند. در مرحله بعدی TNT آندازیر شده به عنوان کاتد و گرافیت غلظت بالا، به عنوان آند در همان سلول الکتروشیمیایی در الکترولیت حاوی  $5\text{ M Na}_2\text{SO}_4$  میرک، احیا الکتروشیمیایی انجام دادند. در شکل ۶ تصویر FESEM نانولوله‌ای احیا شده و نشده را نشان می‌دهد. سایز هندسی نانولوله‌ها بعد احیا الکتروشیمیایی کاهش یافته اما ساختار نانولوله‌ها کماکان بدون تغییر می‌باشد. نانولوله‌ها دارای نظم بالا بوده و به صورت عمودی در یک ردیف قرار گرفته‌اند و منطقه‌ی بزرگی از زیرلایه تیتانیوم را

پوشش می‌دهند. تغییر رنگ TNT و R-TNT از خاکستری تیره به سیاه قابل مشاهده است که مربوط به حضور  $Ti^{3+}$  و افزایش چگالی عیوب در حین احیا می‌باشد.

در شکل ۷ ولتاگرام چرخه‌ای TNT و R-TNT در پیکربندی ۳ الکتروودی را با نرخ اسکن  $200\text{ mVs}^{-1}$  نشان داده است. برخلاف نمونه‌های TNT، R-TNT منحتی‌های مشخصه‌ی خازنی آشکاری بدون پیک را از خود نشان می‌دهند که به واکنش احیا مربوط می‌شود. افزایش چشمگیر در ولتاگرام چرخه‌ای برای نمونه‌ی R-TNT، تقریباً ۳ مرتبه بزرگتر از نمونه‌ی TNT است که منجر به بهبود عملکرد خازنی در آن می‌شود. همچنین شکل تقریباً مستطیلی نمودار ولتاگرام چرخه‌ای نمونه‌ی TNT، برای یک خازن ایده‌آل، قابل انتظار است. داده‌ها نشان می‌دهند که نمونه‌ی R-TNT، به ظرفیت ویژه  $2/81\text{ mFcm}^{-2}$  با نرخ اسکن  $200\text{ mVs}^{-1}$  دست یافته است که ۱۸ مرتبه بزرگتر از نمونه‌ی اصلاح نشده است ( $16\text{ mFcm}^{-2}$ ). این ارتقا به بهبود رسانایی الکتریکی نمونه‌ها مربوط می‌شود که منجر به افزایش چگالی بار می‌شود.



شکل ۶- تصویر FESEM با آرایه‌های منظم (الف) TNT (ب) R-TNT و (ج) سطح جانبی TNT [۱۹]



شکل ۷- ولتاگرام چرخه‌ای TNT و R-TNT در نرخ اسکن  $200\text{ mV}$ . در نرخ اسکن  $200\text{ mVs}^{-1}$  [۱۹]

## ۵- نتیجه‌گیری

- TNT ها به علت ولتاژ کاری بالا، رفتار شبیه خازنی خوب و رسانایی الکترونیکی بالا، از بهترین‌ها برای مواد شبیه خازنی، محسوب می‌شود. هم چنین زیست سازگاری، سمی نبودن برای محیط و انسان، پایداری شیمیایی بالا و فراوانی زیاد، موجب کاربرد زیاد این ماده به عنوان الکتروود سوپر خازن‌ها شده است.
- اکسیدان آندی نسبت به سایر روش‌های سنتز TNT، کنترل بهتری را بر روی مورفولوژی و ابعاد نانولوله‌های دارد. علیرغم ساختار مورفولوژیکی عالی و سطح TNT های سنتز شده، دارای ظرفیت بسیار اندک هستند. اکثراً ظرفیت ویژه‌ی آن‌ها کمتر از  $1\text{ mF cm}^{-2}$  گزارش شده است که از این جهت کاربردشان محدود می‌گردد.
- در اصلاح TNT به روش الکتروشیمیایی، با وجود افزایش اندک ابعاد نانولوله‌ها، تغییری در ساختار رخ نمی‌دهد ولی ظرفیت ویژه در برخی مواقع تا ۱۳ مرتبه افزایش می‌یابد.

- در اصلاح حرارتی نیز افزایش چشگیری در منحنی ولتاگرام چرخه‌ای دیده می‌شود و گزارش شده که ظرفیت ویژه تا  $\mu\text{F cm}^{-2}$  ۹۱۱ افزایش می‌یابد.

## مراجع

- [1] Tyagi A., Singh N., Sharma Y., Gupta RK. Improved supercapacitive performance in electrospun TiO<sub>2</sub> nanofibers through Ta-doping for electrochemical capacitor applications. *Catalysis Today*. 2018 Jun 18.
- [2] Samsudin, N. A., Zainal, Z., Lim, H. N., Sulaiman, Y., & Chang, S. K. (2016). Titania nanotubes synthesised via the electrochemical anodisation method: Synthesis and supercapacitor applications. *Pertanika Journal of Scholarly Research Reviews*, (2016) 2(1): 107-128
- [3] Long, J. W., Bélanger, D., Brousse, T., Sugimoto, W., Sassin, M. B., & Crosnier, O. (2011). Asymmetric electrochemical capacitors—Stretching the limits of aqueous electrolytes. *Mrs Bulletin*, 36(7), 513-522.
- [4] Li, C., Wang, Z., Li, S., Cheng, J., Zhang, Y., Zhou, J., ... & Wang, B. (2018). Interfacial Engineered Polyaniline/Sulfur-Doped TiO<sub>2</sub> Nanotube Arrays for Ultralong Cycle Lifetime Fiber-Shaped, Solid-State Supercapacitors. *ACS applied materials & interfaces*, 10(21), 18390-18399.
- [5] Endut, Z., Hamdi, M., & Basirun, W. J. (2013). Optimization and functionalization of anodized titania nanotubes for redox supercapacitor. *Thin Solid Films*, 549, 306-312.
- [6] Endut, Z., Hamdi, M., & Basirun, W. J. (2013). Supercapacitance of bamboo-type anodic titania nanotube arrays. *Surface and Coatings Technology*, 215, 75-78.
- [7] Wu, H., Xu, C., Xu, J., Lu, L., Fan, Z., Chen, X., ... & Li, D. (2013). Enhanced supercapacitance in anodic TiO<sub>2</sub> nanotube films by hydrogen plasma treatment. *Nanotechnology*, 24(45), 455401.
- [8] Salari, M., Aboutalebi, S. H., Chidembo, A. T., Konstantinov, K., & Liu, H. K. (2014). Surface engineering of self-assembled TiO<sub>2</sub> nanotube arrays: A practical route towards energy storage applications. *Journal of Alloys and Compounds*, 586, 197-201.
- [9] Salari, M., Aboutalebi, S. H., Konstantinov, K., & Liu, H. K. (2011). A highly ordered titania nanotube array as a supercapacitor electrode. *Physical Chemistry Chemical Physics*, 13(11), 5038-5041.
- [10] Wu, H., Li, D., Zhu, X., Yang, C., Liu, D., Chen, X., ... & Lu, L. (2014). High-performance and renewable supercapacitors based on TiO<sub>2</sub> nanotube array electrodes treated by an electrochemical doping approach. *Electrochimica Acta*, 116, 129-136.
- [11] Kuang, Q., Lin, Z. W., Lian, W., Jiang, Z. Y., Xie, Z. X., Huang, R. B., & Zheng, L. S. (2007). Syntheses of rare-earth metal oxide nanotubes by the sol-gel method assisted with porous anodic aluminum oxide templates. *Journal of Solid State Chemistry*, 180(4), 1236-1242.
- [12] Zlamal, M., Macak, J. M., Schmuki, P., & Krýsa, J. (2007). Electrochemically assisted photocatalysis on self-organized TiO<sub>2</sub> nanotubes. *Electrochemistry Communications*, 9(12), 2822-2826.
- [13] Yu, Z., Tetard, L., Zhai, L., & Thomas, J. (2015). Supercapacitor electrode materials: nanostructures from 0 to 3 dimensions. *Energy & Environmental Science*, 8(3), 702-730.
- [14] Conway, B. E., & Pell, W. G. (2003). Double-layer and pseudocapacitance types of electrochemical capacitors and their applications to the development of hybrid devices. *Journal of Solid State Electrochemistry*, 7(9), 637-644.
- [15] Salari, M., Aboutalebi, S. H., Chidembo, A. T., Nevirkovets, I. P., Konstantinov, K., & Liu, H. K. (2012). Enhancement of the electrochemical capacitance of TiO<sub>2</sub> nanotube arrays through controlled phase transformation of anatase to rutile. *Physical Chemistry Chemical Physics*, 14(14), 4770-4779.
- [16] Raj, C. C., Sundheep, R., & Prasanth, R. (2015). Enhancement of electrochemical capacitance by tailoring the geometry of TiO<sub>2</sub> nanotube electrodes. *Electrochimica Acta*, 176, 1214-1220.
- [17] Xiao, P., Liu, D., Garcia, B. B., Sepehri, S., Zhang, Y., & Cao, G. (2008). Electrochemical and photoelectrical properties of titania nanotube arrays annealed in different gases. *Sensors and Actuators B: Chemical*, 134(2), 367-372.
- [18] Salari, M., Konstantinov, K., & Liu, H. K. (2011). Enhancement of the capacitance in TiO<sub>2</sub> nanotubes through controlled introduction of oxygen vacancies. *Journal of Materials Chemistry*, 21(13), 5128-5133.
- [19] Samsudin, N. A., Zainal, Z., Lim, H. N., Sulaiman, Y., Chang, S. K., Lim, Y. C., ... & Nadrah, W. (2018). Enhancement of Capacitive Performance in Titania Nanotubes Modified by an Electrochemical Reduction Method. *Journal of Nanomaterials Volume 2018*, Article ID 9509126, 9 page

# بررسی ویژگی‌های قالب‌های سرامیکی پرهای توربین تک کریستال و پلی کریستال در ریخته‌گری دقیق

امیر حسین واحدی فر<sup>۱</sup>، علی رضا میرک<sup>۲</sup>

<sup>۱</sup> دانشجوی کارشناسی ارشد، دانشگاه آزاد اسلامی، واحد علوم و تحقیقات

<sup>۲</sup> عضو هیئت علمی دانشگاه صنعتی مالک اشتر



مهندس امیر حسین واحدی فر،  
نویسنده‌ی اول مقاله، دانشگاه  
آزاد اسلامی واحد علوم و  
تحقیقات

**چکیده:** پرهای توربین بر اساس ساختار کریستالوگرافی و کنترل ریزساختار به ۳ دسته تقسیم می‌شوند و در واقع ۳ روش برای کنترل رشد دانه‌ها در ساخت پرهای توربین داریم. بر اساس این ۳ روش موجود خواص قالب‌ها نیز متفاوت خواهد بود. در این مقاله به بررسی ویژگی‌های مورد نیاز قالب‌های سرامیکی پوسته‌ای مورد استفاده در ریخته‌گری دقیق پرهای توربین پلی کریستال و انجام جهت دار تک کریستال، و بیان تفاوت‌های موجود، پرداخته‌ایم. در بررسی‌های به عمل آمده، پرهای توربین انجام جهت دار تک کریستال در دمای کاری بالاتری استفاده می‌شوند و در نتیجه ریخته‌گری آنها در دمای نزدیک به ۱۵۰۰ درجه سانتی‌گراد و در مدت زمان نگهداری حدود ۲ ساعت انجام می‌شود که نسبت به گردید پلی کریستال دمای بالاتری محسوب می‌شود، در نتیجه خواص قالب نیز باستانی مناسب با این شرایط کاری باشد.

**کلمات کلیدی:** قالب سرامیکی پوسته‌ای، ریخته‌گری دقیق، پرهای توربین انجام جهت دار، پرهای پلی کریستال.

## ۱- مقدمه

پرهای توربین از اجزا مجموعه توربین‌های گازی هستند که با هندسه و ساختار و ویژگی‌های مکانیکی خاص و با تلوارans ابعادی دقیق ساخته می‌شوند. پرهای توربین تک کریستال در محیط‌های دما بالا و فشار بالا و پرتنش استفاده می‌شوند پرهای توربین با روش ریخته‌گری مذاب آبیاژ در قالب سرامیکی پوسته ای تولید می‌شوند و قالب پوسته ای تک کریستال تحت دمای ۱۵۰۰ درجه سانتی‌گراد قرار می‌گیرد. بنابراین، کیفیت قالب سرامیکی مورد مصرف در ریخته‌گری جهت‌دار، به صورت مستقیم بر کارایی، دقت ابعادی، درصد تولید محصول و هزینه تولید قطعه سوپرآبیاژ تک کریستال تاثیرگذار است [۱]. آقای بیلی<sup>۱</sup> در سال ۱۹۹۵ ویژگی‌های مورد نیاز قالب‌های سرامیکی مورد استفاده در ساخت پرهای پلی کریستال را عنوان کرد [۲]. در سال ۲۰۰۳ آقای جونز و همکارانش<sup>۲</sup> در تحقیقات خود، روشی برای تولید قالب‌های سرامیکی با افزودن فیبر معرفی نمودند و درنهایت با قالب‌های ساخته شده با افزودنی پلیمری مقایسه کردند که، تحقیقات اولیه نشان دادند، افزودن فیبر از نظر زمان، اقتصادی و وزن قالب ایجاد شده برای ساختن قالب استاندارد ریخته‌گری دقیق بسیار مفید است [۳]. وو و همکارانش<sup>۳</sup> در سال ۲۰۱۳ یک روش تولید داخلی برای تولید قالب‌های سرامیکی برای تولید پرهای توربین پیچیده ایجاد کرده‌اند که تلفیقی از تکنولوژی استریولیتوگرافی و ریخته‌گری ژل<sup>۴</sup> است [۴]. در تحقیقات سال ۲۰۱۴ آقای دانگ<sup>۵</sup> و در سال ۲۰۱۵ آقای کوبیاک<sup>۶</sup> به صورت اختصاصی ویژگی‌های قالب‌های مورد استفاده در ریخته‌گری دقیق پرهای توربین انجام جهت دار گزارش شد [۵، ۶]. در نهایت در سال ۲۰۱۸

<sup>1</sup> P.R.Beeley

<sup>2</sup> S. Jons

<sup>3</sup> Wu et al.

<sup>4</sup> Stereolithography- gelcasting

<sup>5</sup> H. Dong

<sup>6</sup> K. Kubiak

آقای زلینگ ژو<sup>۱</sup> و همکارانش رفتار مکانیکی و ریز ساختار دما بالای قالب های سرامیکی پایه آلمینیا برای ریخته گردی جهت دار بررسی شد. آنها گزارش کردند که عملیات حرارتی باعث پر شدن حفرات توسط فاز شیشه ای سیلیکاتی می شود که باعث افزایش استحکام فشاری قالب ها در دمای اتاق می شود.<sup>[۷]</sup> در این مقاله ضمن معرفی ویژگی های قالب های سرامیکی در ساخت پره های توربین با گرید پلی کریستال و انجام داده دار، خواص حرارتی قالب های گرید انجام داده دار تحلیل شده است.

## ۲- ویژگی های قالب سرامیکی پوسته ای پلی کریستال و انجام داده دار

خواص اصلی قالب های ریخته گردی دقیق پره های توربین، چه در گرید پلی کریستال و چه در گرید انجام داده دار، عمدتاً یکسان هستند. علت این است که این قالب ها از مواد اولیه مصرفی و روش ساخت یکسانی بهره می بردند، که تعیین ترکیب این قالب ها وابسته به نوع آلیاژ و دمای کاری مورد استفاده می باشد. به عبارت دیگر، پوسته سرامیکی به دور مدل مومی، شامل چند لایه یا چند مرحله ای پوشش داده می شود. معمولاً این فرآیند بین ۵ تا ۱۵ مرحله و بر اساس نیاز قالب و استحکام مدنظر می باشد. که این خود نمونه ای از تفاوت های این قالب هاست.<sup>[۲]</sup> آقای جونز و همکارانش در تحقیقات خود در گرید پلی کریستال با ۴ لایه پوشش و قطر پوسته ۴/۶ میلی متر استفاده کردند.<sup>[۳]</sup> این در حالی است که آقای زلینگ ژو در سال ۲۰۱۸ برای گرید انجام داده دار از قالب ۷ لایه ای با ضخامت ۸/۸ میلیمتر استفاده نموده است. البته ضخامت قالب ها بسته به نوع آلیاژ مصرفی نیز متغیر هستند. اما در گرید انجام داده دار ضخامت لایه ها بیشتر است.<sup>[۷]</sup>

در مرحله بعدی، هر پوشش با فروبردن مدل مومی درون دوغاب سرامیکی تهیه می شود. نمونه پوشش داده شده برای مدت کوتاهی خشک می شود و یک پوشش<sup>۲</sup> عاری از شیارها و مسیرهای<sup>۳</sup> سطحی ایجاد می شود. قبل از آنکه لایه پوشش داده شده خشک شود، بر روی سطح پوشش داده شده با ذرات درشت سرامیکی به اصلاح استوکو پاشیده می شود، این ذرات پاشیده شده به لایه زیرین سرامیکی که هنوز خشک نشده اند، می چسبند، با تکرار این کار، ضخامت قالب پوسته ای سرامیکی با تعداد مراحل کمتر، افزایش می یابد. ترکیب دوغاب و انتخاب استوکو در قالب های گرید پلی کریستال و تک کریستال متفاوت است. در جدول ۱ مقایسه ای از مواد مصرفی در لایه های دو گرید، نشان شده است. همانطور که مشخص است، این تفاوت ها نه تنها بین دو گرید فوق، بلکه برای ساخت پره ها در یک گرید مشابه نیز تفاوت دارد.

جدول ۱- مقایسه ترکیبات مورد استفاده در ساخت قالب های سرامیکی پوسته ای [۳ و ۵ و ۸]

بايندر لایه اول	دوغاب لایه اول	استوکو لایه اول	بايندر لایه ساختاری	دوغاب لایه ساختاری	استوکو لایه ساختاری
پایه آبی-سیلیکاتی	سیلیکات زیرکونیم-مش	سیلیکات آلمینیا-مش	پایه آبی-سیلیکاتی	آلومینا سیلیکات-مش	سیلیکات آلمینیا-مش
سل سیلیس کلوئیدی	سیلیکات زیرکونیم-مش ۳۲۵	فیوزد آلمینیا-مش ۸۰	بایندر شامل فیوزد سیلیکا-آلومیناسیلیکات-زیرکون	فیوزد آلمینیا-مش ۳۲۵	فیوزد مولایت-مش ۴۸
سیلیکای کلوئیدی	فیوزد آلمینیا-مش ۲۰۰	فیوزد آلمینیا-مش ۱۰۰	-	پایه آبی-سیلیکاتی	سیلیکات آلمینیا-مش ۱۰۰
بايندر لایه اول	دوغاب لایه اول	استوکو لایه اول	بايندر لایه ساختاری	دوغاب لایه ساختاری	استوکو لایه ساختاری

مواد سرامیکی با تنوع و گسترده‌گی زیادی مصرف می شوند، از جمله پودر سیلیکا، آلمینا سیلیکات، آلمینا و سیلیکات زیرکونیوم. در واقع تفاوت این قالب ها به تفاوت در روش تولید پره های توربین بر می گردد. به عنوان مثال؛ مشخصات گرمایی قالب پوسته ای می تواند بر انجام آلیاژ اثر بگذارد، و استحکام قالب بر سایر مشخصات ریخته گردی و عیوب ریخته گردی تأثیرگذار باشد. عدم

<sup>۱</sup> Zilin Xu

<sup>۲</sup> Covering

<sup>۳</sup> Drips and runs

آگاهی و درک صحیح از اصول پوسته گذاری و همچنین مواد خام مورد استفاده از در ساخت پوسته، باعث عدم کنترل مناسب بر فرآیند می‌شود. بنابراین باعث می‌شود که خواص پوسته تهیه شده در نمونه‌های مختلف، تکرار پذیر نبوده و دائماً تغییر کند.

ویژگی‌های مورد نیاز قالب‌های سرامیکی پوسته‌ای به صورت زیر می‌باشد:

- (۱) استحکام خام مناسب، به منظور سهولت خارج کردن موم بدون شکست قالب.
- (۲) استحکام مناسب بعد از پخت، جهت تحمل وزن و نیروی آلیاژ ریخته‌گری.
- (۳) به حد کافی ضعیف<sup>۱</sup> باشد تا از پارگی گرم آلیاژهای حساس جلوگیری شود.
- (۴) مقاومت به شوک حرارتی بالا جهت عدم شکست در زمان ریخته‌گری آلیاژ مذاب.
- (۵) پایداری شیمیایی بالا.
- (۶) نفوذ پذیری و واکنش کم با مذاب آلیاژ.
- (۷) نفوذپذیری گازی و ضریب انتقال حرارت مطلوب جهت کنترل روند خنک شدن و انجماد.
- (۸) ضریب انبساط حرارتی پایین، جهت کاهش تغییرات ابعادی در قالب و قطعه ریخته‌گری.
- (۹) عدم جوانه زنی توسط سوپرآلیاژ بر روی سطح قالب سرامیکی (این ویژگی مختص قالب‌های تک کریستال است).

قبلاً هم اشاره شد که به دلیل تنوع آلیاژهای ریخته‌گری، محصولات مدنظر، ابعاد و هندسه‌های مختلف، مواد مختلفی را می‌توان به عنوان مواد تشکیل‌دهنده قالب استفاده کرد و خواص مختلفی نیز از قالب مورد نظر می‌باشد<sup>[۳]</sup>. در ذیل سعی می‌شود خواص منحصر بفرد قالب‌های سرامیکی بررسی گردد.

## ۲-۱- واکنش بین قالب و مذاب

ناهمواری سطح قالب باعث ناهمواری سطح قطعه ریخته‌گری می‌شود، باید در این موقع علاوه بر نفوذ ذرات استوکو، به خاصیت تر شوندگی بین سطح درونی قالب و مذاب آلیاژ توجه شود. ناهمواری سطحی که ناشی از نفوذ آلیاژ مذاب به حفرات قالب است، عموماً زمانی رخ می‌دهد که ترشوندگی بین سطح قالب و مذاب آلیاژ بالا باشد. با افزایش دمای آلیاژ ریخته شده، میزان ترشوندگی افزایش می‌باید، یعنی زاویه تماس کاهش می‌باید<sup>[۲]</sup>.

دمای کاری پرهای انجماد جهت دار بالاتر از پلی کریستال است، در نتیجه احتمال نفوذ مذاب به درون حفرات قالب بیشتر است. بنابراین لایه اول اصلی ترین لایه قالب است. به دلیل این که درونی ترین لایه و اولین لایه با مدل و با مذاب آلیاژ فلزی در تماس خواهد بود. این لایه با از نظر دمایی پایدار باشد و با مذاب نیز واکنش ندهد. اصلی ترین مشخصه لایه اول ضخامت آن است. این لایه باید به قدری ضخیم باشد تا دانه‌های استوکو قادر نباشند آن را تخریب کنند. اگر لایه اول شکسته شود و ذرات استوکو وارد مذاب شوند، در اثر انجماد درون آلیاژ خواهند بود و ناخالصی غیرفلزی تشکیل می‌شود. لایه خیلی ضخیم نیز، باعث ناخالص شدن<sup>۲</sup> مذاب آلیاژی شوند<sup>[۵]</sup>. بحث دیگر در این موضوع، عدم جوانه زنی مذاب بر روی لایه اول است که در پرهای تک کریستال مشکلی ایجاد نمی‌کند<sup>[۶]</sup>. در بررسی‌های به عمل آمده توسط آقای سلیکا<sup>۳</sup>، واکنش بین قالب و مذاب گزارش شده است (شکل ۱).

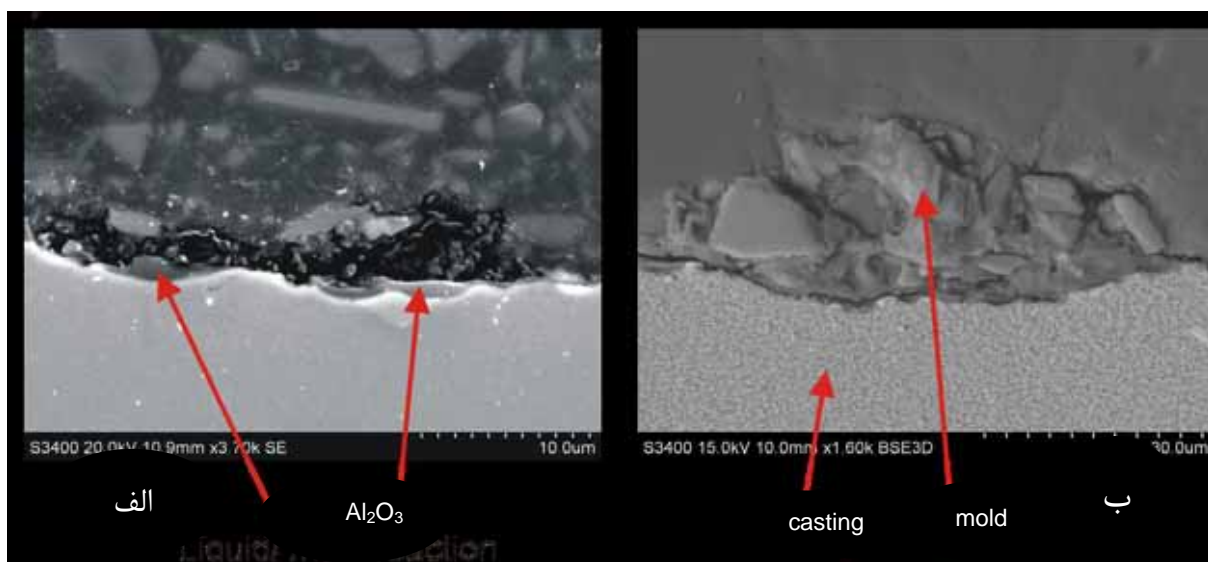
۱- بعد از ریختن مذاب آلیاژ، مذاب با لایه اصلی قالب در تماس است. در اثر واکنش بین آلومینیوم موجود در مذاب و سلیکای موجود در قالب، آلومینا به صورت دندریتی از سطح قالب تشکیل می‌شود شکل ۱ الف. دندریت درون آلیاژ مذاب رشد می‌کند و در نهایت پس از جدایش از مذاب به سطح قالب چسبیده است. به عبارت دیگر در سطح قالب، جوانه زنی صورت گرفته است.

۲- جدا شدن لایه اکسید آلومینیوم از سطح قطعه (کاهش حجم قطعه)، باعث افزایش فاصله بین قطعه و قالب می‌شود، در نتیجه سطح قطعه مجدداً اکسید می‌شود و لایه اکسید مخلوط شامل عناصر نیکل، کروم، تیتانیم و ...) تشکیل می‌شود. لایه اکسید مخلوط رشد می‌کند، هرچند که حجم لایه اکسیدی کمتر از حجم فضای خالی است (شکل ۱ ب)<sup>[۹]</sup>.

<sup>1</sup> weak

<sup>2</sup> Infiltration

<sup>3</sup> D. Szeliga



شکل ۱- واکنش بین قالب و مذاب ریخته گری شده. (الف) تشکیل یک لایه آلمینیا در اثر واکنش بین سیلیکا از قالب سرامیکی و آلمینیوم موجود در مذاب. (ب) تشکیل لایه اکسیدی در سطح قطعه و قالب [۹].

## ۲-۲- زبری سطح

زبری سطحی قالب بر روی کیفیت سطح قطعه ریخته گری تأثیر گذار است و کیفیت سطحی قطعه ریخته گری شده اساساً وابسته به کیفیت سطحی قالب سرامیکی و همچنین آسیب‌های وارد شده به قطعه در زمان خارج کردن قطعه از قالب و ... است. به علاوه، سطح الگوی موئی نیز بر کیفیت سطحی قالب و قطعه ریخته گری تأثیر گذار است [۱۰].

طبق بررسی‌های به عمل آمده توسط آقای دفگ لیا<sup>۱</sup> و همکارانش بر روی قالب‌های پلی کریستال، با استفاده از روش فوم فداشونده و پوشش ارتقا دهنده کیفیت سطحی در ریخته گری دقیق، بر روی قالب شامل ۳ لایه بررسی شده است. اولین لایه پوشش ایجاد شده در تماس مستقیم با آلیاژ مذاب است، در نتیجه دوغاب این پوشش تأثیر زیادی بر کیفیت سطحی قطعه خواهد داشت. برای بررسی اثر نوع بایندر بر کیفیت سطحی قالب و قطعه ریخته گری، لایه اولیه سرامیکی به ترتیب با بایندرهای سیلیکات سدیم، سُل سیلیکا و هیدرولیسات اتیل<sup>۲</sup> تهیه شده است [۱۰ و ۲].

انتخاب مواد و همچنین پارامترهای فرآیند هر دو بر کیفیت سطحی قطعه ریخته گری تأثیر گذار است. این پارامترها شامل: نوع بایندر، اندازه ذرات پرکننده و نسبت ذرات اضافه شده به دوغاب. در تحقیق مورد اشاره برای بررسی اثر اندازه ذرات فیلر استفاده شده بر زبری سطحی، از ذرات بوکسیت با مش بندی متفاوت برای ساخت دوغاب اولیه استفاده شده است [۵].

زبری سطحی قالب با افزایش اندازه عدد مش ذرات کاهش می‌یابد. با افزایش عدد مش ذرات تا ۲۰۰، ضخامت کاهش یافته و به ۲/۴ میکرومتر می‌رسد و سپس در این مقدار ثابت می‌ماند. به همین دلیل است که در قالب‌های انجماد جهت دار از ذرات با اندازه دانه ریزتر استفاده می‌کنیم (جدول ۱). زیرا کیفیت سطحی قالب برای ما بسیار اهمیت دارد و قالب ما نباید باعث ایجاد مراکز جوانه زنی شود، که این مسئله در قالب‌های مورد استفاده در گرید پلی کریستال مهم نمی‌باشد [۲].

تعداد و اندازه حفرات انقباضی تعیین کننده زبری سطحی است. با درشت‌تر شدن دانه‌های فیلر، فاصله بین ذرات افزایش می‌یابد و این باعث بزرگ شدن حفرات انقباضی می‌شود [۱۰]. همانطور که در شکل ۲ ب مشخص است که کیفیت سطحی پوسته سرامیکی به دلیل حذف شدن ناهمواری‌ها و زبری‌ها به شدت افزایش یافته است. کیفیت سطحی با ایجاد پوشش فشرده و یکنواخت بهبود یافته است. پوشش نه تنها شیارهای فوم را بر طرف می‌کند بلکه از طرفی از ورود دوغاب به درون حفرات ریز فوم جلوگیری می‌کند. پوشش نیترو سولولز باعث می‌شود تا زبری سطحی فوم و قالب کاهش یابد.

در قالب‌های انجماد جهت دار به دلیل انجام عملیات حرارتی و پر شدن حفرات توسط سیلیکا این حفرات انقباضی کمتر است [۷].

<sup>1</sup> Defeng Liao

<sup>2</sup> hydrolysates of ethyl

کیفیت ریزساختار سطحی و همچنین زبری سطحی قالب و در نتیجه قطعه ریخته‌گری شده وابسته به استفاده از ذرات استوکو و ذرات پودر مناسب که برای ساخت دوغاب پوشش اولیه استفاده شده است [۱۱].



شکل ۲- مورفولوژی سطح پوسته سرامیکی (الف) الگوی فوم بدون پوشش در سطح پوشش‌ها (ب) الگوی فوم پوشش داده شده با صاف کردن سطح [۱۰].

### ۳-۲- استحکام خام و پخت دما بالا

استحکام خام قالب‌ها عبارت است از عدم ترک خوردن قالب به هنگام خروج موم و یا در اثر حمل و نقل. فرآیند خروج موم به خارج کردن الگوی از جنس موم، از درون قالب پوسته‌ای سرامیکی گفته می‌شود که خود می‌تواند باعث ایجاد لایه‌لایه شدن شود [۱۱]. بایندرهای مورد استفاده در قالب‌های پلی کریستال معمولاً شامل ۳۰-۲۰٪ نسبت وزنی سیلیکای آمورف می‌باشند که با افزودن یون سدیم پایدار می‌شوند. بایندرهای کلوئیدی، استحکام خام به قالب می‌دهند، به همین دلیل در زمان خروج موم و کار با قطعه، ترک خوردن بسیار محتمل است. برای رفع این مشکل از پلیمرهای مایع استفاده می‌شود. برای بایندرهای آلکالین از لاتکس و برای بایندرهای اسیدی از PVA استفاده می‌شود. افزودن پلیمر باعث افزایش استحکام حالت خام قالب شده و از طرفی در زمان ایجاد پوشش‌های بعدی، مانع از انتقال آب و رطوبت به پوشش زیرین می‌شود. استفاده از سدیم باعث تسريع بلورینه شدن می‌شود، در نتیجه قالبی مستحکم ایجاد می‌شود.

پوسته سرامیکی باید توانایی تحمل دماهای بسیار بالا را داشته باشد و اگر مواد دوغاب و استوکو صحیح انتخاب شود، قابلیت استفاده برای آلیاژهای متنوع و روش‌های ریخته‌گری مختلف را خواهد داشت [۲].

سه دلیل وجود دارد که قالب قبل از کاربرد در ریخته‌گری پخته می‌شود:

۱- برای حذف شدن باقی‌مانده‌های مواد موم الگو و محلول‌های سرامیکی

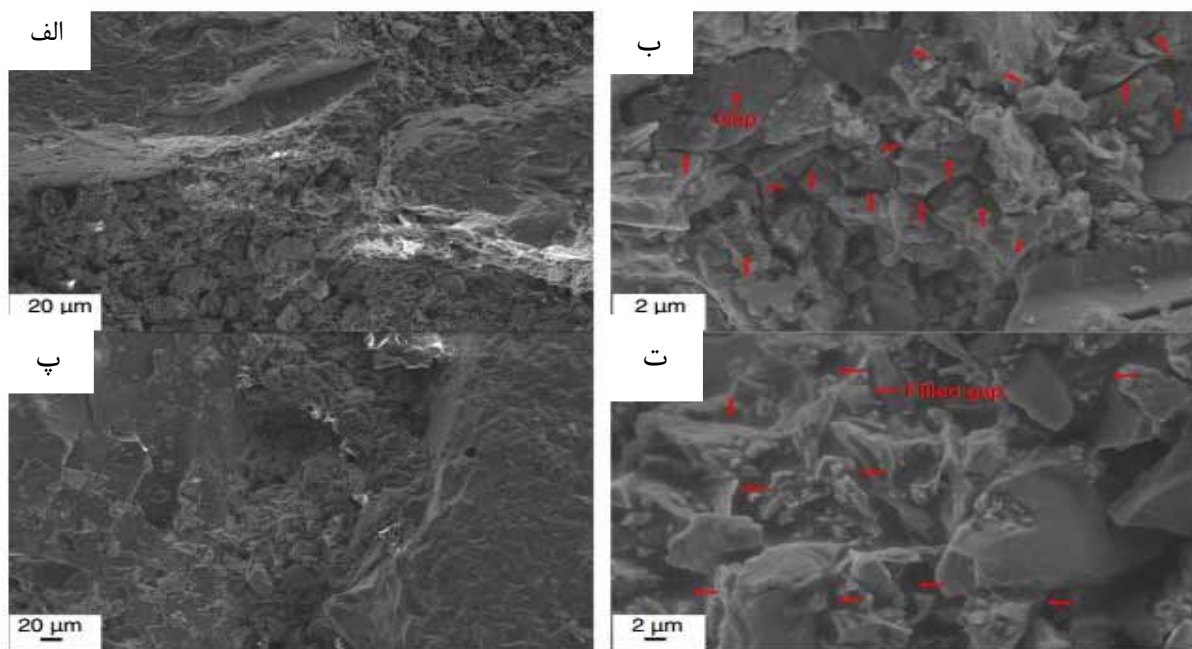
۲- زینتر شدن ساختار سرامیکی

۳- آماده کردن قالب برای ریخته‌گری در دماهای مشخص از پیش تعیین شده

برای رسیدن به حد خنثی بودن مناسب قالب و همچنین پایداری مناسب، پخت قالب‌های پلی کریستال در بازه دمایی ۵۰۰-۸۰۰ درجه سانتی گراد و عملیات حرارتی آنها در بازه ۹۵۰-۱۱۰۰ درجه سانتی گراد انجام می‌شود. در صورتی که همین فرآیند مربوط به ریخته‌گری جهت‌دار، پخت در بازه دمایی ۹۵۰-۱۱۰۰ و عملیات حرارتی در دمای ۱۵۰۰ درجه سانتی گراد استفاده می‌شود. در این فرآیند، آلیاژ مذاب باید برای ۲ ساعت به صورت مذاب باقی بماند در حالی که انجماد پیش روی می‌کند، دمای قالب باید بالاتر از دمای ذوب آلیاژ مصرفی باشد. سوپر آلیاژهای تک کریستال در بازه دمایی ۱۵۰۰-۱۶۰۰ درجه سانتی گراد ذوب می‌شوند. اما قالب‌های ساخته شده با سیلیکا در گردید پلی کریستال محدود به بیشینه دمای ۱۵۵۰ درجه سانتی گراد است، زیرا دمای ذوب سیلیکا نیز در همین حدود است [۲].

تحقیقات نشان داده‌اند که استحکام پخت قالب‌های سرامیکی انجام دار می‌باشد از قالب‌های معمولی بالاتر باشند. در

بررسی‌های آقای زلینگ <sup>۱</sup> بر روی قالب‌های انجام داده، همانطور که در شکل ۳ ب مشخص است، در نمونه زینتر شده، بین ذرات، فاصله<sup>۲</sup> زیادی مشاهده می‌شود، در حالی که در نمونه عملیات حرارتی شده این فاصله‌های کوچک پر شده و مجدداً زینتر شده و ذرات درشت تر تشکیل شده است (شکل ۳ ت). ترکیب موجود در فاصله‌های موجود غالباً کریستوبالیت بتا است که در دمای اتاق به کریستوبالیت آلفا تبدیل می‌شود. در اثر زینتر مجدد، استحکام قالب سرامیکی در دمای اتاق مجدداً افزایش می‌یابد[۷و۸].



شکل ۳ - تصویر SEM ریزساختار نمونه‌های زینتر شده و عملیات حرارتی شده. (الف و ب) ریزساختار زینتر شده در دو بزرگنمایی مختلف. (پ و ت) ریزساختار نمونه عملیات حرارتی شده در دو بزرگنمایی [۷]

#### ۴-۲- ضریب انبساط حرارتی

یکی از مشخصات برجهسته در بررسی قالب‌ها، افزایش و کاهش حجم و یا یکنواخت نبودن ضریب انبساط حرارتی با افزایش دما برای هر قالبی است. برای مثال در برخی دماهای بالاتر از ۹۰۰ درجه سانتی‌گراد، افزایش حجم یکنواخت است اما در ادامه با افزایش حرارت افت می‌کند. در واقع، ماده روند کاهش حجم را طی می‌کند. دمایی که در آن کاهش حجم داریم، نه تنها برای فرمول‌های مختلف مواد قالب بلکه با تغییر مواد مصرفی فیلر و استوک<sup>۳</sup> مورد استفاده در ساخت نمونه نیز تا حدی<sup>۴</sup> متفاوت خواهد بود[۹].

نکته دیگری که باید در تحلیل داده‌های انبساط حرارتی مورد توجه باشد، نرخ اعمال حرارت نتایج را تغییر خواهد داد. بدون درک صحیح از فعل و افعال اساسی شیمیایی و فیزیکی در ساختار سرامیکی مواد قالب در مرحله پخت قالب، تحلیل و توجیه مشخصات قالب سخت می‌باشد[۹].

فرآیند دیگری که به خوبی شناخته شده است و در ذرات سرامیکی در حال گرم شدن و سرد شدن رخ می‌دهد، استحاله فازی<sup>۵</sup> است، این تغییرات می‌تواند باعث دفرم شدن و انحنای شدن قالب پوسته‌ای شود. سیلیکا هم ممکن است به صورت فاز آمورف-شیشه‌ای<sup>۶</sup> باشد و هم به صورت بلوری در ساختارهای فازی و با چگالی‌های مختلف باشد. تمام این فرم‌های مختلف سیلیکا قابل

<sup>1</sup> Zilin Xu

<sup>2</sup> gap

<sup>3</sup> different batches of filler or stucco

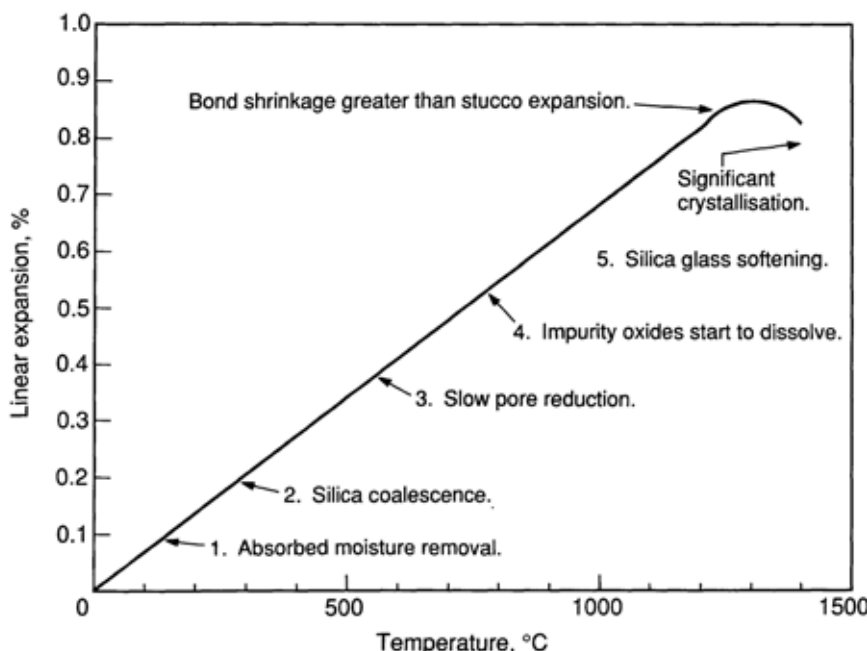
<sup>4</sup> Marginally

<sup>5</sup> Phase change

<sup>6</sup> fused silica

تبديل به یکدیگر هستند، این تغییرات با تغییر چگالی همراه است (شکل ۴). در حالت بلوری، تغییر حجم در یک دمای مشخص و به صورت ناگهانی رخ می‌دهد. سیلیکای آمورف مانند استوکوهای سیلیکایی آمورف و یا ساختار ژل بایندر سیلیکایی، در دماهای بالا بلوری می‌شود. درصد قابل ملاحظه‌ای کریستوبالیت در دماهای بالاتر از ۱۰۰۰ درجه سانتی‌گراد تشکیل می‌شود. رخ بلورینه شدن بستگی به زمان و دمای پخت قالب سرامیکی و همچنین نوع و درصد ناخالصی‌های موجود در ترکیب قالب دارد. تلفیق سیلیکای آمورف و بلوری، که در ساختار پوسته وجود دارد، اصلی‌ترین عامل تأثیرگذار<sup>۱</sup> بر مشخصات رفتار قالب سرامیکی تهیه شده از سیلیکا است [۱۲و۱۳].

اندازه‌گیری ضریب انبساط حرارتی از دمای اتاق تا دمای ۱۲۰۰ درجه سانتی‌گراد، مربوط به قالب‌هایی که برای ریخته‌گری پلی کریستال استفاده می‌شود، در صورتی که این بررسی‌ها برای ریخته‌گری جهت‌دار کافی نیست، در این شرایط، بررسی مشخصات تا دمای ۱۵۵۰، یعنی دمای کاری قالب در ریخته‌گری درجه سانتی‌گراد ضروری است [۱۳].



شکل ۴-نمودار ضریب انبساط حرارتی یک نمونه سرامیکی، نشان دهنده تغییرات فازهای سیلیکاتی با افزایش دما [۲].

## ۵-۲- مقاومت به پارگی گرم

استحکام بیش از حد قالب، باعث پارگی گرم و ترک در قطعه ریخته‌گری می‌شود. این حالت، زمانی رخ می‌دهد که آلیاژ نسبتاً استحکام پائینی داشته و در دمای انجماد ترد باشد، سطح قطعه نیز اکسید می‌شود. زمانی که آلیاژ فلزی منجمد و خنک می‌شود، تنفس فشاری ممکن است به برخی از قسمت‌های قطعه وارد شود، زیرا قالب سرامیکی با نرخ کمتری منقبض می‌شود. این تفاوت می‌تواند باعث آسیب دیدن قطعه از قبیل اعوجاج، ترک داغ، پارگی گرم، تنفس‌های پسماند و... شود.

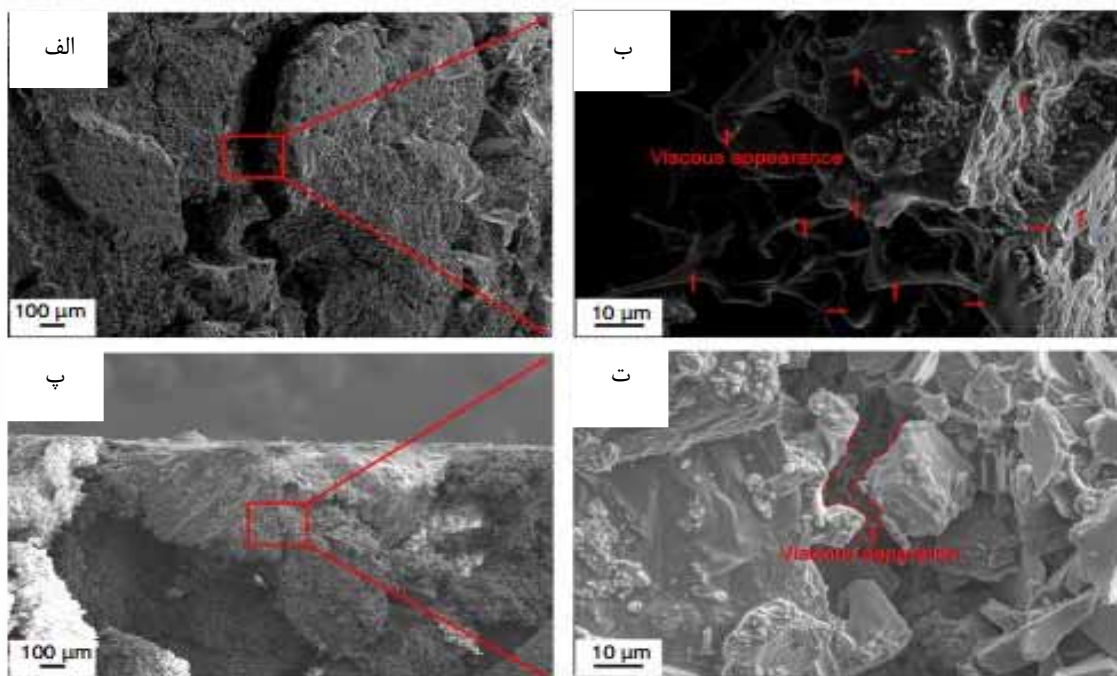
برخی قالب‌های سرامیکی اصلاح ساختاری نشده<sup>۲</sup> بسیار مستحکم بوده و در انجماد منجر به ایجاد پارگی گرم قطعه می‌شود. استفاده از پلیمر افزودنی در بایندر، باعث اصلاح ساختار می‌شود. زیرا فاز پلیمری در نهایت سوخته و از ساختار قالب خارج می‌شود. به علاوه فاز پلیمری باعث افزایش نفوذپذیری قالب می‌شود در نتیجه میزان قطعات خراب و عدم پر شدن قالب توسط مذاب کاهش می‌یابد [۱۰و۱۳]. خواص مکانیکی دمای بالای قالب‌های سرامیکی استفاده شده در ریخته‌گری جهت‌دار سوپرآلیاژهای به ندرت در مراجع ذکر شده است. مطالعه خواص مکانیکی دمای بالا، نقش مهمی در پایداری ابعادی پره توربین، افزایش میزان تولید ریخته گری دارد. اخیراً در تحقیقات آقای زلینگ<sup>۳</sup> ثابت شد که در دماهای زیر ۱۱۰۰ درجه سانتی‌گراد

<sup>1</sup> contribution

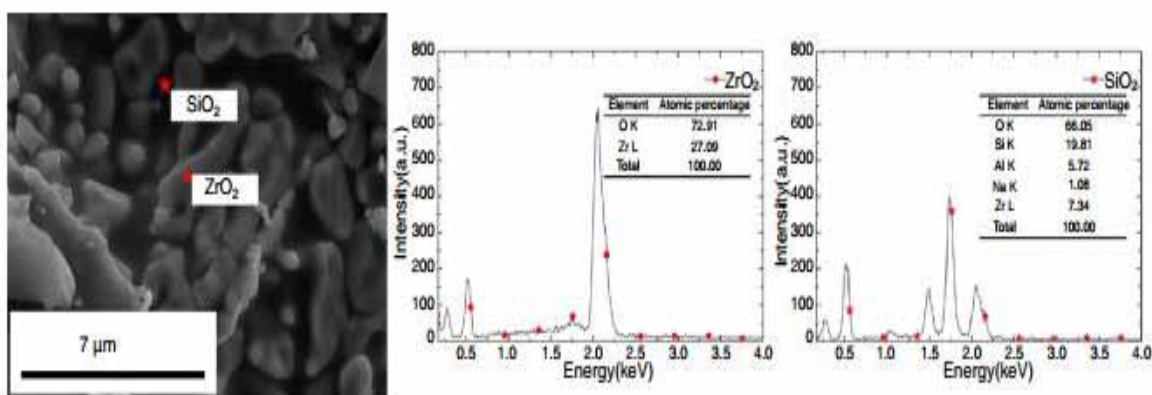
<sup>2</sup> Hot tearing-hot cracking

<sup>3</sup> unmodified

شکست قالب‌ها از نوع شکست ترد و از درون ذرات فیلر اتفاق می‌افتد، اما در دماهای بالاتر از ۱۱۰۰ درجه سانتی گراد، به دلیل تشکیل یوتکتیک، لغش ویسکوز و جدایش ویسکوز<sup>۱</sup> سیلیکا است. شکست از نوع ترموالاستیک و ترمو پلاستیک می‌باشد[۷]. همانطور که در شکل ۵ ب و ت نشان داده شده است، جدایش در محل ترک برای نمونه‌های زینتر شده و عملیات حرارتی شده از نوع ویسکوز است. محل ترک برای نمونه‌های دمای بالا در منطقه نیمه جامد ویسکوز و اطراف ذرات درشت آلومنیا است. ترکیب یوتکتیک شامل زیرکونیا و سیلیکا ZrO<sub>2</sub>-SiO<sub>2</sub> در شکل ۲ مشخص شده است. همچنین ساختار یوتکتیکی نزدیک ذرات درشت آلومنیا است.



شکل ۵- تصویر SEM از نواحی شکست نمونه‌های قالب سرامیکی. (الف و ب) نمونه‌های زینتر شده. (پ و ت) نمونه‌های عملیات حرارتی شده [۷]



شکل ۶- تصویر SEM ریزساختار و آنالیز شیمیایی منطقه یوتکتیک [۷]

## ۲-۶- پایداری حرارتی - شیمیایی قالب

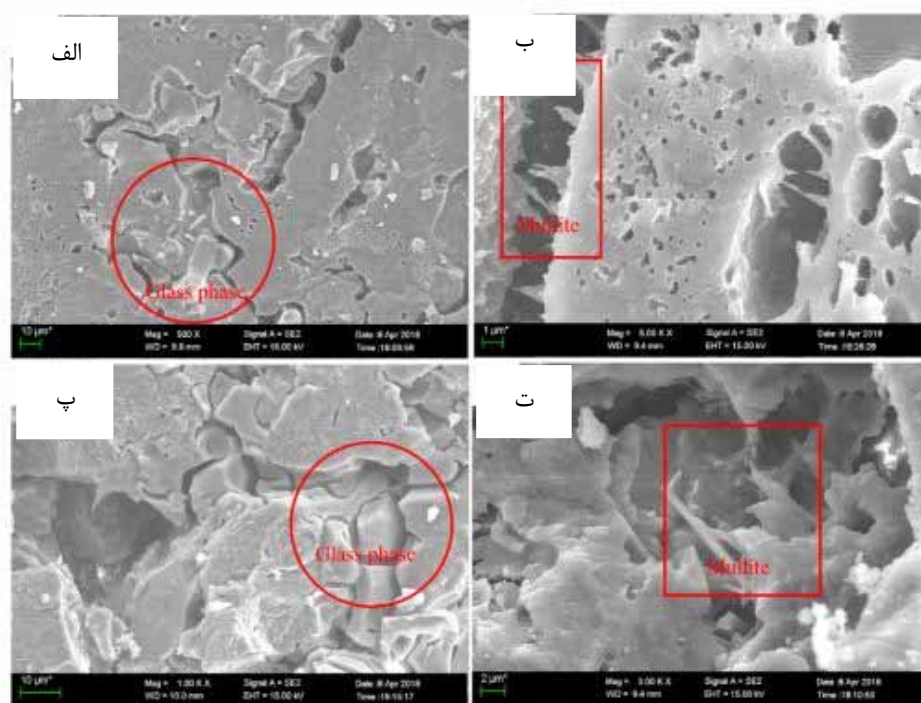
پایداری حرارتی - شیمیایی قالب بستگی به فیلر و بایندر استفاده شده دارد. به عنوان مثال قطعات ریخته‌گری که با قالب‌های مختلف (قالب‌های تهیه شده با بایندرهای سرامیکی مختلف) ساخته شده و زبری سطحی نمونه‌ها بررسی شده است. قطعاتی که

<sup>۱</sup> Viscous slip – viscous separation

از قالب‌های تهیه شده با بایندرهای سُل سیلیکایی و هیدرولیسات‌ها تهیه شده‌اند کیفیت سطحی بالاتری نسبت به سدیم سیلیکات‌ها دارند. زیرا  $\text{Na}_2\text{O}$  موجود در سیلیکات‌سدیم می‌تواند با سیلیکا واکنش داده و ساختاری با دمای ذوب پایین از جمله  $3\text{Na}_2\text{O} \cdot \text{SiO}_2$  و  $\text{Na}_2\text{O} \cdot 2\text{SiO}_2$  تشکیل دهد. این ترکیبات با آلیاژ مذاب واکنش داده و باعث تخریب کیفیت سطحی قطعه می‌شود. پایداری حرارتی قالب‌های انجماد جهت دار به دلیل دمای کاری بالاتر و زمان نگهداری بیشتر باید از قالب‌های پلی کربستال بیشتر باشد [۲]. همانطور که بیان شد در لایه‌های اول این قالب‌ها از آلومینیا استفاده می‌شود. زیرا پایداری حرارتی سیلیکات‌ها محدود به دمای ۱۵۵۰ درجه است و به دلیل ایجاد سیلان ویسکوز باعث کاهش استحکام قالب‌ها و حتی دفرمگی می‌شوند [۱۴]. بر اساس تحلیل‌های بیان شده در تحقیقات آقای ژلینگ ژو، قالب سرامیکی مورد استفاده برای ریخته‌گری دقیق سوپرآلیاژهای انجماد جهت دار باید شامل مقدار کافی مولايت ثانویه باشد تا از کاهش شدید ویسکوزیته فاز آمورف جلوگیری کند. افزودن اکسیدهای آلکالین مشخصاً باعث افزایش درصد فاز آمورف می‌شود. از طرفی، با افزایش دمای کلسینه کردن، مقدار فاز مولايت افزایش یافته است.

در شکل ۷، ریزساختار میکروسکوپی مورفوЛОژی سطح شکست برای نمونه‌های حاوی  $\text{N}_2\text{O}-\text{K}_2\text{O}$  نشان داده شده است. با زیترن شدن در دمای ۱۲۰۰ درجه سانتی گراد، شروع تشکیل فاز شیشه‌ای در فصل مشترک‌ها مشخص است (بین ذرات دیرگذاز در شکل ۷ الف و پ). ذرات استوکو از طریق فاز زمینه (دوغاب) و فاز شیشه‌ای به یکدیگر متصل شده‌اند.

همانطور که در شکل ۷ ب و ت نشان داده شده است، با افزایش دمای کلسینه کردن، تشکیل فاز مولايت شروع شده است. در این حالت، ذرات استوکو از طریق فاز شیشه‌ای و مولايت ثانویه تشکیل شده، به یکدیگر متصل شده‌اند. افزودن اکسید آلکالین نقش مهمی در رفتار خزشی قالب‌های سرامیکی ایفا می‌کند. از یک سوی افزودن اکسید آلکالین باعث افزایش درصد فاز آمورف در فصل مشترک و کاهش ویسکوزیته فاز آمورف می‌شود و در نتیجه رفتار خزشی را بهبود می‌بخشد. از سویی دیگر، باعث افزایش درصد فاز مولايت می‌شود، و در نتیجه مکانیزم لغزش مرزدانه کنترل و محدود می‌شود [۱۴].



شکل ۷ - تصویر SEM . (الف) نمونه حاوی  $\text{N}_2\text{O}$  کلسینه شده در ۱۲۰۰ درجه سانتی گراد. (ب) کلسینه شده در ۱۳۵۰ درجه سانتی گراد. (پ) نمونه حاوی  $\text{K}_2\text{O}$  کلسینه شده در ۱۲۰۰ درجه سانتی گراد. (ت) کلسینه شده در ۱۳۵۰ درجه سانتی گراد [۱۴].

## ۷-۲ - نفوذپذیری گازی

در ریخته‌گری، مذاب آلیاژ با دمای بالا درون قالب سرامیکی ریخته می‌شود و زمان داده می‌شود تا خنک شود. درون قالب پر از

هوا است و باید این هوا با مذاب جابجا شود. هوا مجبوس باید به سرعت از حفره قالب خارج شده و تخلخل و هوای مجبوس درون قطعه ریخته گری ایجاد نشود، حبابها و به طور جدی تر پر نشدن کامل قالب و ایجاد قسمت های ناقص در ریخته گری، ممکن است رخ دهد. چندین مکانیسم برای خروج هوای قالب وجود دارد:

- ۱- جابجایی مستقیم با هوا در زمان ریخته گری
- ۲- جذب توسط آبیاژ
- ۳- خارج شدن از حفرات و تخلخل های باز قالب

نفوذپذیری قالب مهم ترین فاکتور است، بسیاری از قالب های ریخته گری تا ۳۰٪ تخلخل باز دارند. با افزایش تخلخل های راه به در نحوه پر شدن قالب با مذاب بهبود می یابد. نفوذپذیری در یک دمای مشخص مستقل از زمان است. این یک مزیت بزرگ برای ریخته گری است، یعنی افزایش نفوذپذیری باعث افزایش دقت در شبیه سازی فرآیند ریخته گری می شود [۱۵]. قبل از هم بیان شد که به دلیل ایجاد عملیات حرارتی بر روی قالب های انجام داده شد و به دلیل سیلان سیلیکاتی، حفرات و گپ های قالب پر شده و در نتیجه می توان گفت که تخلخل قالب های انجام داده شده از قالب های پلی کریستال، بر یک نمونه مشابه بالاتر می باشد. که به دلیل ضخامت بیشتر این قالب ها، نفوذ پذیری کاهش می یابد [۷].

### ۳- بحث و نتایج

به عنوان جمع بندی، انتخاب صحیح مواد سرامیکی برای تولید قالب های سرامیکی یک نکته کلیدی است. اکسیدهایی نظیر زیرکون، آلومینا، سیلیکات آلومینا، سیلیکات زیرکونیوم، مولایت و سیلیکای آمورف مواد اصلی مورد استفاده در قالب های سرامیکی پوسته ای می باشند. استوکو نیز معمولاً از سیلیکات آلومینا یا آلومینا انتخاب می شود. که از نظر اقتصادی بهترین گزینه هستند. زیرکون به دلیل ناخالصی هایی و استحاله فازی به ساختار مونوکلینیک معمولاً استحکام دمای بالای قالب را کاهش می دهد، همچنین می تواند منجر به ایجاد ترک و یا تغییر ابعادی و شکل قالب سرامیکی شود. به همین دلایل ضروری است تا ذراتی دیگری به عنوان پایدار کننده زیرکونیای تتراؤگونال و یا معمولی<sup>۱</sup> به ترکیب اضافه شود تا از استحاله فازی جلوگیری شود. زیرکون به دلیل قیمت بالا در ساخت قالب ریخته گری جهت دار تک کریستال استفاده نمی شود.

دمای ذوب مولایت ۱۸۱۰ درجه سانتی گراد است، چگالی آن  $3/0.5 \text{ g/cm}^3$  است، چگالی آن بستگی به دما ندارد. به دلیل ضریب انتقال حرارت پایین و ضریب انبساط دمایی کم، نسبت به شوک حرارتی و خوش بسیار مقاوم است. آلومینا تا حدی باعث اصلاح و کاهش تشکیل کریستوبالیت در فرآیند پخت می شود. درصد بالای آلومینا باعث کاهش مقاومت قالب در برابر شوک پذیری قالب ها می شود، اما مقاومت دمایی ترکیب کلی افزایش می یابد. مزیت بالای آلومینا قیمت مناسب و در دسترس بودن آن است. یکی از مزیت های بزرگ آلومینا عدم استحاله فازی و همچنین عدم نرم شدن در اثر افزایش دما است. همچنین در تماس با آبیاژ های خورنده نیز کمتر فعال است آلومینا در برابر سیلیکات زیرکونیوم به عنوان ماده ترجیحی برای فرآیند انجام داده استفاده می شود.

### ۴- نتیجه گیری

پرهای توربین انجام داده به پرهای پلی کریستال در دماهای کاری بالاتری استفاده می شوند و سوپر آبیاژ هایی با دمای ذوب بالاتری در این قالب ها ریخته گری می شوند. همچنین مدت زمان نگه داری مذاب در قالب سرامیکی در فرایندهای تولید پرهای تک کریستال نسبت به گرید پلی کریستال بیشتر است. در نتیجه خواص قالب نیز باستی متناسب با این شرایط کاری باشد. تحقیقات نشان داده است که برای تولید قالب های تک کریستال عملیات حرارتی در ۱۵۰۰ درجه سانتی گراد انجام می شود. زیرا در نمونه های عملیات حرارتی شده، درزهای کوچک پر و زینتر شده و ذرات درشت تر تشکیل می شود. استحکام فشاری قالب سرامیکی عملیات حرارتی شده در دمای اتفاق افزایش می یابد.

<sup>۱</sup> Regular

- از آلومینیا به دلیل مقاومت بالاتر به سایش و استحکام بالاتر، عدم استحاله فازی و همچنین عدم نرم شدن در اثر افزایش دما در دوغاب لایه اول استفاده می‌شود. همچنین آلومینیا در تماس با آلیاژهای خورنده نیز کمتر فعال است. به علت قیمت مناسب و در دسترس بودن، آلومینیا در مقایسه با سیلیکات زبرکونیوم به عنوان ماده ترجیحی برای فرآیند انجماد جهت‌دار استفاده می‌شود.
- تخلخل قالب‌ها بایستی به حدی باشد تا در صورت خروج موم دچار ایجاد ترک و افت خواص قالب نشود. این مقدار در مراجع مختلف ۲۵-۳۰٪ گزارش شده است.
- دماهای بالاتر از ۱۱۰۰ درجه سانتی گراد و تنفس اعمالی، خواص مکانیکی افت کرده و دلیل آن لغزش ویسکوز سیلیکا است. این رفتار یک دلیل اصلی برای خوش دمای بالای قالب‌های سرامیکی در حین انجماد جهت‌دار است.
- کوراندم به عنوان استوکو به ویژه در لایه اول استفاده می‌شود. کوراندم، پایدارترین حالت ترمودینامیکی آلوتروپیک آلومینیا است که مقاومت بسیار خوبی در مقابل کسیدهای فلزی، محلول‌های اسیدی و بازی دارد، دانه‌های آن معمولاً نامنظم و بالبهای تیز است.

## مراجع

[۱] مهدی روشنی، سعید باغشاهی، حمید احمد محراجی و علی جهان افروز، تاثیر افزودن الیاف نایلون بر ویسکوزیته دوغاب و استحکام قالب‌های سرامیکی در روش ریخته‌گری دقیق، اولین همایش بین‌المللی و ششمین همایش مشترک انجمن مهندسی متالورژی ایران، انجمن علمی ریخته‌گری ایران، ص ۱-۱۵، ۱۳۹۱

- [2] P.R. Beeley, R.F. Smart, Investment Casting, The Institute of Materials, London, UK, pp. 43-65, 1995
- [3] S. Jones, C. Yuan, Advances in shell moulding for investment casting, Journal of Materials Processing Technology, pp. 258-265, 2003
- [4] Wu HH, Li DC, Tang YP. Fabrication of integral core/shellceramic casting mould for hollo w turbine blade, Appl MechMater Trans Tech Publ, 2013.
- [5] Krzysztof Kubiak, Dariusz Szeliga, Jan Sieniawski, The Unidirectional Crystallization of Metals and Alloys (Turbine Blades), Handbook of Crystal Growth, pp. 413-435, 2015
- [6] H Dong, H Dai, Single-Crystal Casting/Directional Solidification, University of Leicester, Leicester, UK, TWI Ltd, Cambridge, UK, pp. 89-108, 2014
- [7] Zilin Xu, Jiang wei Zhong, Xiang lin Su, Qingyan Xu, Baicheng Liu, Article Microstructure evolution and mechanical behaviors of alumina-based ceramic shell for directional solidification of turbine blades, pp. 1-11, 2018
- [8] Ekaterina Rzyankina, Numerical and experimental investigation of Directional Solidification in vacuum Investment Casting of Superalloys, Cape Peninsula University of Technology, pp. 30-40, 2013
- [9] D. Szeliga, K. Kubiak, M. Motyka, J. Sieniawski, Directional solidification of Ni-based superalloy castings: Thermal analysis, pp. 1-51, 2016
- [10] Defeng Liao, Zitian Fan, Wenming Jiang, Enqiang Shen, Dejun Liu, Study on the surface roughness of ceramic shells and castings in the ceramic shell casting process based on expandable pattern, Journal of Materials Processing Technology, pp. 1465-1470, 2011
- [11] Sarika Mishra, Rati Ranjana, Reverse Solidification Path Methodology for Dewaxing Ceramic Shells in Investment Casting Process, Materials and Manufacturing Processes, pp. 1385-1388, 2010
- [12] Fu Wang, Dexin Ma, Samuel Bogner, and Andres Buhrig-Polaczek, Comparative Investigation of the Downward and Upward Directionally Solidified Single-Crystal Blades of Superalloy CMSX-4, pp. 2376-2386, 2017
- [13] Atsushi Sato, Nickel-Based Single Crystal Superalloys for Industrial Gas Turbines, University of Birmingham, pp. 39-57, 2011
- [14] Yameng Wei, Zhigang Lu, Xin Guo, Influence of alkaline oxide on the deformation of ceramic shell mould at high temperatures during investment casting, pp. 1-8, 2018
- [15] Scott Simmonds, Formation and Avoidance of Surface Defects during Casting and Heat-Treatment of Single-Crystal Nickel-Based Superalloys, department of Engineering, university of Leicester, pp. 90-111, 2013
- [16] P. Carter, D.C. Cox, C.A. Gandin 1, R.C. Reed, Process modelling of grain selection during the solidification of single crystal superalloy castings, pp. 233-246, 1999.

# معرفی پایان نامه های دانشجویی

## پایان نامه دکتری

### بررسی خواص اپتیکی و مکانیکی نانو کامپوزیت های YAG - Spinel به روش sps

دانشجو: رضا ایران خواه

استاد راهنما: محمدرضا رحیمی بور

استاد مشاور: منصور رضوی

پژوهشگاه مواد و انرژی

**چکیده:** در این پژوهش خواص اپتیکی و مکانیکی اسپینل  $\text{MgAl}_2\text{O}_4$ , YAG و کامپوزیت YAG-Spinel با نسبت های متفاوت مورد مطالعه و بررسی قرار گرفت. این سرامیک ها با استفاده از مواد اولیه و با روش سینتر جرقه پلاسمای تهیه شدند. نمونه های اسپینل در دمای  $1250^{\circ}\text{C}$  به مدت  $10\text{ min}$  سینتر و سینتر شدند. بررسی تاثیر خلوص مواد اولیه بر روی میزان عبور امواج مادون قرمز این نمونه ها نشان داد که با افزایش میزان خلوص مواد اولیه، میزان عبور نیز افزایش می یابد. بیشترین میزان عبور داخلی برابر با  $55$  درصد بدست آمد. با هدف تهیه نمونه های YAG، مخلوط پودرها در دمای  $1250$  تا  $1500^{\circ}\text{C}$  سینتر و سینتر شدند. نتایج نشان داد نمونه های تهیه شده در دماهای کمتر از  $1450^{\circ}\text{C}$  علاوه بر فاز YAG، دارای فازهای باقیمانده بوده و همچنین میزان عبور داخلی امواج مادون قرمز در بازه طول موج های  $3$  تا  $5 \mu\text{m}$  در نمونه حاوی فاز کامل YAG، برابر با  $14$  درصد بدست آمد. مقادیر چگالی، سختی و استحکام خمثی این نمونه به ترتیب برابر با  $9\text{ g/cm}^{3}$ ,  $54\text{ GPa}$  و  $215\text{ MPa}$  بدست آمد. میکرو کامپوزیت های YAG-Spinel با استفاده از مواد اولیه با خلوص پایین سینتر و سینتر شدند. نتایج نشان داد در دماهای کمتر از  $1300^{\circ}\text{C}$  علاوه بر فازهای اصلی فازهای واکنش نداده YAM و YAP در ساختار نمونه ها وجود داشته و با افزایش دمای سینتر خواص مکانیکی نمونه ها بهتر شده به طوری که نمونه های سینتر شده دارای مقادیر چگالی، سختی و استحکام خمثی به ترتیب برابر با  $4\text{ g/cm}^{3}$ ,  $7/19\text{ GPa}$  و  $278\text{ MPa}$  می باشند. در ادامه سینتر و سینتر کامپوزیت های مختلف از دو جزء YAG با نسبت های مولی مختلف انجام شد. حضور فازهای ناخواسته و غیر مطلوب از نظر اپتیکی نظیر در ساختار کامپوزیت با استفاده از راهکارهایی نظیر استفاده از افزودنی و آلمینا در مخلوط مواد اولیه بطرif شد. کامپوزیت های تهیه شده دارای عدم عبور داخلی امواج مادون قرمز بوده و خواص شامل کمترین و بیشترین استحکام خمثی  $114$  تا  $305\text{ MPa}$  در نمونه های دارای  $3$  و  $1$  درصد بولی بدست آمد.

## پایان نامه کارشناسی ارشد

### بررسی ریزساختار و خواص فریت روی تهیه شده به روش سیتر سرد

دانشجو: مهسا کمانی

استاد راهنما: امین یوردخانی، رضا پورصالحی

استاد مشاور: رسول صراف ماموری

دانشگاه تربیت مدرس

**چکیده:** فریت‌ها سرامیک‌های مغناطیسی هستند که به دلیل مقاومت الکتریکی بالا و خواص مغناطیسی مناسب کاربردهای بسیاری در صنایع قدرت، الکترونیک و مخابرات دارند. مهم‌ترین دسته‌ی فریت‌ها، فریت‌های پایه روی مانند فریت منگنز- روی و نیکل- روی هستند. فریت‌ها معمولاً در بازه‌ی دمایی  $1200-1400^{\circ}\text{C}$  همراه افزودنی (کمک سیتر) جهت تسهیل فرآیند نفوذ سیتر می‌شوند. اخیراً روشی تحت عنوان سیتر سرد به جامعه‌ی مهندسی سرامیک معرفی شده است. در این روش سرامیک به دانسیته نسبی بالای  $90\%$  در دمای زیر  $400^{\circ}\text{C}$  سیتر می‌شود. در این پژوهش سیتر سرد برای فریت روی به عنوان یک مدل برای سیتر فریت‌ها معرفی شده است. در این پژوهش با تنظیم نسبت اسید سیتریک به نیترات روی دونوع پودر فریت روی خالص و پودر حاوی ناخالصی به روش سل- ژل نوع پچینی سنتز شد. سپس پودرهای سنتز شده در محلول اسید استیک ۱۲ مولار در اثانول عملیات شیمیایی شدند. انحلال نامتجانس فریت روی در این محلول موجب جداشیش روی از فریت روی و انحلال در محلول بصورت استات روی و تشکیل ناخالصی همایت در پودر شد. سپس فرآیند سیتر سرد در بازه‌ی دمایی  $210-250^{\circ}\text{C}$  در مدت زمان  $1-4$  ساعت تحت فشار  $300 \text{ MPa}$  انجام شد. نمونه‌های سیتر سرد شده در دمای  $750^{\circ}\text{C}$  به مدت ۶ ساعت عملیات حرارتی شدند. مطابق با نتایج مشخصه یابی پراش پرتو ایکس و تبدیل فوریه فروسرخ پودرهای ناخالص پس از سیتر سرد و عملیات حرارتی تبدیل به قرص‌هایی تک فاز و عاری از هرگونه ناخالصی شدند. همچنین تاثیر پارامترهای سیتر سرد همچون دما، زمان و عملیات حرارتی بر دانسیته نسبی بررسی شد. دانسیته‌ی نسبی نمونه‌ها با افزایش دما و زمان سیتر سرد افزایش یافت. عملیات حرارتی نیز منجر به دستیابی به نمونه‌هایی با دانسیته‌ی نسبی حدود  $93\%$  شد. مشخصه یابی میکروسکوپ الکترونی رویشی نشر میدانی حاکی از شباهت ریزساختار نمونه‌های سیتر سرد شده به نمونه‌های سیتر سنتی شده در دمای  $1400-1200^{\circ}\text{C}$  است.

# اعضای حقوقی انجمن سرامیک ایران

## اعضای حقوقی ویژه انجمن سرامیک ایران

 <p><b>شرکت سهامی شیشه قزوین (عام)</b></p> <p> مدیر عامل: مهندس محمدرضا علاقبندیان آدرس دفتر مرکزی: تهران، خیابان استاد مطهری، خیابان شهید سرافراز، پلاک ۳۴ تلفن دفتر مرکزی: ۰۲۱-۸۸۷۳۱۵۱۵ نشانی سایت: <a href="http://www.ghazvinglass.com">www.ghazvinglass.com</a></p>	 <p><b>شرکت پویا همراه سرام (بازرگانی و مهندسین مشاور)</b></p> <p> مدیر عامل: مهندس محسنی طارمی آدرس دفتر مرکزی: تهران، تهرانپارس، خیابان رشید، بخش خیابان ۱۳۴ غربی، ساختمان امیرکبیر، طبقه ۲، واحد ۱۰ تلفن دفتر مرکزی: ۰۲۱-۷۷۲۹۵۴۹۸ نشانی سایت: <a href="http://www.phceram.com">www.phceram.com</a></p>
---	---

### Glassworks Hounsell Ltd

مدیر عامل: Mr. William Brinkman  
آدرس دفتر مرکزی: Glassworks Hounsell, Park Lane, Halesowen, West Midlands, United Kingdom



تلفن دفتر مرکزی: ۰۴۴-(۰)-۱۳۸۴۵۶۰۶  
فاکس: ۰۴۴-(۰)-۱۳۸۴۵۶۱۳۶  
نشانی سایت: <http://www.glassworkshounsell.co.uk>

### لعاپیران

مدیر عامل: دکتر نعمتی  
آدرس دفتر مرکزی: تهران، میدان ونک، خیابان گاندی شمالی، کوی شهید صانعی، شماره ۲۵  
تلفن دفتر مرکزی: ۰۲۱-۸۸۷۹۵۱۴۱-۲  
نشانی سایت: [www.loab.iran.com](http://www.loab.iran.com)



## اعضاي حقوقی ممتاز انجمن سراميك ايران

### دانشگاه آزاد اسلامي واحد دزفول

مدیر عامل: دکتر متین

آدرس: دزفول، کوی آزادگان، دانشگاه آزاد اسلامي



تلفن دفتر مرکзи:

۰۶۴-۱۶۲۶۲۰۹۰

نشانى سایت:

[www.iaud.ac.ir](http://www.iaud.ac.ir)

### چيني بهداشتى آرميتاچ

مدير عامل: مهندس محمدحسين وکيلی مقدم

آدرس دفتر مرکзи: تهران، ميدان ونك، خيابان ونك، پاساز تك، طبقه دوم، آپارتمان شماره ۷



تلفن دفتر مرکзи:

۰۲۱-۸۸۷۹.۲۲۷

نشانى سایت: <http://www.armitagesw.com>



### شايزاد تجارت پارس

مدير عامل: مهندس اتحادي

آدرس: تهران، خيابان آفريقا،

خيابان فرزان غربي، پلاک ۸۰، واحد

۱۱

تلفن: ۰۲۱-۸۸۶۴۸۳۱۰

نشانى سایت: [www.shyrad.com](http://www.shyrad.com)



### دانشگاه آزاد اسلامي واحد علوم و

#### تحقیقات خوزستان

مدير عامل: دکتر لک

آدرس: اهواز، سهراه فرودگاه، دانشگاه آزاد

واحد علوم و تحقیقات

تلفن دفتر مرکзи: ۰۶۱-۳۴۴۵۷۱۷۴

نشانى سایت: [www.khouzestan.srbiau.ac.ir](http://www.khouzestan.srbiau.ac.ir)



### کاشي گرانیت و کاشي لعاب زهره

مدير عامل: مهندس خياط

آدرس دفتر مرکзи: خراسان رضوي، کاشمر، کيلومتر ۱۲ محور

کاشمر به مشهد، جنب

شهرک صنعتي، شركت کاشي

زهره کاشمر

تلفن دفتر مرکзи: ۰۵۱-۵۵۳۸۳۵۹۱

نشانى سایت: [www.zohretile.com](http://www.zohretile.com)



### کاشي کسرى

مدير عامل: مهندس روشنفسکر

آدرس دفتر مرکзи: تهران، خيابان آفريقا،

خيان ناهيد شرقى، پلاک ۱۲، طبقه ۳ و ۵

تلفن دفتر مرکзи: ۰۲۱-۲۲۰۱۰۱۴۰

نشانى سایت: [www.kasratileco.com](http://www.kasratileco.com)

### فرآورده های نسوز آذر

مدير عامل: مهندس سليماني فرد

آدرس دفتر مرکзи: تهران، خيابان ولیصر، بالاتر از پارك ساعي،

کوچه ساعي ۲، روپروي مدرسه پسرانه هاتف، پلاک ۳۱، واحد منفي ۱

تلفن دفتر مرکзи:

۰۲۱-۸۸۸۸۲۰۹۵

نشانى سایت:

[www.azarref.ir](http://www.azarref.ir)



### کاشي فیروزه مشهد

مدير عامل: مهندس مسعود فولادكار

آدرس دفتر مرکзи: مشهد، بلوار سجاد، خيابان بيستون ۲، مجتمع

تجاري طوس، طبقه ۵ و ۶

صندوق پستي: ۹۱۳۷۵-۴۴۳۷

تلفن دفتر مرکзи: ۰۵۱۳-۷۶۷۰۰۰۱

نشانى سایت: [www.firoozehtile.com](http://www.firoozehtile.com)



### فرآورده های نسوز ايران

مدير عامل: مهندس لقمانى

آدرس دفتر مرکзи: تهران، خيابان بهار شيراز،

خيابان سليمان خاطر، بعد از ملایری پور، پلاک ۵۱

واحد ۳

تلفن دفتر مرکзи: ۰۲۱-۸۸۳۴۳۴۰۸

نشانى سایت: [www.irefcoco.ir](http://www.irefcoco.ir)

## اعضای حقوقی انجمن سرامیک ایران

### آریا تهران سرام

مدیر عامل: محمد علی سلیمانی

آدرس دفتر مرکزی: تهران، خیابان ملاصدرا، خیابان شیرازی جنوبی، خیابان اتحاد، پلاک ۴، واحد ۱  
تلفن دفتر مرکزی: ۰۲۱-۸۸۰۵۹۶۱۰



### آپادانا سرام

مدیر عامل: مهندس نجفی

آدرس دفتر مرکزی: تهران، خیابان ملاصدرا، رو بروی بیمارستان بقیه الله، کوچه گلشن، گلشن یکم، پلاک ۸  
تلفن دفتر مرکزی: ۰۲۱-۸۴۳۱۰۰۰۰

نشانی سایت: [www.apadanaceram.com](http://www.apadanaceram.com)

### ایران آیمدی

مدیر عامل: مهندس مطلب لو



آدرس دفتر مرکزی: تهران، خیابان شیراز شمالی، نبش کوچه شهریار، ساختمان ۳۳، واحد ۱۲  
تلفن دفتر مرکزی: ۰۲۱-۸۸۰۴۷۰۷۱  
نشانی سایت: [www.imdco.net](http://www.imdco.net)

### اشکان پارت آفرین

مدیر عامل: دکتر غفاری



آدرس دفتر مرکزی: کرج، گلشهر و بلارود کی ۲۷۱ غربی، پلاک ۲۶۳-۶۶۷۰۸۳۶  
تلفن دفتر مرکزی: ۰۲۱-۸۸۲۱۰۸۹۰

### پارس کائولن

مدیر عامل: مهندس صمدی



آدرس: طبس، نرسیده به جو خواه، معدن کائولن پارس  
تلفن: ۰۲۱-۸۸۰۷۵۵۷۳  
نشانی سایت: [www.parskaolin.com](http://www.parskaolin.com)

### گروه پاترون (پات روشنان) نیکتا

مدیر عامل: مهندس عباس کلانتر



آدرس: تهران، خیابان ملاصدرا، پلاک ۱۶۲، طبقه چهارم  
تلفن: ۰۲۱-۸۸۲۱۰۸۹۰  
نشانی سایت: [www.patron.group](http://www.patron.group)

### پژوهشگاه مواد و انرژی

مدیریت: دکتر صالحی



آدرس دفتر مرکزی: تهران، میدان آزادی، انتهای خیابان الوند، کوچه جوبن، پلاک ۱۶  
تلفن دفتر مرکزی: ۰۲۱-۸۸۷۷۱۶۲۶-۲۷  
نشانی سایت: [www.merc.ac.ir](http://www.merc.ac.ir)

### پژوهشگاه علوم و فناوری رنج

مدیریت: دکتر رنجبر



آدرس دفتر مرکزی: بزرگراه صیاد شیرازی شمالی، خروجی لویزان، میدان حسین آباد، خیابان وفا منش، نبش کوچه شمس، پلاک ۵۹  
تلفن: ۰۲۱-۲۲۹۴۴۱۸۴  
نشانی سایت: [www.icrc.ac.ir](http://www.icrc.ac.ir)

### پیشگامان سرامیک بر سام

مدیر عامل: مهندس سرجهانی



آدرس دفتر مرکزی: شیراز، بلوار امیرکبیر برج صنعت ورودی ۳، طبقه ۴، واحد ۴۱۷  
تلفن دفتر مرکزی: ۰۷۱-۳۸۳۸۵۴۴۴  
نشانی سایت: [www.barsamceram.com](http://www.barsamceram.com)

### پیشو و ذوب آتور

مدیر عامل: مهندس ملایی دارانی



آدرس دفتر مرکزی: تهران، خیابان احمد قصیر، کوچه یکم، پلاک ۶، واحد ۱۰  
تلفن دفتر مرکزی: ۰۲۱-۸۸۵۴۹۸۸۴  
نشانی سایت: [www.pishrozob.com](http://www.pishrozob.com)



تولیدی و مهندسی نسوژین

تولیدی و مهندسی نسوژین

مدیر عامل: مهندس زرعیان

آدرس دفتر مرکزی: تهران، میدان

آرژانتین، خیابان بیهقی، خیابان دوازدهم

شرقي، پلاک ۲، طبقه ۳، شماره ۶

تلفن دفتر مرکزی: ۰۲۱-۸۸۵۴۵۹۱

نشانی سایت: www.nasoozin.com

تولیدی و صنعتی سامان کاشی

مدیر عامل: مهندس سیدمحسنی

آدرس دفتر مرکزی: تهران، بلوار میرداماد،

بین نفت و مدرس، شماره ۲۳۷، طبقه ۱

تلفن دفتر مرکزی: ۰۲۱-۲۲۲۵۸۸۲۱

نشانی سایت: www.samantile.com

تهیه و تولید مواد اولیه آریا کانی اسپادانا

مدیر عامل: دکتر پویامهر

آدرس دفتر مرکزی: اصفهان، خیابان ملاصدرا، خیابان پانزدهم،

پلاک ۳۴، واحد ۳

تلفن دفتر مرکزی: ۰۳۱۳-۶۶۱۷۵۳۷-۸

نهانی سایت: ۰۳۱-۴۵۸۳۶۲۰۰

تهیه و تولید خاک نسوژ استقلال آباده

مدیر عامل: مهندس زارعی

آدرس دفتر مرکزی: آباده، چهارراه جوادیه

تلفن دفتر مرکزی: ۰۷۱-۴۴۳۳۷۹۹۷

چيني اصفهان

مدیر عامل: مهندس جهانباني

آدرس: اصفهان، جاده دولت آباد، خیابان بهارستان، اولین فرعی سمت

چپ، خیابان خوشانی

تلفن دفتر مرکزی:

۰۳۱-۴۵۸۳۶۲۰۰

تهیه و تولید مواد نسوژ کشور

مدیر عامل: مهندس باقری

آدرس دفتر مرکزی: تهران، یوسف آباد،

خیابان ابن سينا، نبش خیابان ۳۱،

شماره ۸۲

تلفن دفتر مرکزی: ۰۲۱-۸۸۷۱۲۵۶۲

نشانی سایت: www.irrep.com

چيني زرين ايران

مدیر عامل: مهندس قصاعي

آدرس دفتر مرکزی: تهران، میدان ونك،

خیابان ونك، ساختمان شماره ۲۵

تلفن دفتر مرکزی: ۰۲۱-۸۸۷۷۰۰۴۴

نشانی سایت: www.zariniran.com

چيني بهداشتی ارس

مدیر عامل: مهندس حسين پور

آدرس دفتر مرکزی: تهران، خیابان شیخ بهایی،

میدان شیخ بهایی، برج صدف، طبقه ۴، واحد ۶۴

تلفن دفتر مرکزی: ۰۲۱-۸۸۰۶۵۰۸

نشانی سایت: www.arasind.com

دانشگاه ملایر

مدیریت: دکتر علیرضا سوری

آدرس: دانشگاه ملایر، دانشکده فنی و مهندسی،

گروه مهندسی مواد

تلفن: ۰۸۱-۳۲۳۵۵۴۶۵

نشانی سایت: www.malayeru.ac.ir

خاک چيني ايران

مدیر عامل: مهندس نوروزی

آدرس دفتر مرکزی: خیابان ولیعصر، نرسیده به

بل پارک وی، کوچه خاکزاد، پلاک ۲۱، طبقه اول

تلفن دفتر مرکزی: ۰۲۱-۲۲۰۱۸۱۰۷

رنگدانه های سرامیکی گهر فام

مدیر عامل: مهندس مهینی

آدرس دفتر مرکزی: یزد، شهرک صنعتی خضر آباد، بلوار افاقیا،

خیابان زیتون

تلفن دفتر مرکزی: ۰۳۵۳-۷۲۷۷۴۴۸

درسا سرام ایستاتیس

مدیر عامل: مهندس ندافیان

آدرس دفتر مرکزی: سعادت آباد،

بلوار فرهنگ، نبش خیابان ۲۰ شرقی، پلاک ۲، طبقه ۴ شمالی

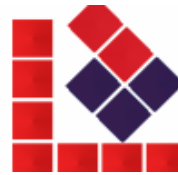
تلفن: ۰۲۱-۲۲۳۸۳۱۶۰

نشانی سایت: www.Doramic.com



Sara Loab Maybod.co

**سارا لاب مید**  
مدیر عامل: مهندس جعفری پور  
مید  
آدرس دفتر مرکزی: مید، شهرک  
صنعتی جهان آباد، بلوار نسترن، انتهای  
بلوار سمت راست  
تلفن دفتر مرکزی: ۰۳۵۲-۷۷۷۲۲۲۸  
[نشانی سایت:](http://www.saralaab.com)



**سارا کاشی سپاهان**  
مدیر عامل: مهندس باطنی  
آدرس دفتر مرکزی: اصفهان، خیابان  
سجاد، ابتدای خیابان ارباب، جنب بانک  
صادرات، مجتمع کسری، واحد ۱  
تلفن دفتر مرکزی: ۰۳۱۳-۶۶۲۷۱۱۷  
[نشانی سایت:](http://www.saratile.com)



**سرامیک های صنعتی اردکان**  
مدیر عامل: مهندس برهانی  
آدرس دفتر مرکزی: اصفهان،  
میدان آزادی، ابتدای خیابان  
سعادت آباد، پلاک ۱، طبقه ۴، واحد ۸  
تلفن دفتر مرکزی: ۰۳۱۳-۶۶۸۷۷۷۷  
[نشانی سایت:](http://www.aic.ir)



**ساگار و قطعات نسوز**  
مدیر عامل: مهندس معرفتی  
آدرس: مرند، کیلومتر ۵ جاده قدیم جلفا،  
شهرک صنعتی سرامیکی  
تلفن: ۰۴۱-۴۲۲۲۲۳۸۲  
[نشانی سایت:](http://www.saggarmfg.com)



**شرکت فیرونا**  
مدیر عامل: مهندس شاهپوری  
آدرس دفتر مرکزی: تهران،  
خیابان میرزا شیرازی، نبش استاد  
مطهری، شماره ۲۱۱  
تلفن دفتر مرکزی: ۰۲۱-۸۸۷۲۳۳۵۵  
[نشانی سایت:](http://www.fiberona.com)



**شرکت صنایع سرام آرا**  
مدیر عامل: مهندس آهنی ها  
آدرس دفتر مرکزی: تهران،  
خیابان سپهبد قرنی، بالاتر از چهارراه طالقانی، خیابان شاداب غربی،  
پلاک ۳۳، طبقه ۶  
تلفن دفتر مرکزی: ۰۲۱-۸۸۸۹۱۰۴۵  
[نشانی سایت:](http://www.ceramara.ir)



**صناعی کاشی زرین خراسان**  
مدیر عامل: مهندس عمید متشرع  
آدرس دفتر مرکزی: تهران، خیابان  
ملاصدرا، خیابان شیراز جنوی، پلاک ۹۹  
طبقه اول  
تلفن دفتر مرکزی: ۰۲۱-۸۰۶۷۶۸۱  
[نشانی سایت:](http://www.zarrintile.com)



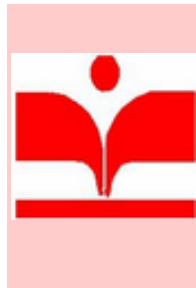
**شرکت مهندسی بازرگانی درداران سریر**  
مدیر عامل: مهندس طهماسبی  
آدرس دفتر مرکزی: تهران،  
خیابان ولیصر، خیابان فتحی شاققی، میدان سلماس، پلاک ۳، طبقه ۳  
تلفن دفتر مرکزی: ۰۲۱-۸۸۳۳۷۳۶۸-۸  
[نشانی سایت:](http://www.sarirco.com)



**صناعی کاشی و سرامیک الوند**  
مدیر عامل: مهندس  
هوشیاری  
آدرس دفتر مرکزی:  
تهران، خیابان آفریقا، بالاتر از چهارراه اسفندیار، کوچه شهید سعیدی،  
پلاک ۲۳  
تلفن دفتر مرکزی: ۰۲۱-۲۲۰۵۷۸۱۱  
[نشانی سایت:](http://www.alvancer.com)



**صناعی کاشی نیلوفر**  
مدیر عامل: مهندس نوربخش  
آدرس دفتر مرکزی: مشهد، بلوار  
فردوسی، مجتمع تجاری اسکان، طبقه ۱،  
 واحد ۲  
تلفن دفتر مرکزی: ۰۵۱۳-۷۶۲۳۳۳۶  
[نشانی سایت:](http://www.niloofartile.com)

صنعت سرام

مدیر عامل: مهندس غفاری

آدرس دفتر مرکزی: تهران، خیابان  
فرجام، بین چهارراه خاور و ولیعصر، پلاک  
۱۱ واحد ۶۲۰

تلفن دفتر مرکزی: ۰۲۱-۷۷۷۲۳۵۸۹

صنایع کاشی و سرامیک سینا

مدیر عامل: مهندس عزیزیان

آدرس دفتر مرکزی: تهران، بلوار میرداماد، بعد از  
میدان مادر، پلاک ۲۳

تلفن دفتر مرکزی: ۰۲۱-۲۲۲۷۲۳۰۱

نشانی سایت: [www.sinatile.ir](http://www.sinatile.ir)فرآوردهای نسوز پارس

مدیر عامل: مهندس حیدرپور

آدرس دفتر مرکزی: تهران، میدان ونک، خیابان ونک، برج آیین  
ونک، طبقه ۷، واحد ۷۱

تلفن دفتر مرکزی: ۰۲۱-۸۸۷۸۶۹۲

نشانی سایت: [www.pars-ref.ir](http://www.pars-ref.ir)فرآوردهای نسوز آذر شهاب تبریز

مدیر عامل: مهندس صدیقی

آدرس دفتر مرکزی: تبریز، خیابان راه آهن، ایستگاه سرچشمه،  
مجتمع تجاری میلاد، طبقه ۳، آذربایجان نسوز

تلفن دفتر مرکزی: ۰۴۱-۳۵۵۱۸۴۴۱

نشانی سایت: [www.azarshahab.com](http://www.azarshahab.com)کاشی تیما

مدیر عامل: دکتر ناصری

آدرس دفتر مرکزی: مشهد، شهرک صنعتی  
توس، فاز ۲، اندیشه ۲، انتهای دانش ۲

تلفن دفتر مرکزی: ۰۵۱۳-۵۴۱۳۹۹۰

نشانی سایت: [www.tima-tile.com](http://www.tima-tile.com)کائولین و خاکهای نسوز

خراسان

مدیر عامل: مهندس زیارت نیا

آدرس دفتر مرکزی: مشهد، بلوار  
فلسطین، فلسطین ۱۴، پلاک ۲۸

تلفن دفتر مرکزی: ۰۵۱۳-۷۶۷۳۰۳۴-۵

نشانی سایت: [www.kaolin-co.com](http://www.kaolin-co.com)کاشی طوس

مدیر عامل: مهندس توکلی فرد

آدرس دفتر مرکزی: مشهد،  
خیابان سناباد، جنب داروخانه سناباد، ساختمان ۴۶۵، طبقه ۳

تلفن دفتر مرکزی: ۰۵۱۳-۸۴۱۶۴۱۸

نشانی سایت: [www.toostileco.com](http://www.toostileco.com)کاشی ستاره مبید

مدیر عامل: مهندس خالقیه

آدرس دفتر مرکزی: تهران، خیابان  
ملاصدا، شیراز جنوبی، گرسار غربی، کوچه بهار، پلاک ۲۶، طبقه ۴، واحد ۷

تلفن دفتر مرکزی: ۰۲۱-۸۸۰۴۴۷۴۴

نشانی سایت: [www.setarehtile.com](http://www.setarehtile.com)کاشی مرجان

مدیر عامل: مهندس معصومی

آدرس دفتر مرکزی: اصفهان، خیابان  
چهار باغ بالا، کوچه کاویان، پلاک ۴۱

تلفن دفتر مرکزی: ۰۳۱۳-۶۲۴۸۰۱۹

نشانی سایت: [www.marjantileco.com](http://www.marjantileco.com)کاشی کرد

مدیر عامل: مهندس چنگیزی

آدرس دفتر مرکزی: تهران، شهروردي  
شمالی، هویزه شرقی، پلاک ۳۴

تلفن دفتر مرکزی: ۰۲۱-۸۳۵۲۳۳۳

نشانی سایت: [www.cordgroup.com](http://www.cordgroup.com)کاشی نواوران

مدیر عامل: مهندس طباطبایی

آدرس دفتر مرکزی: یزد، مید، شهرک صنعتی جهان آباد، بلوار مریم  
تلفن: ۰۳۵۳-۲۳۷۲۱۹۳

نشانی سایت: [www.noavaranceramics.ir](http://www.noavaranceramics.ir)Masoud Tile Co.

Amotivation beyond the thought

کاشی مسعود ایران

مدیر عامل: مهندس فرشادپور

آدرس دفتر مرکزی: تهران،  
خیابان آفریقای شمالی، ساختمان

مرکز تجارت ایران، طبقه ۹، واحد ۶

تلفن دفتر مرکزی: ۰۲۱-۲۶۲۱۲۶۳۵-۳۷

نشانی سایت: [www.masoudtile.com](http://www.masoudtile.com)



**گلسر فارس**  
 مدیر عامل: مهندس فرجمد  
 آدرس دفتر مرکزی: تهران، خیابان کریم خان زند، خیابان سپهبد قرنی، خیابان برادران شاداب، پلاک ۳۳، طبقه ۲  
 تلفن دفتر مرکزی: ۰۲۱-۸۸۹۰۸۰۴۴  
 نشانی سایت: [www.golsarfars.com](http://www.golsarfars.com)

### کسری لعاب مبید

مدیر عامل: مهندس میرحسینی  
 آدرس: بزد، شهرک صنعتی جهان آباد، بلوار مریم، فرعی سمت راست  
 تلفن: ۰۳۵۳-۲۳۷۲۹۳۱



**لعاب مشهد**  
 مدیر عامل: دکتر یوسفی  
 آدرس دفتر مرکزی: تهران، خیابان ملاصدرا، خیابان شیراز جنوبی، کوچه اتحاد، پلاک ۱۴، طبقه ۲  
 تلفن دفتر مرکزی: ۰۲۱-۸۰۴۳۶۹۶  
 نشانی سایت: <http://www.mashhadglaze.com>



**لعاب مارال مبید**  
 مدیر عامل: دکتر داود قهرمانی  
 آدرس دفتر مرکزی: بزد، مبید  
 شهرک صنعتی جهان آباد، بلوار نسترن شمالی، خیابان صنعت ۹  
 تلفن دفتر مرکزی: ۰۳۵-۳۲۳۷۴۰۹۶-۷  
 نشانی سایت: [www.maralloab.ir](http://www.maralloab.ir)

### مجتمع تولید چینی بهداشتی نوین سرام



مدیر عامل: مهندس حقی  
 آدرس دفتر مرکزی: مشهد، چهارراه ابوطالب، مجتمع برجیس، طبقه دوم، واحد ۳  
 تلفن دفتر مرکزی: ۰۵۱-۱۷۲۷۶۰۳۳  
 نشانی سایت: [www.novinceram.com](http://www.novinceram.com)

### لعاب یاس فارس

مدیر عامل: مهندس کریمی علویجه  
 آدرس: شیراز، کیلومتر ۳ جاده شیراز بوشهر، بعد از پل شهید علیپور، جاده ایستگاه شماره ۱ گاز ۰۷۱۳-۸۳۰۱۹۹۰



**مجتمع تولیدی چینی مقصود**  
 مدیر عامل: مهندس ایمانی  
 آدرس دفتر مرکزی: تهران، خیابان ولیعصر، بالاتر از پارک ساعی، نبش کوچه ۳۴، پلاک ۱۱۵۹، طبقه ۲  
 تلفن دفتر مرکزی: ۰۲۱-۸۸۸۶۹۸۵  
 نشانی سایت: [www.maghsoudporcelain.com](http://www.maghsoudporcelain.com)



**مجتمع صنعتی اردکان (چینی رز)**  
 مدیر عامل: مهندس ضرایله  
 آدرس دفتر مرکزی: بزد، چهارراه بیان باف، ساختمان یزدباف، طبقه ۲  
 تلفن دفتر مرکزی: ۰۳۵۳-۵۲۲۹۷۶۰  
 نشانی سایت: [www.chinirose.com](http://www.chinirose.com)

### مجتمع کارخانجات تولیدی تووس چینی



مدیر عامل: مهدی کاملان نجار  
 آدرس دفتر مرکزی: مشهد، خلخ غربی میدان احمدآباد، پلاک ۱۲  
 تلفن دفتر مرکزی: ۰۵۱۳-۸۴۱۶۸۸۰  
 نشانی سایت: [www.toosporcelain.com](http://www.toosporcelain.com)



**معدنی و صنعتی سوراوجین عقیق**  
 مدیر عامل: مهندس معصومی  
 آدرس دفتر مرکزی: تهران، سعادت آباد، خیابان علامه شمالي، انتهای کوچه اقبال ملی، پلاک ۱، واحد ۲  
 تلفن دفتر مرکزی: ۰۲۱-۲۲۰۸۱۳۷۳  
 نشانی سایت: [www.iranclay.com](http://www.iranclay.com)

مفيد شيشيه

مدير عامل: مهندس موسوي كريمي

آدرس دفتر مرکزی: تهران، خيابان

وليصر، پاين تر از ميدان ونك، شماره

۲۵۴۰، طبقه ۷

تلفن دفتر مرکزی: ۰۲۱-۸۸۶۶۴۸۱۱

نشاني سایت: [www.mofidglass.com](http://www.mofidglass.com)



مقره سازی ايران

مدير عامل: دكتور كورنگي

آدرس دفتر مرکزی: تهران،

خيان بهار جنوبي، كوجه

نيلوفر، شماره ۴

تلفن دفتر مرکزی: ۰۲۱-۷۷۵۲۸۶۴۲

نشاني سایت: [www.iraninsulator.com](http://www.iraninsulator.com)



شركت مقره سازی ايران  
«مانه»  
Iran Insulator Co.

مهفام جام (سهامي خاص)

مدير عامل: مهندس دهقان

آدرس دفتر مرکزی: تهران، ميدان آزادترين، خيابان احمد قصيري،

چهاردهم غربي، پلاك ۲۶، طبقه ۳

تلفن دفتر مرکزی: ۰۲۱-۸۸۵۱۵۰۱۵

# تقویم رویدادهای سرامیک

شانزدهمین همایش علمی دانشجویی مهندسی مواد و متالورژی

دانشگاه علم و صنعت ایران، تهران

۱۳۹۸ آبان ۲۷

CMAT@IROMES.IR

هشتمین کنفرانس و نمایشگاه بین‌المللی مهندسی مواد و متالورژی ایران

مصلی تهران

۱۳۹۸ مهر ۱۵-۱۷

<http://www.imatconf.com/fa/>

## 2nd Global Forum on Advanced Materials and Technologies for Sustainable Development (GFMAT-2)

Toronto Canada

July, 26-27 2019

<http://ceramics.org/gfmat-2-and-bio-4>

## 80th Conference on Glass Problems

United States

October, 28-30 2019

<http://www.glassproblemsconference.org/>

## Ceramica West Africa

Lagos, Nigeria

June, 27-29 2019

<http://www.ceramicaafrica.com/>

## Ceramitec conference

Munich

September, 19-20 2019

<http://www.ceramitec.com/>

## Unified International Technical Conference of Refractories

Japan

October, 13-16 2019

<http://unitecr2019.org/>

